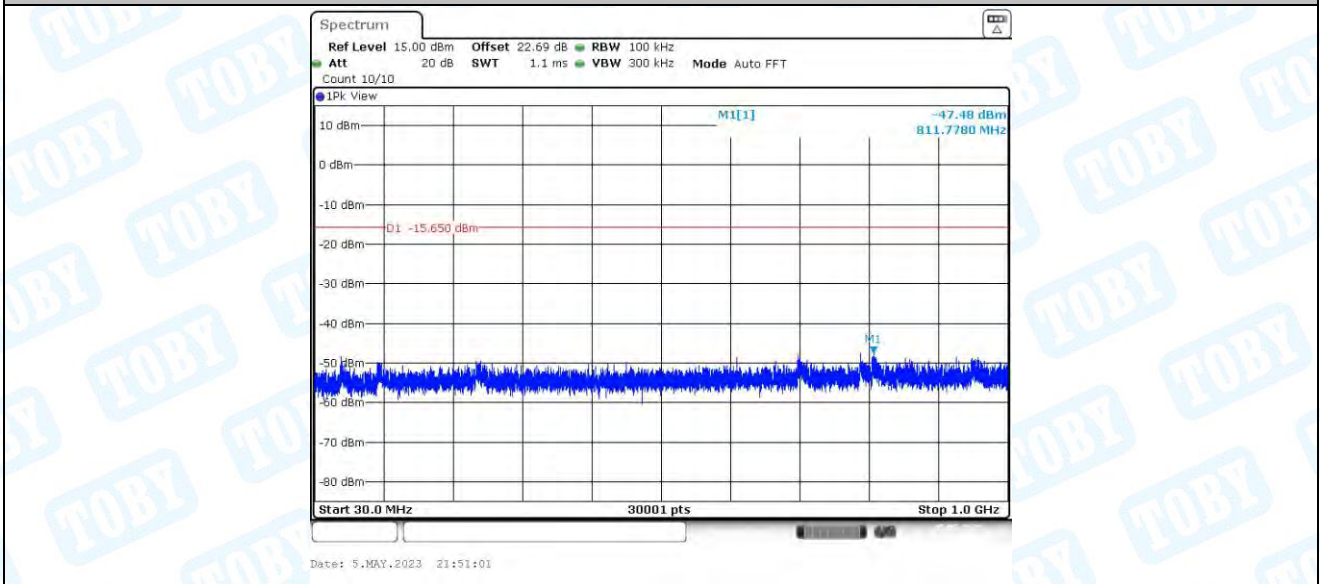
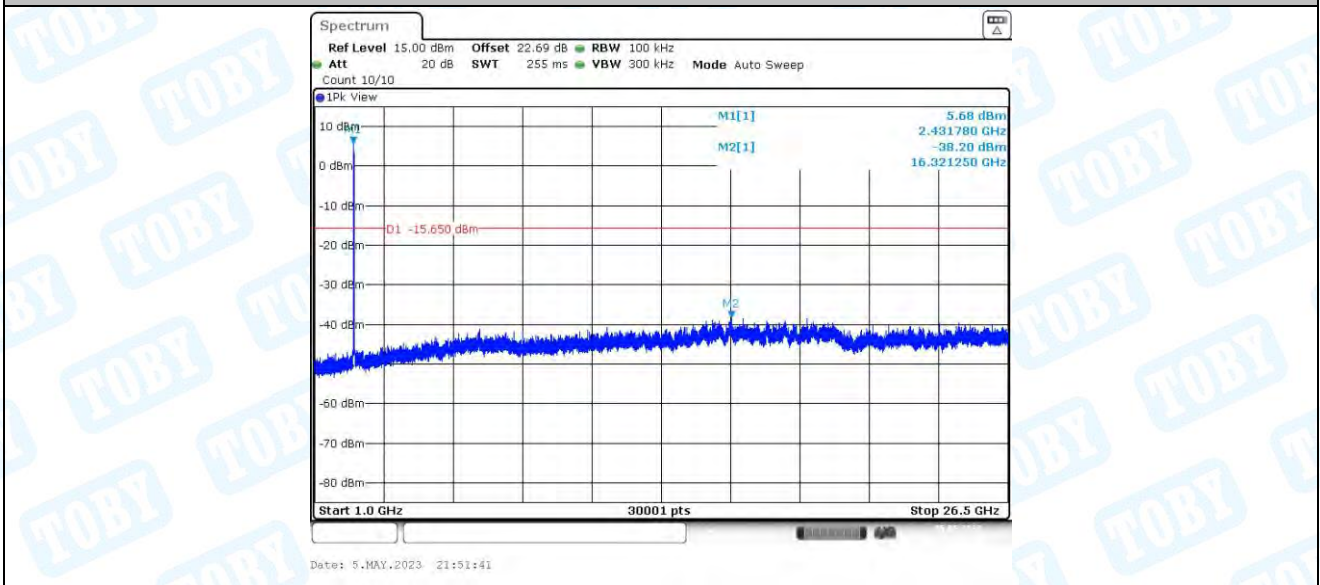


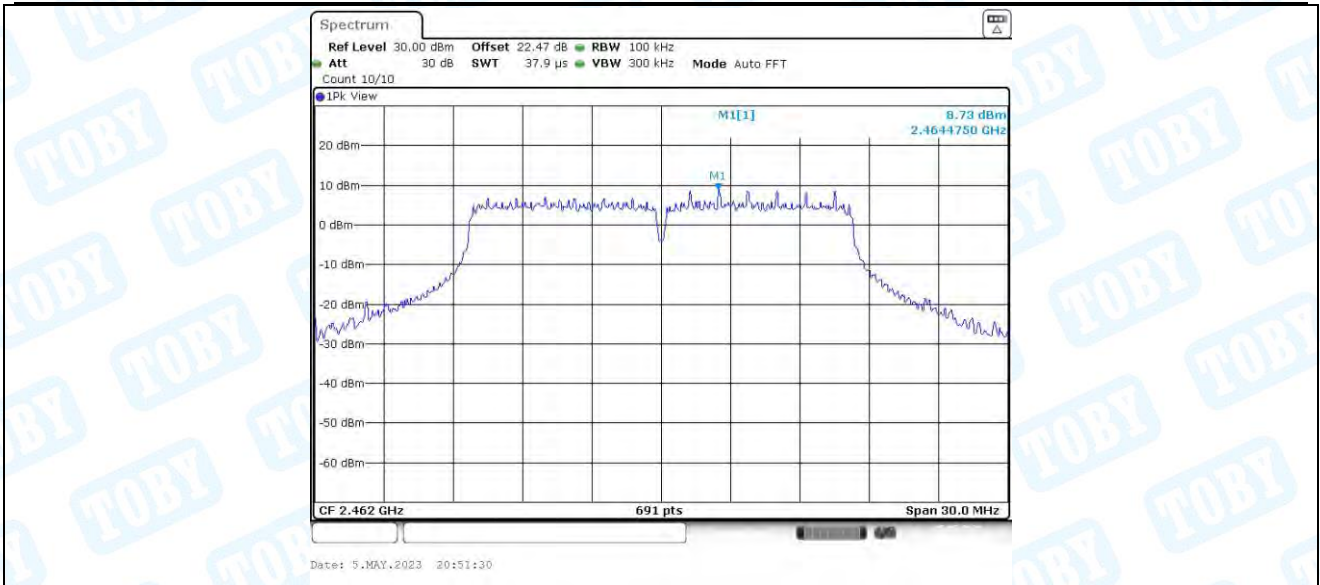
11G_Ant4_2437_30~1000



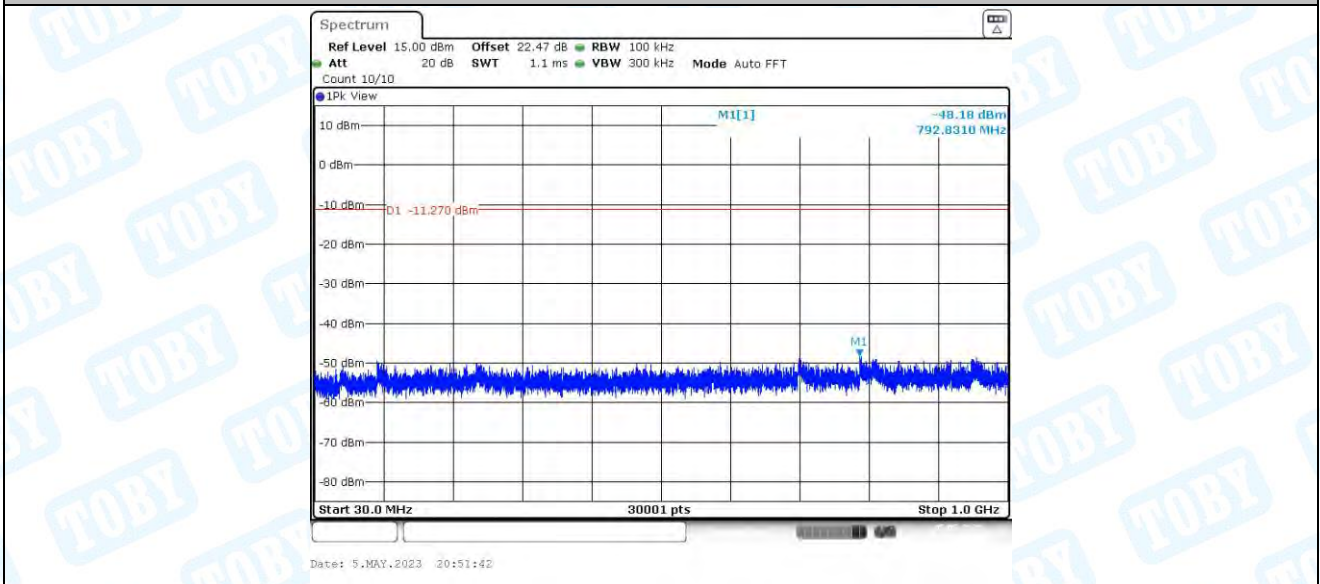
11G_Ant4_2437_1000~26500



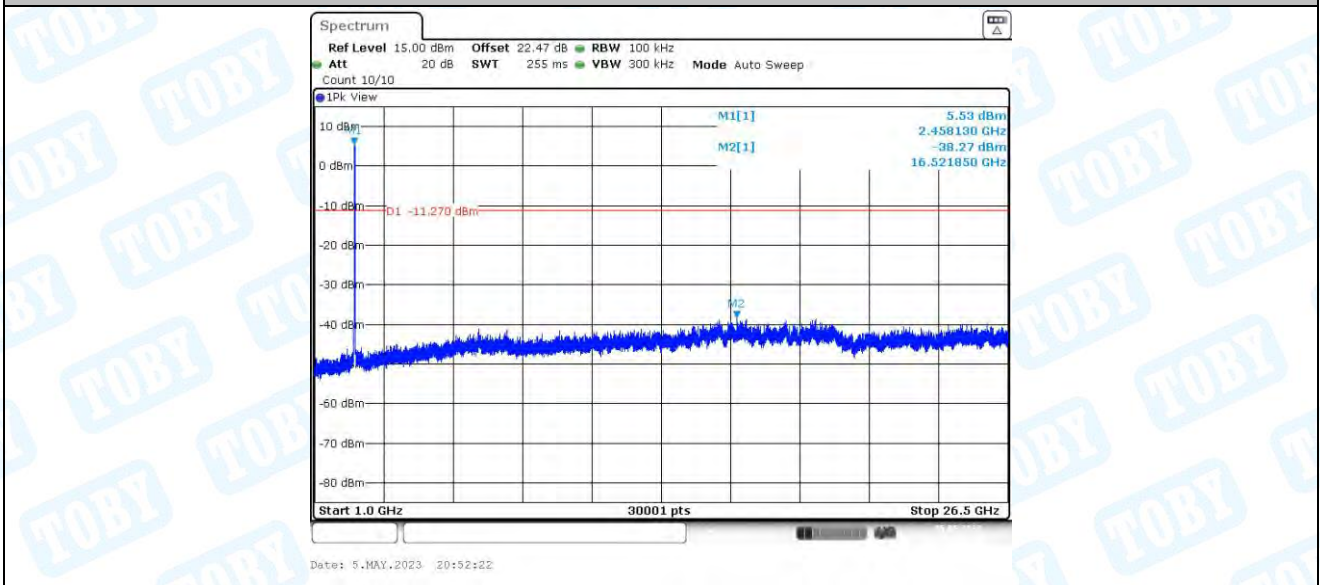
11G_Ant1_2462_0~Reference



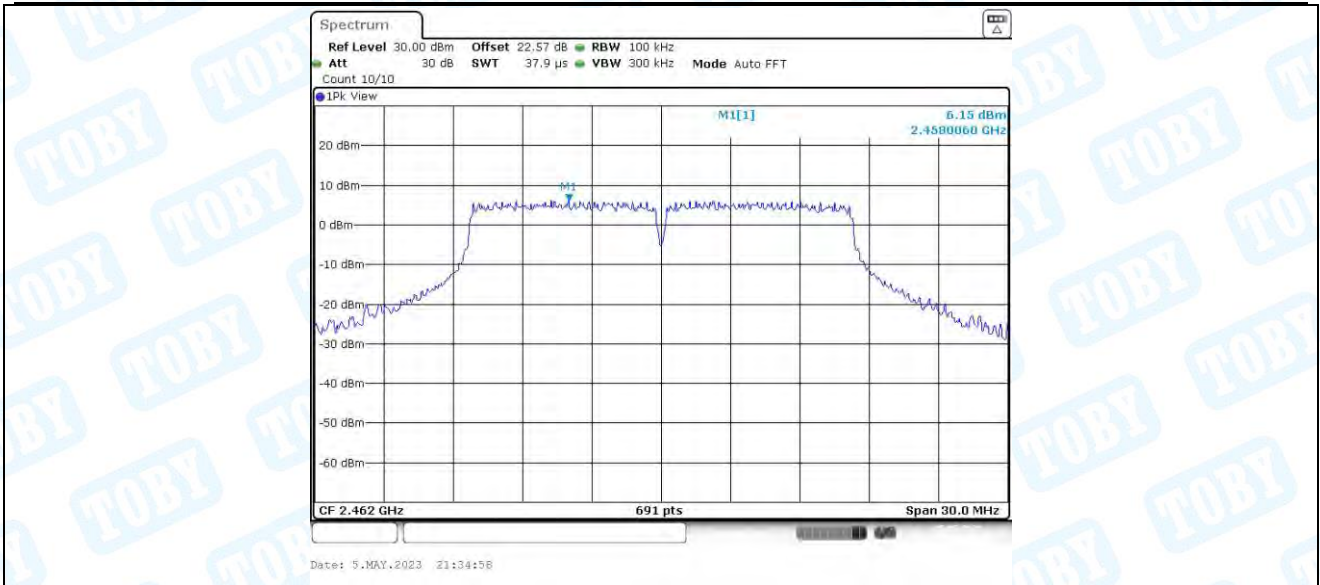
11G_Ant1_2462_30~1000



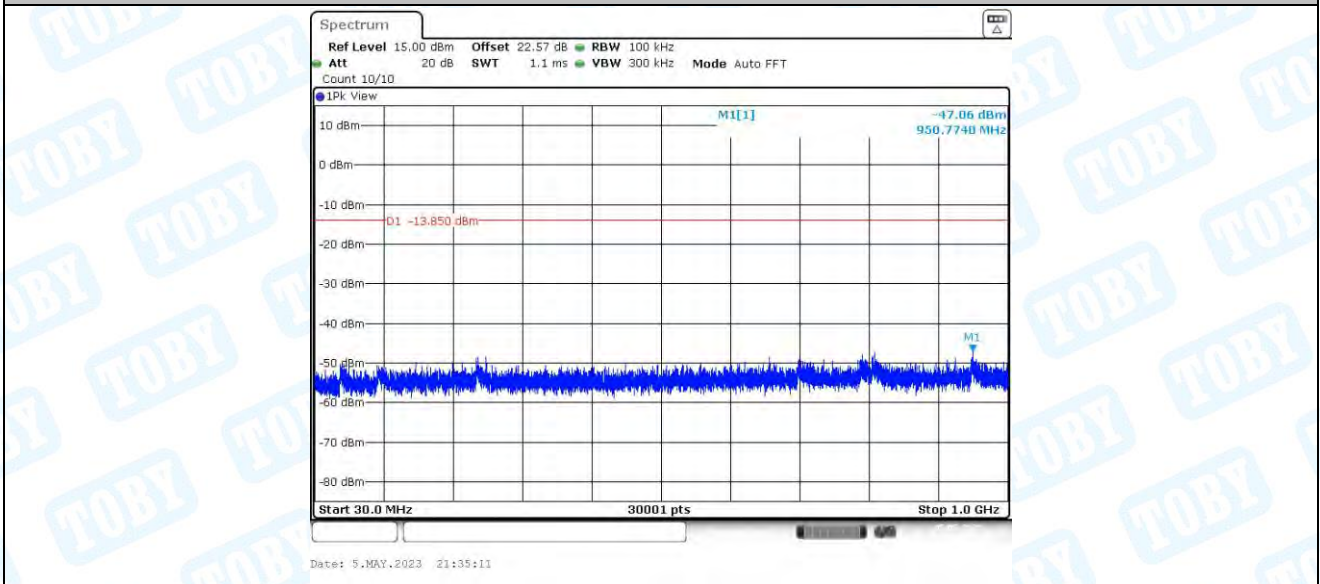
11G_Ant1_2462_1000~26500



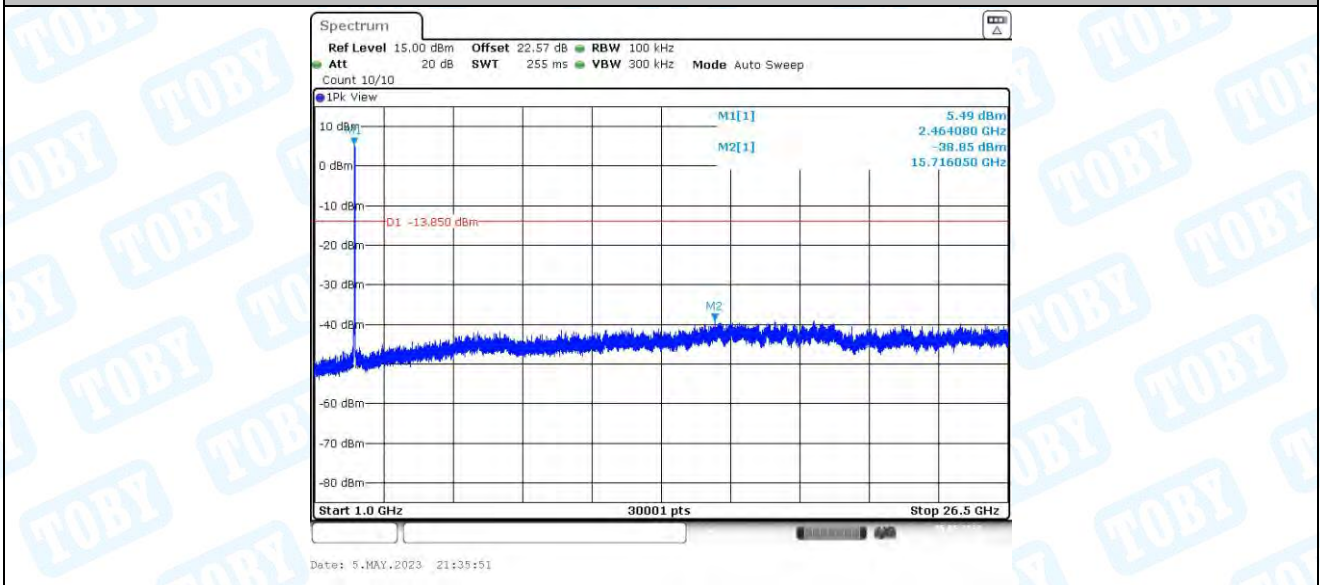
11G_Ant2_2462_0~Reference



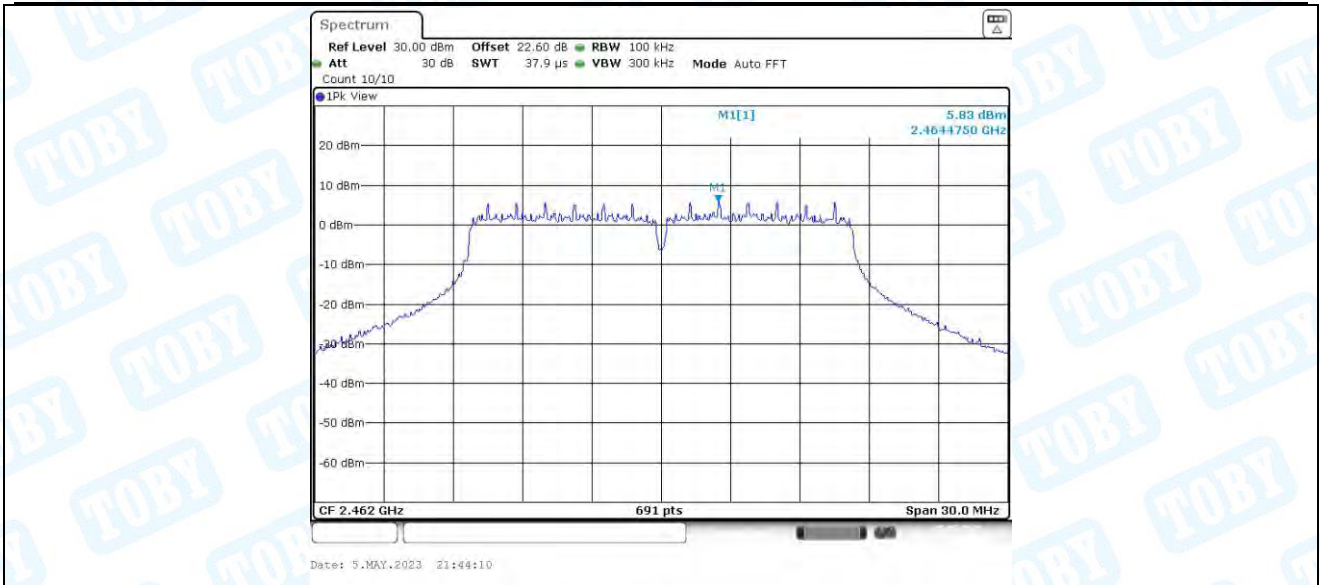
11G_Ant2_2462_30~1000



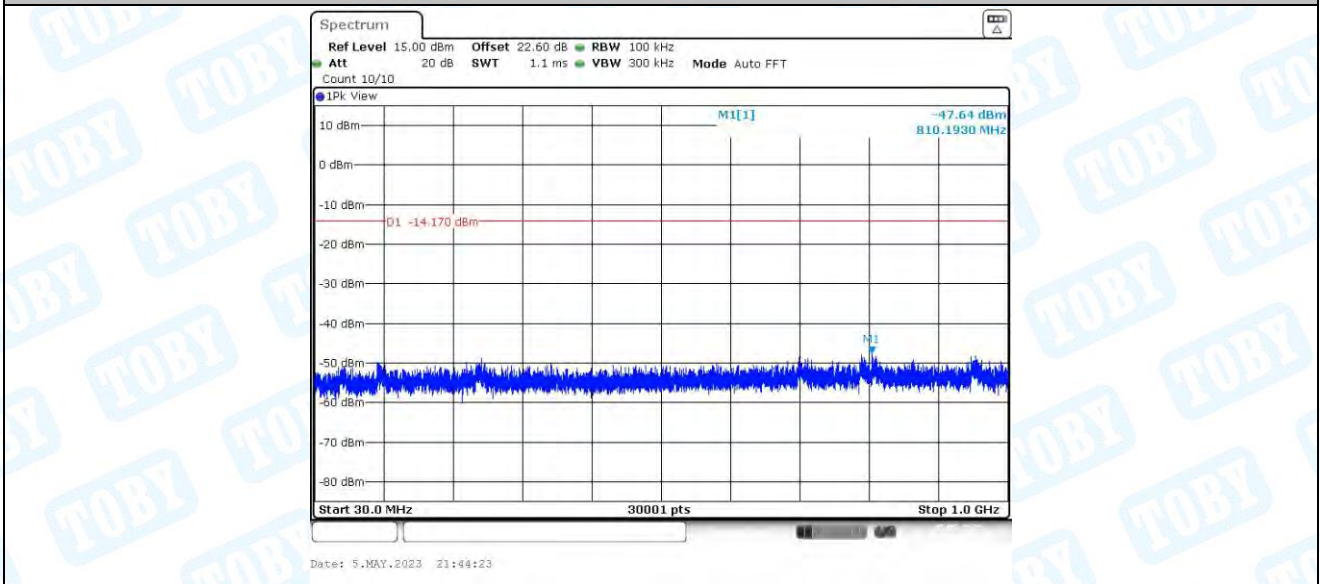
11G_Ant2_2462_1000~26500



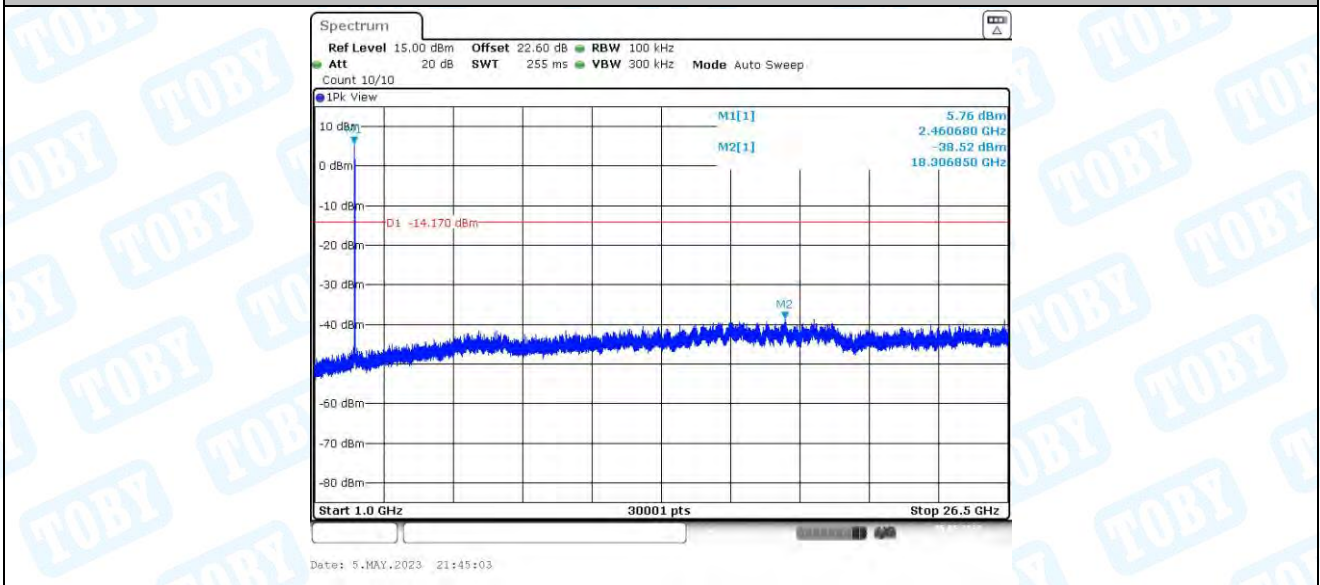
11G_Ant3_2462_0~Reference



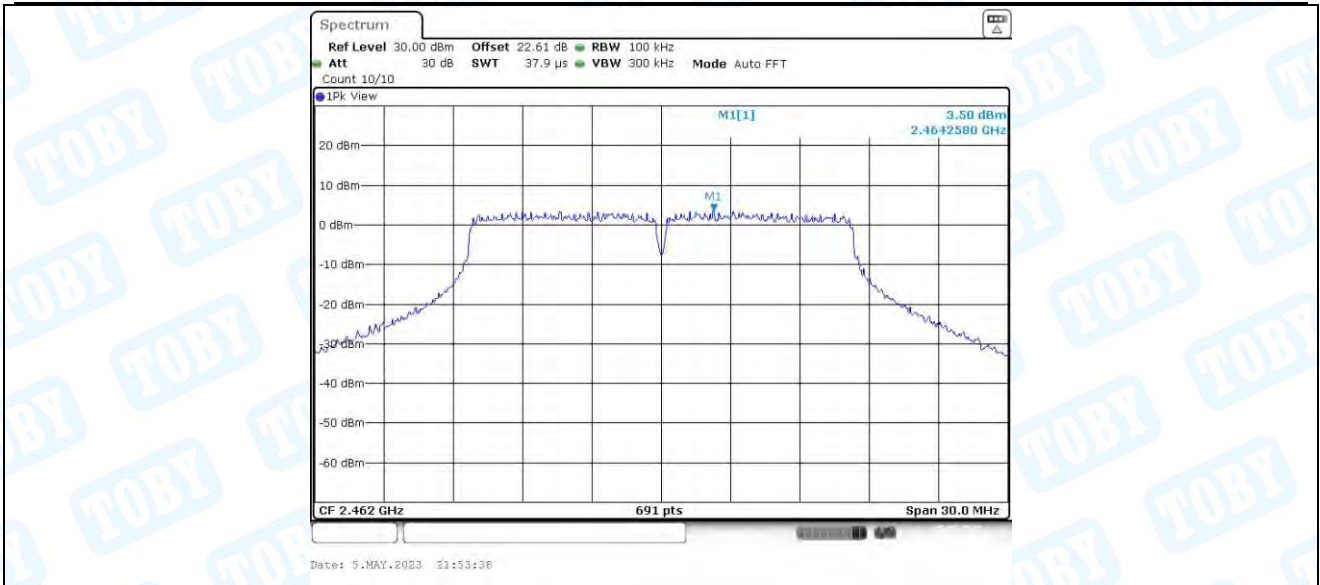
11G_Ant3_2462_30~1000



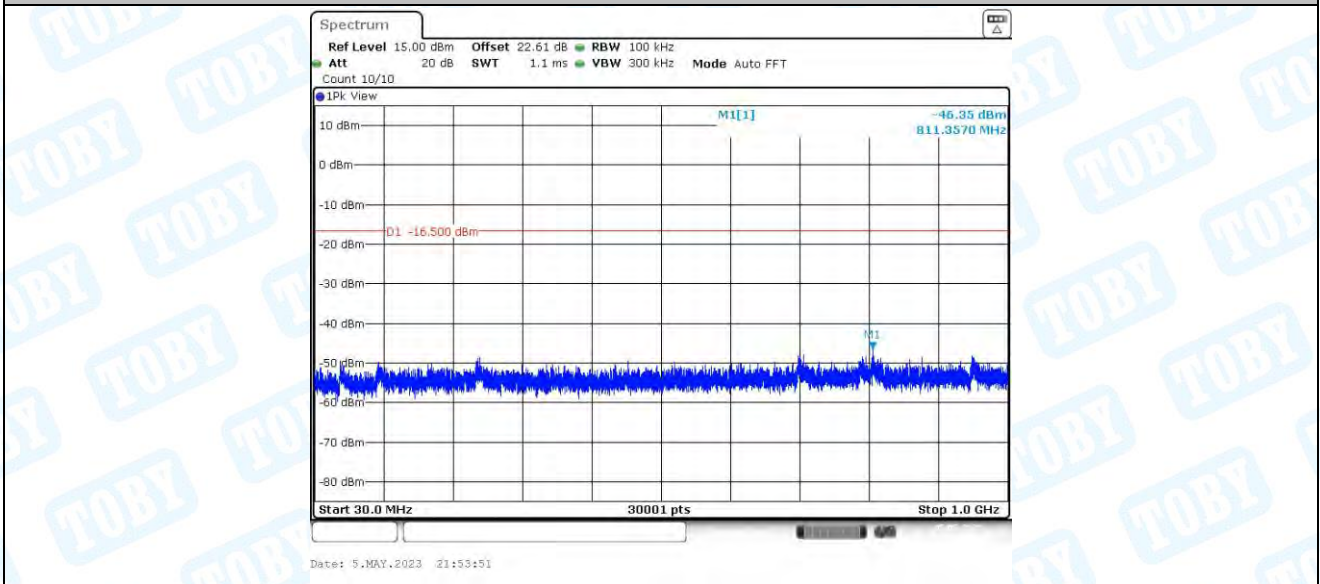
11G_Ant3_2462_1000~26500



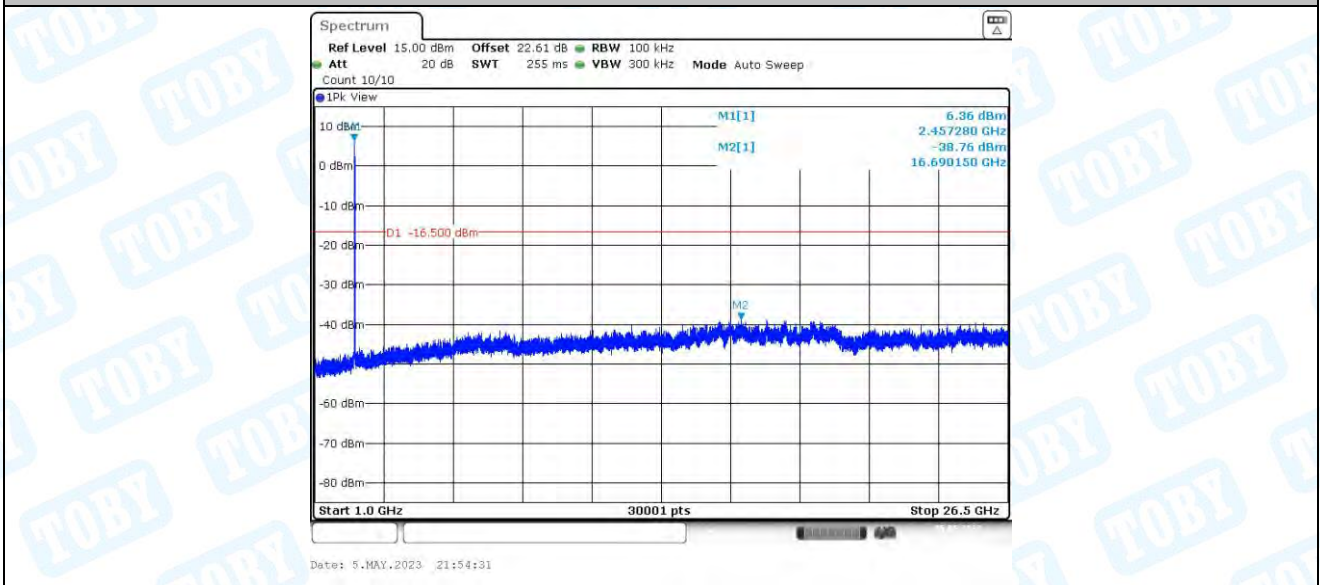
11G_Ant4_2462_0~Reference



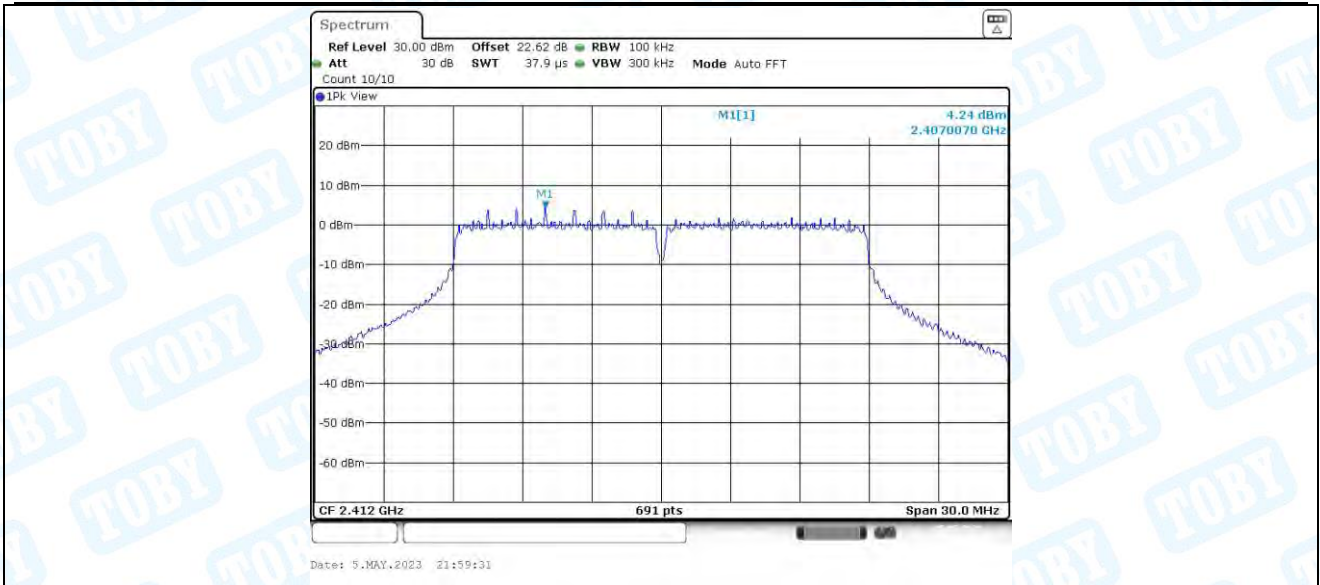
11G_Ant4_2462_30~1000



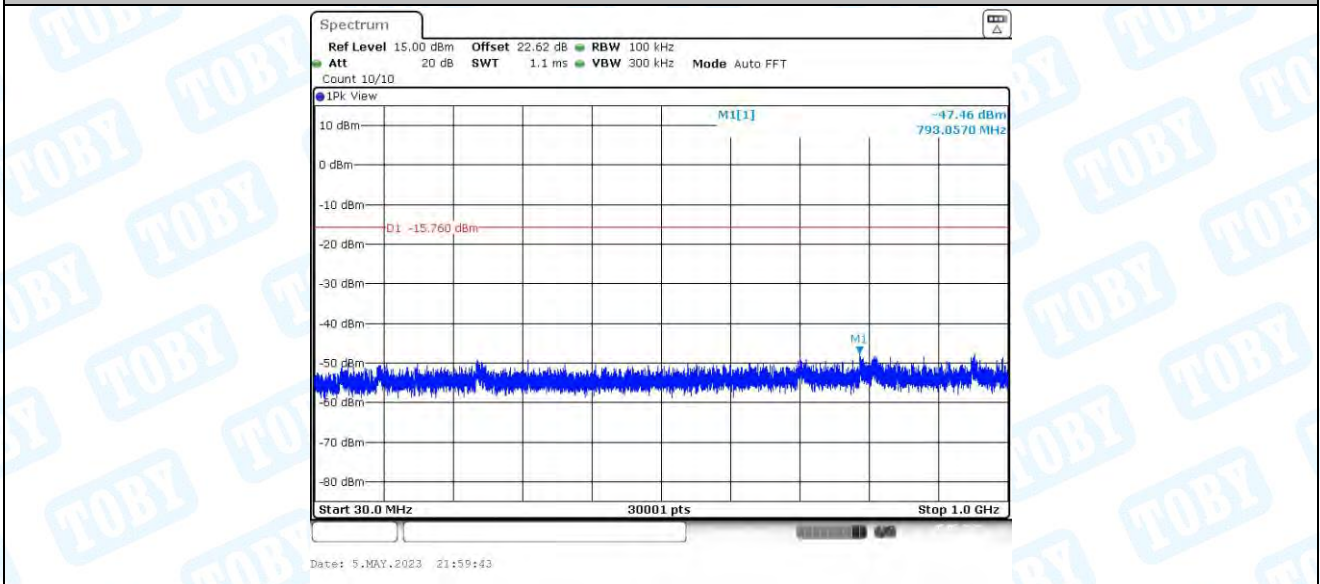
11G_Ant4_2462_1000~26500



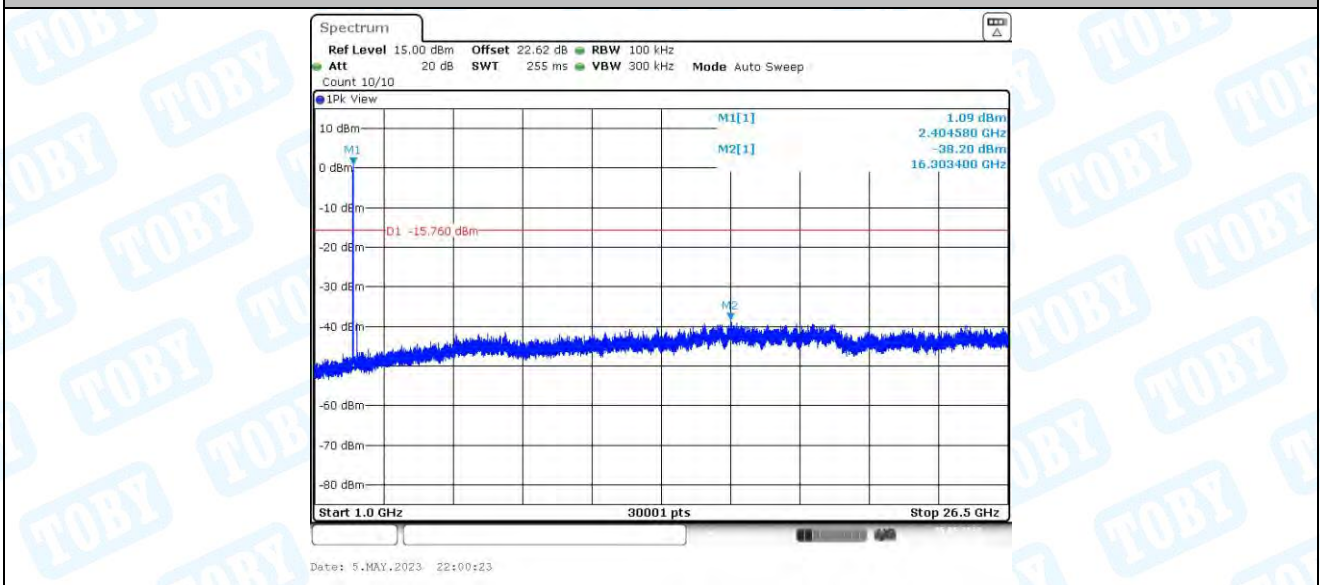
11N20MIMO_Ant1_2412_0~Reference



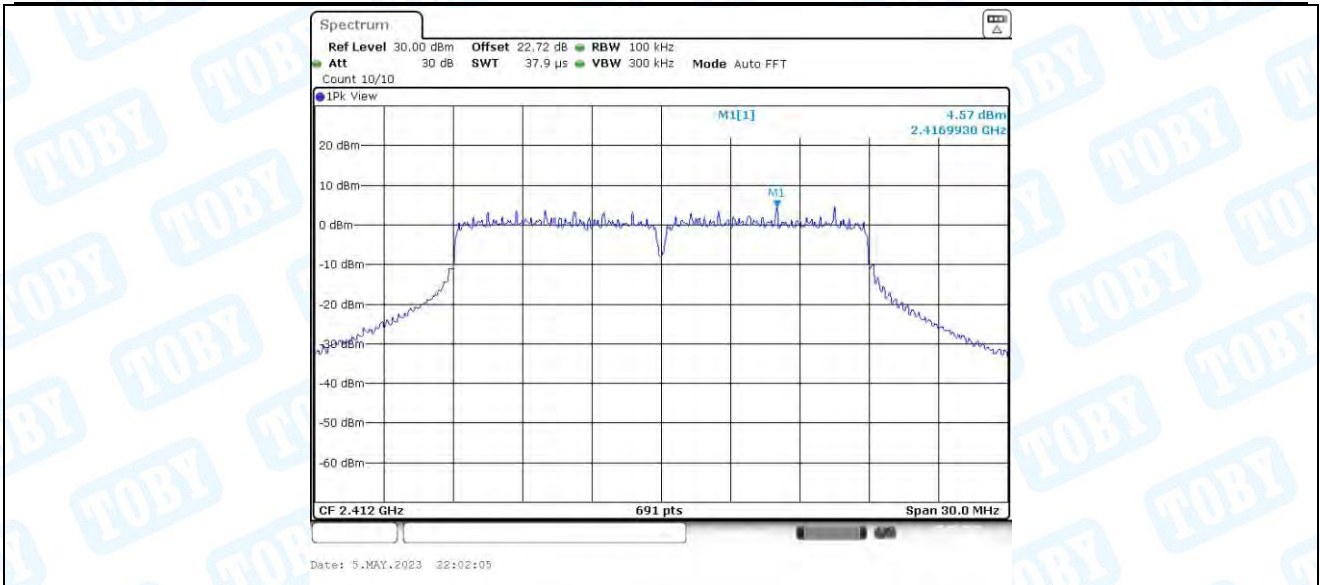
11N20MIMO_Ant1_2412_30~1000



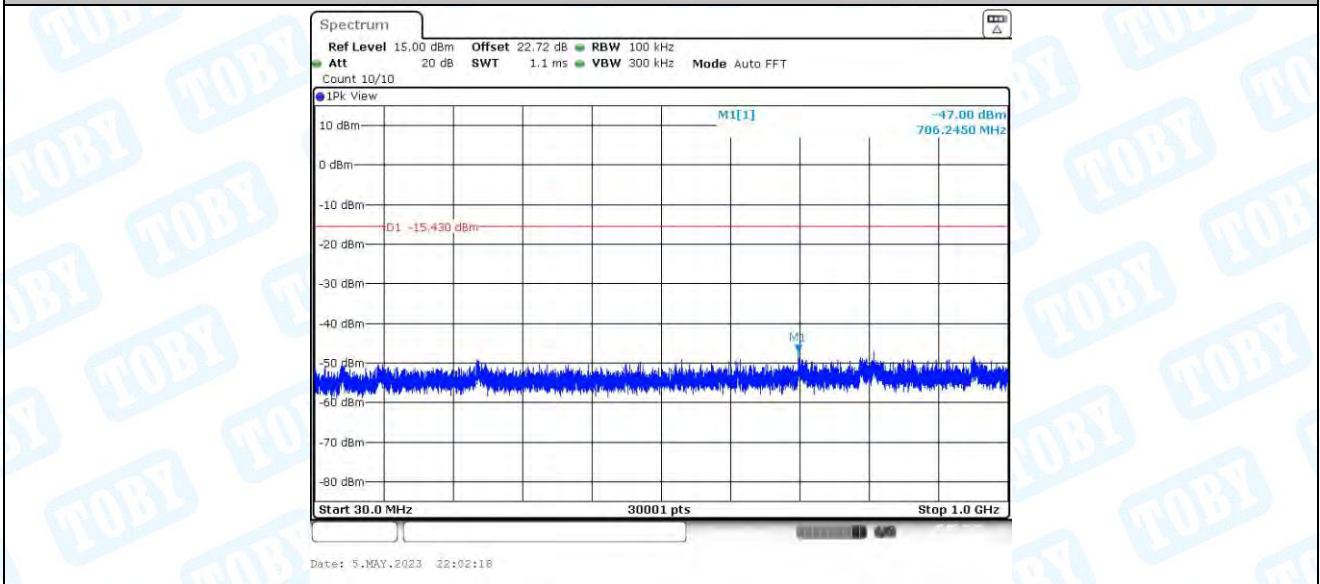
11N20MIMO_Ant1_2412_1000~26500



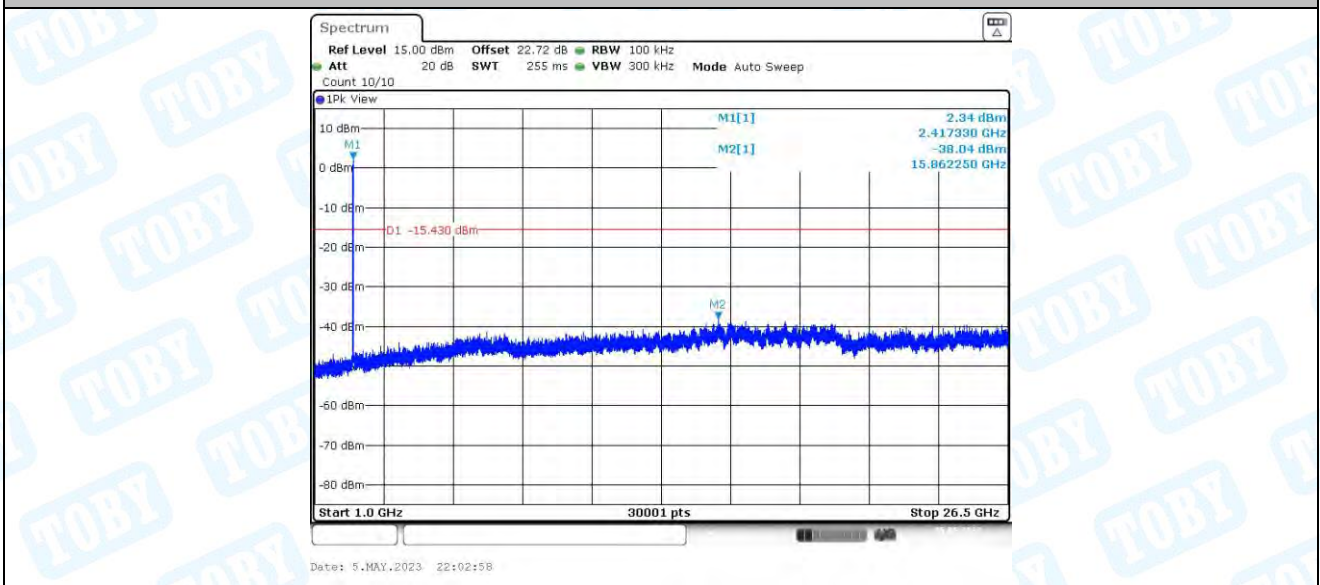
11N20MIMO_Ant2_2412_0~Reference



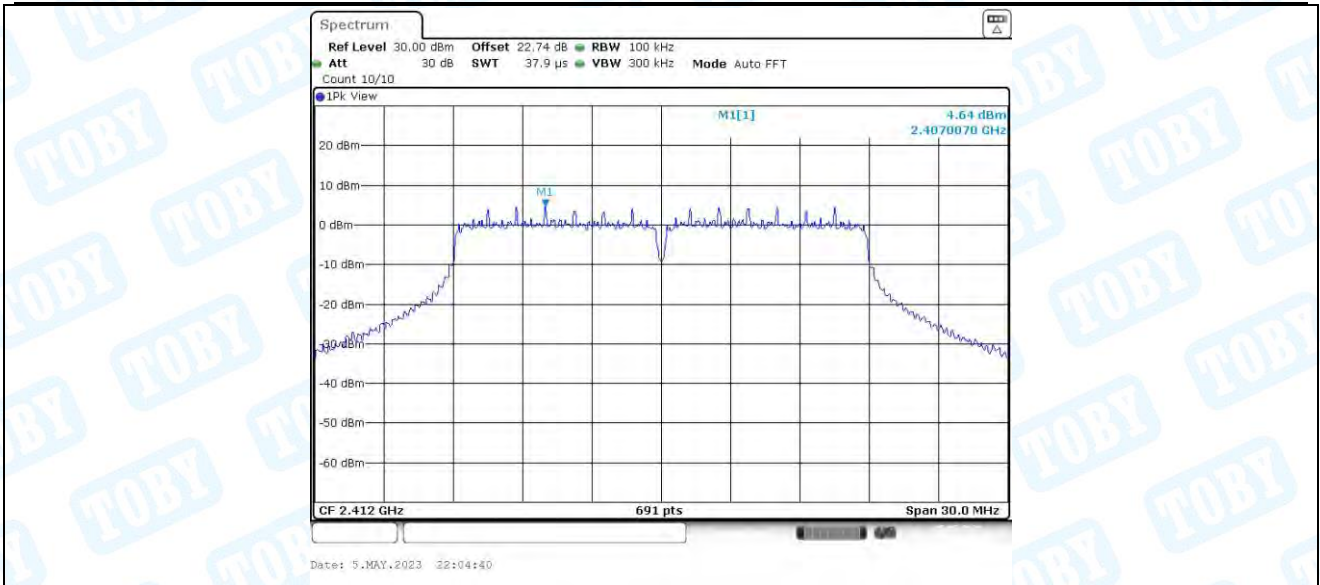
11N20MIMO_Ant2_2412_30~1000



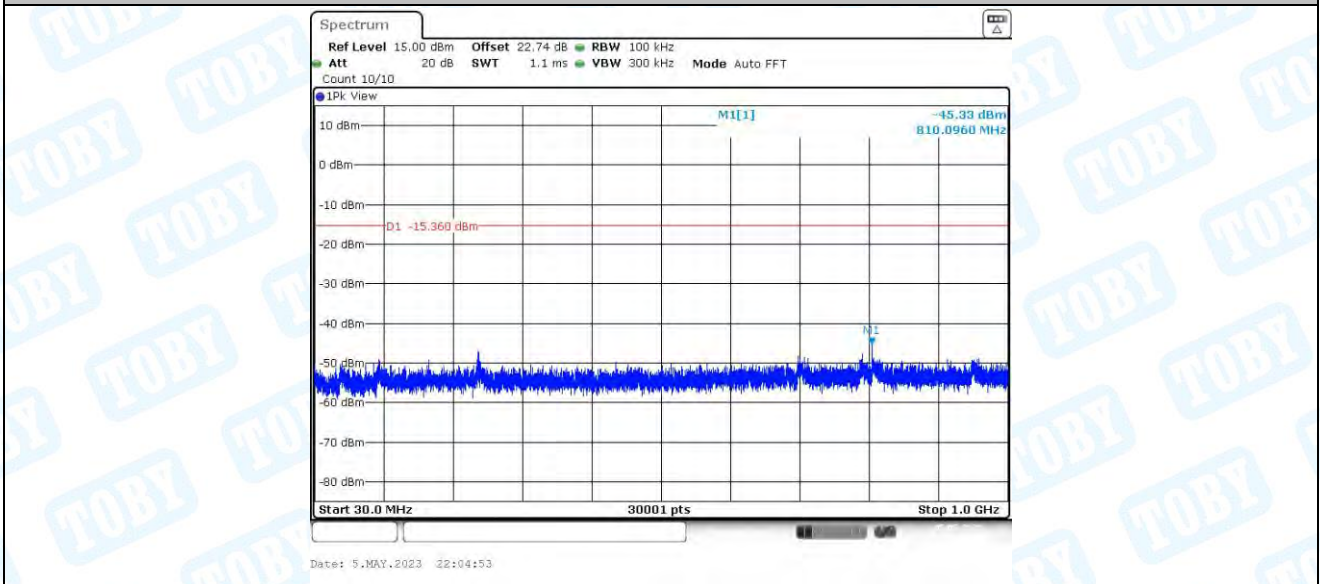
11N20MIMO_Ant2_2412_1000~26500



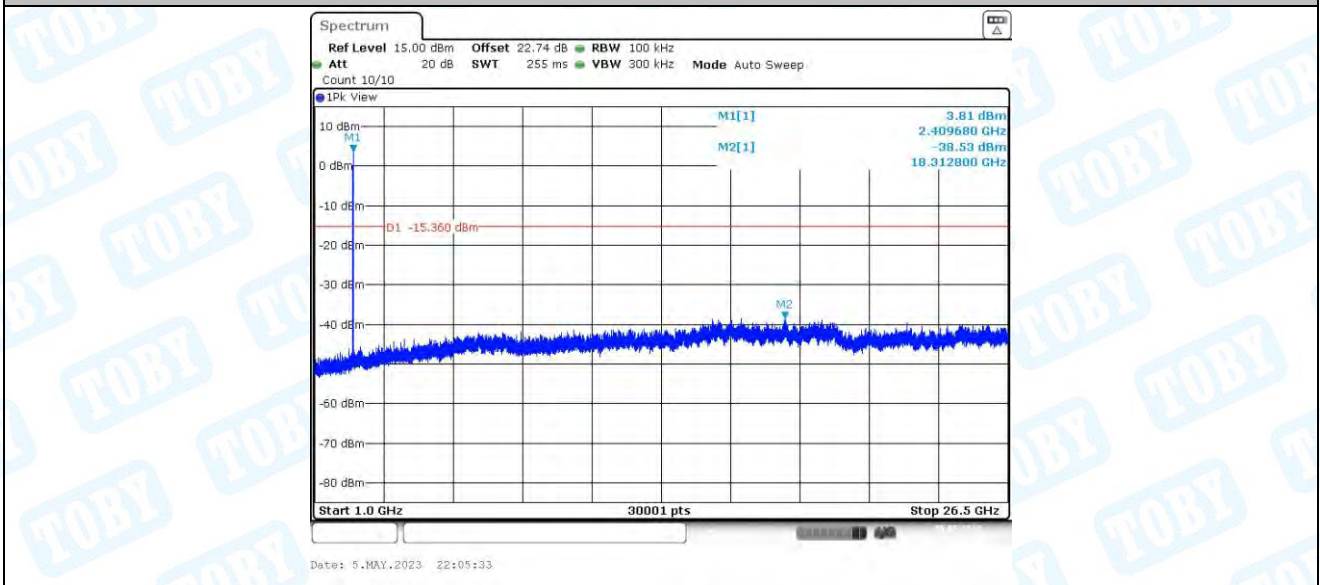
11N20MIMO_Ant3_2412_0~Reference



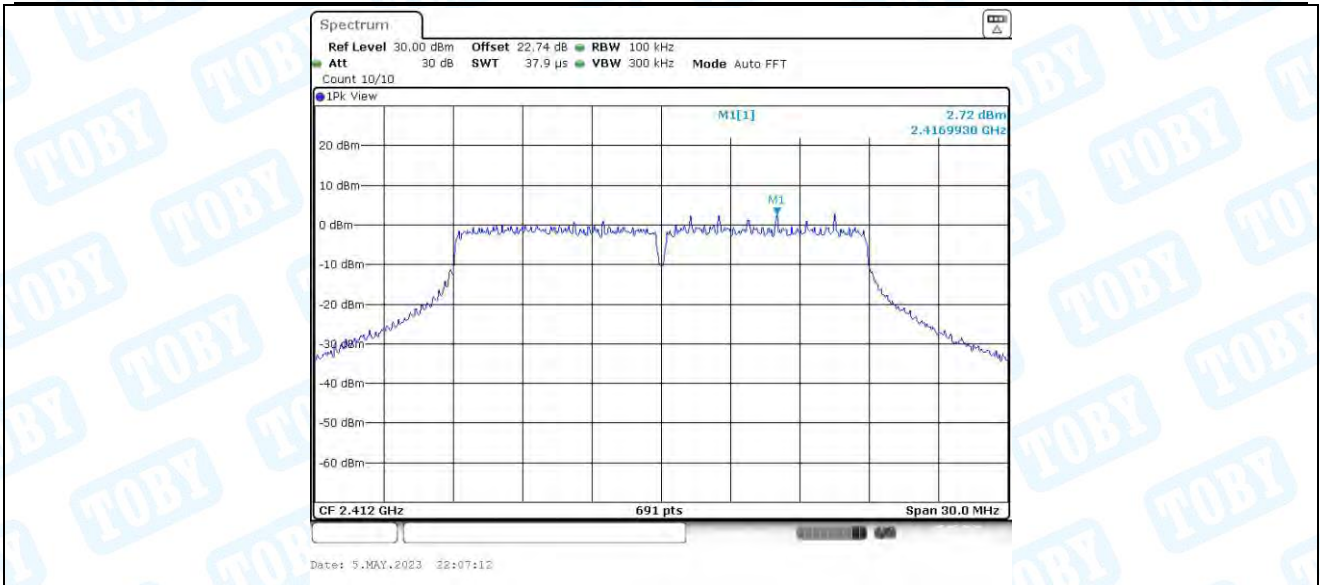
11N20MIMO_Ant3_2412_30~1000



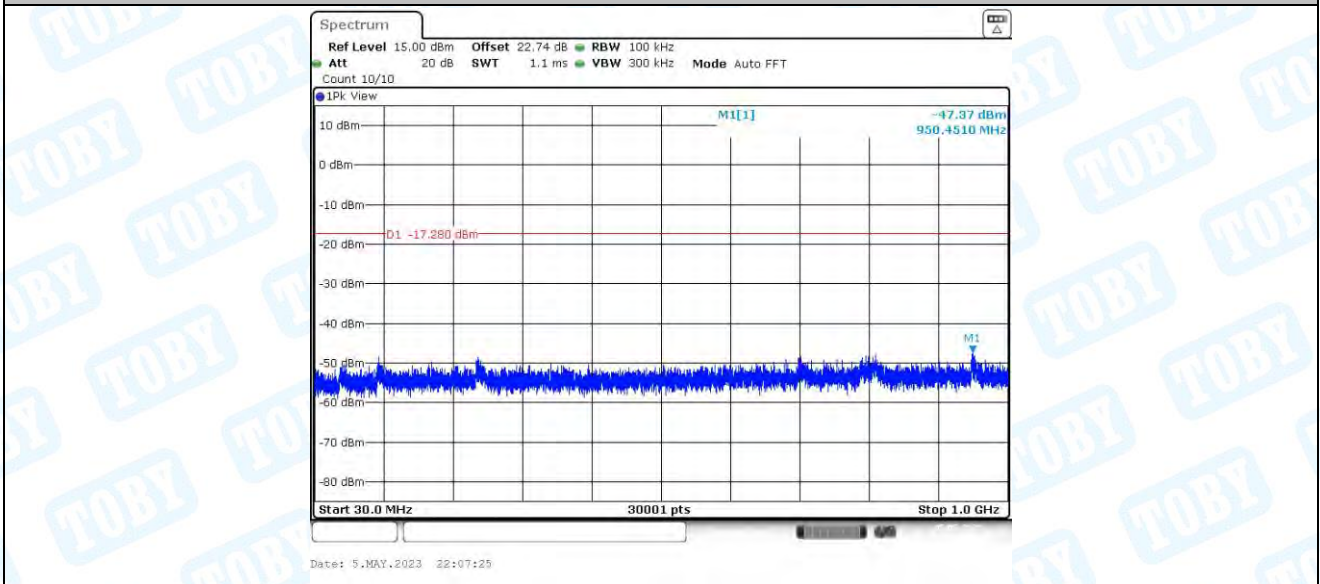
11N20MIMO_Ant3_2412_1000~26500



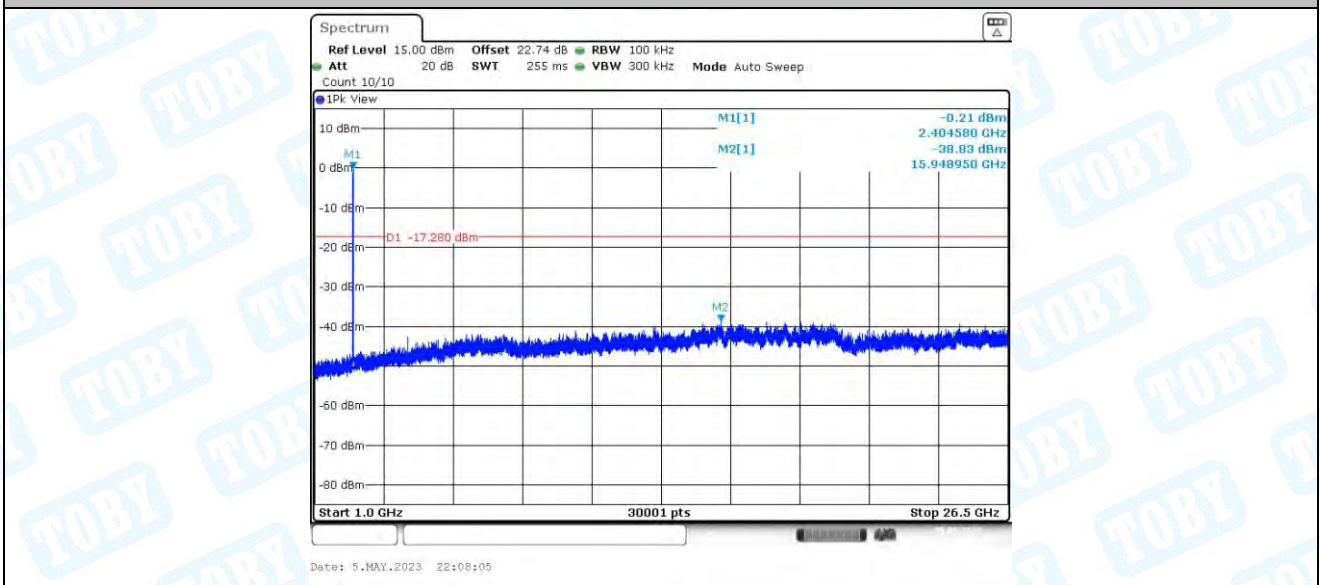
11N20MIMO_Ant4_2412_0~Reference



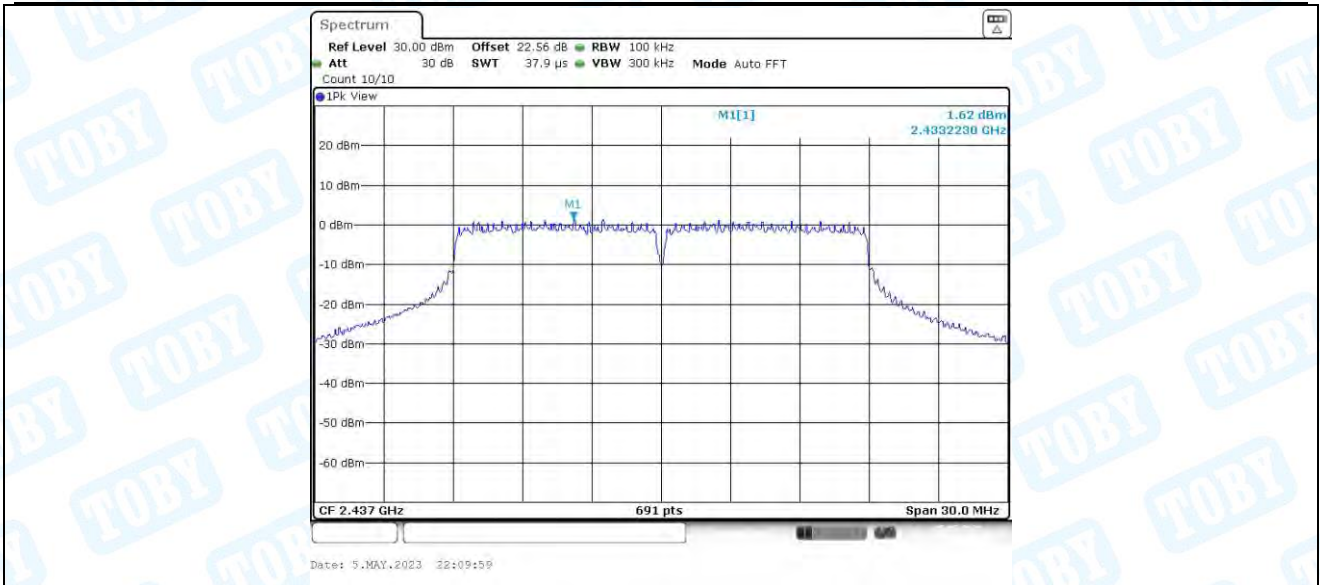
11N20MIMO_Ant4_2412_30~1000



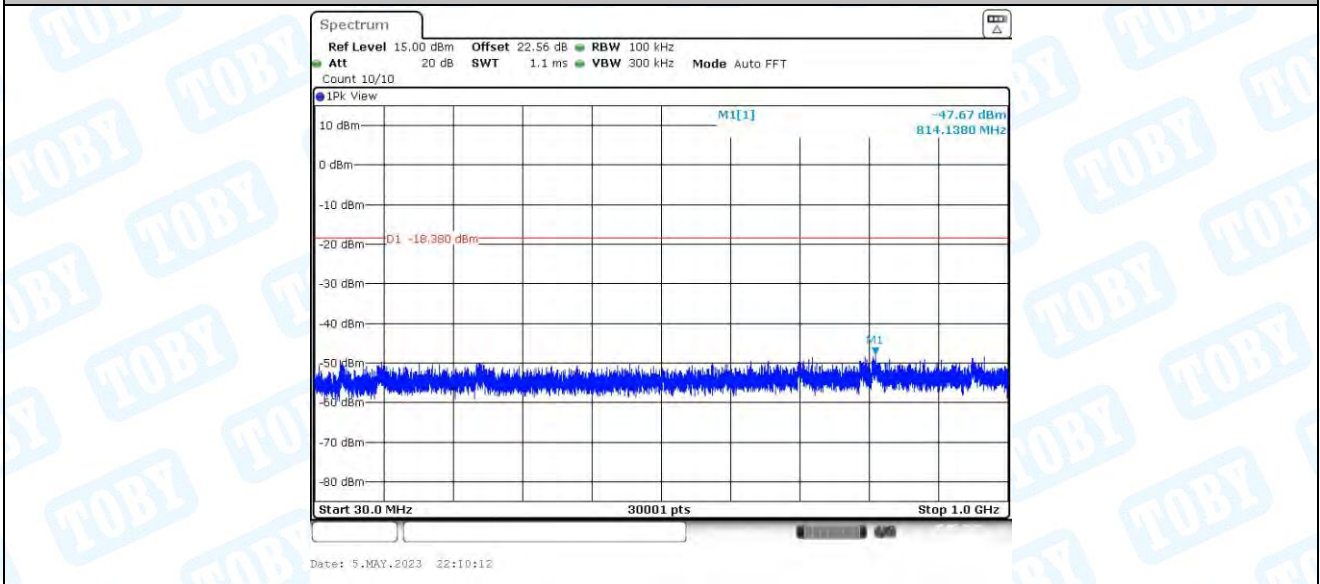
11N20MIMO_Ant4_2412_1000~26500



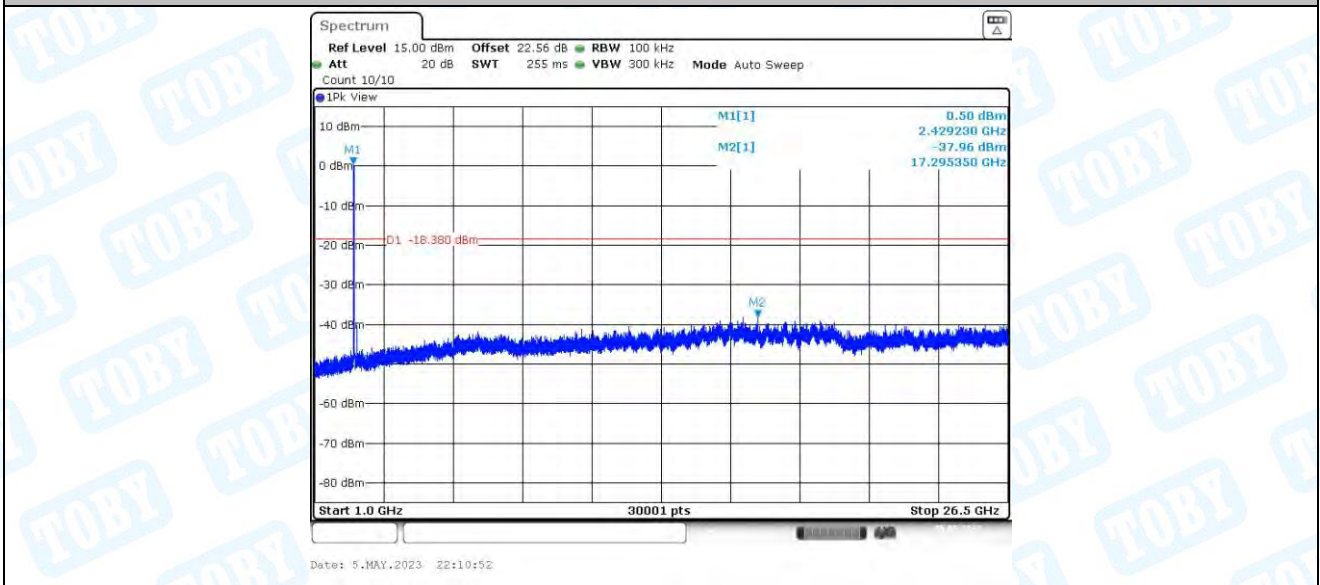
11N20MIMO_Ant1_2437_0~Reference



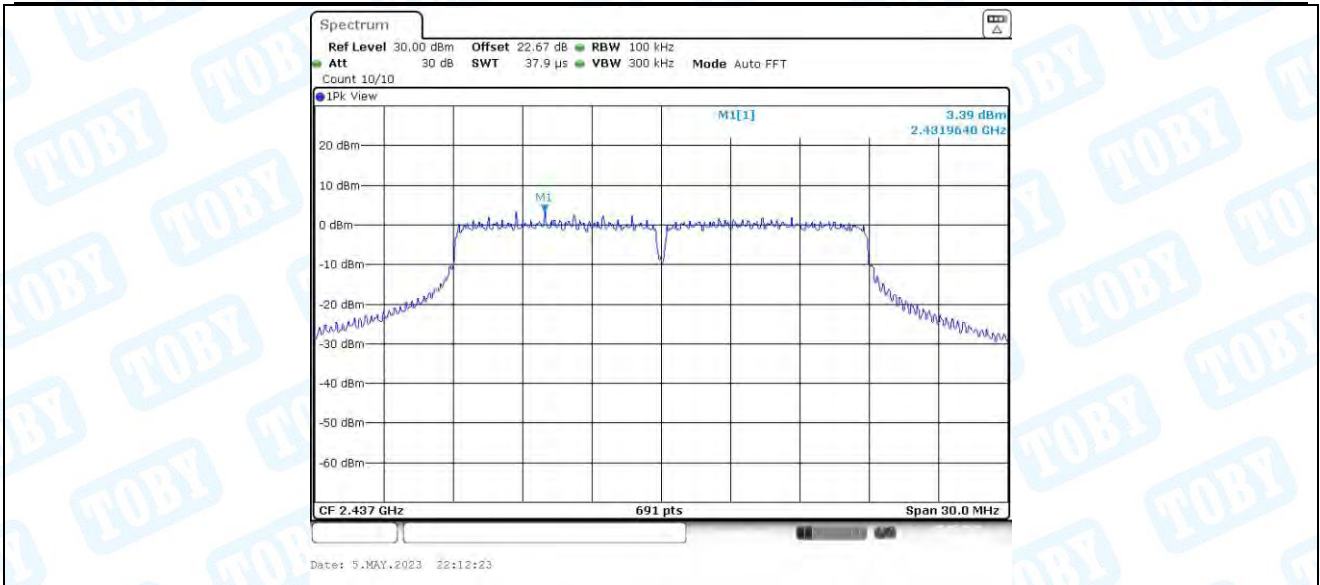
11N20MIMO_Ant1_2437_30~1000



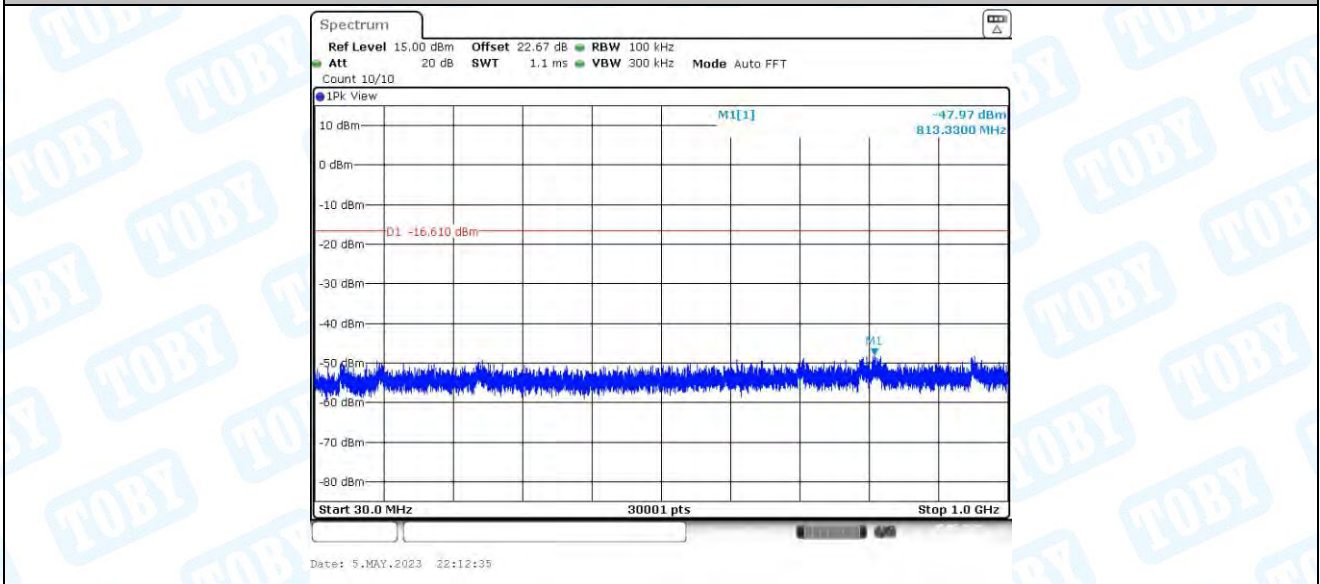
11N20MIMO_Ant1_2437_1000~26500



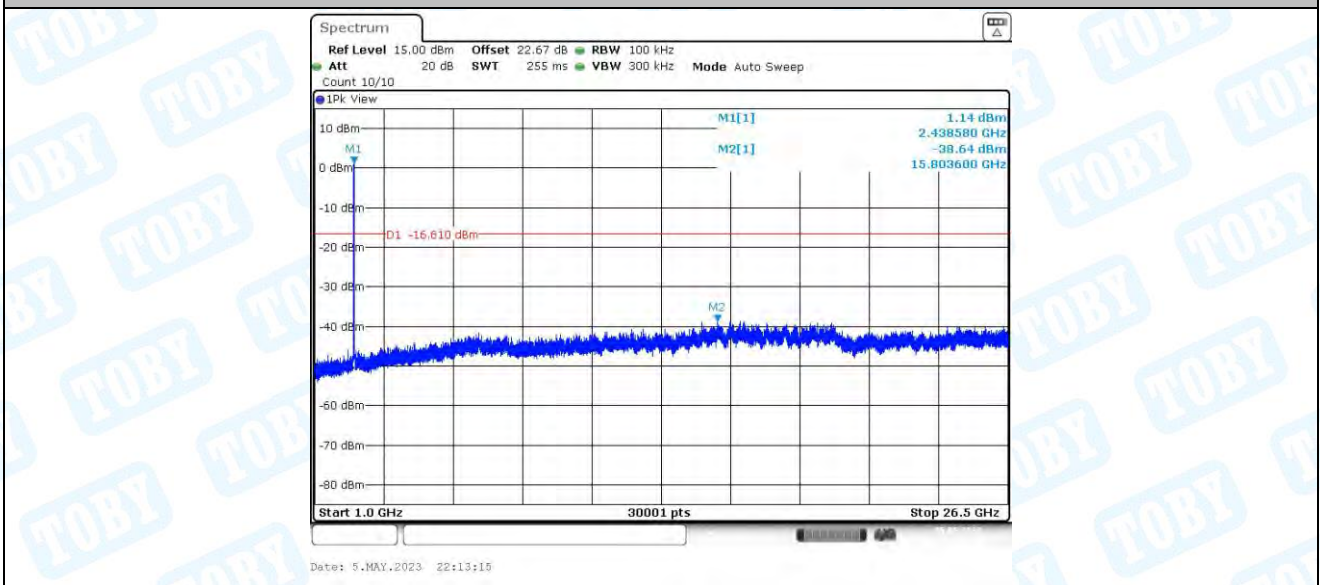
11N20MIMO_Ant2_2437_0~Reference



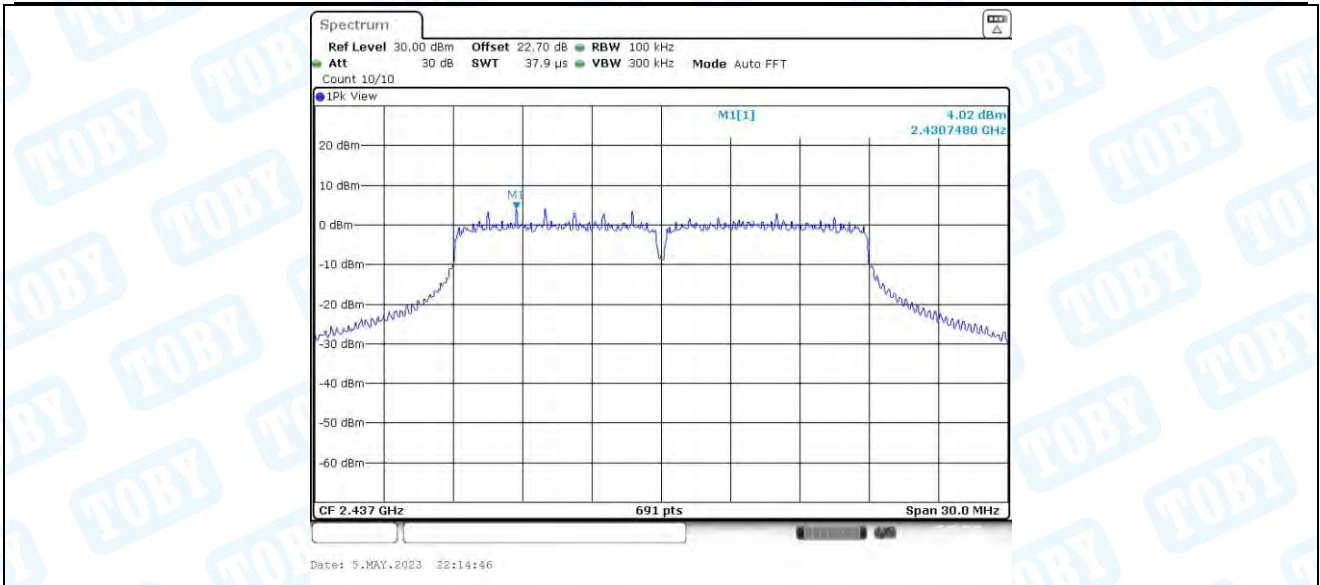
11N20MIMO_Ant2_2437_30~1000



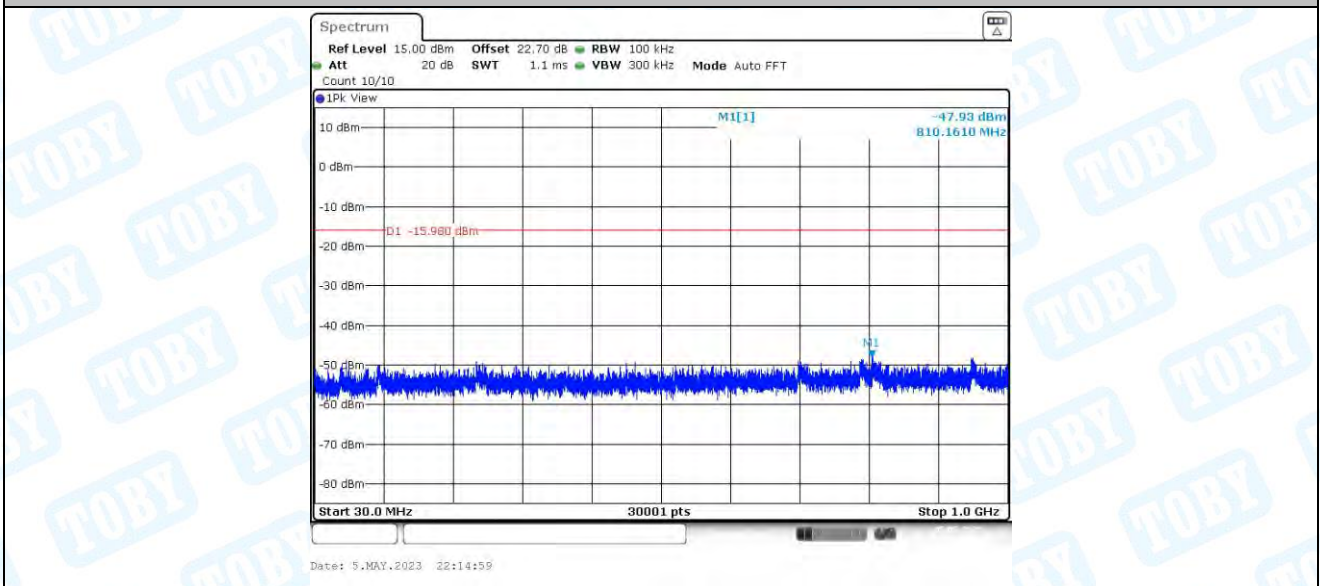
11N20MIMO_Ant2_2437_1000~26500



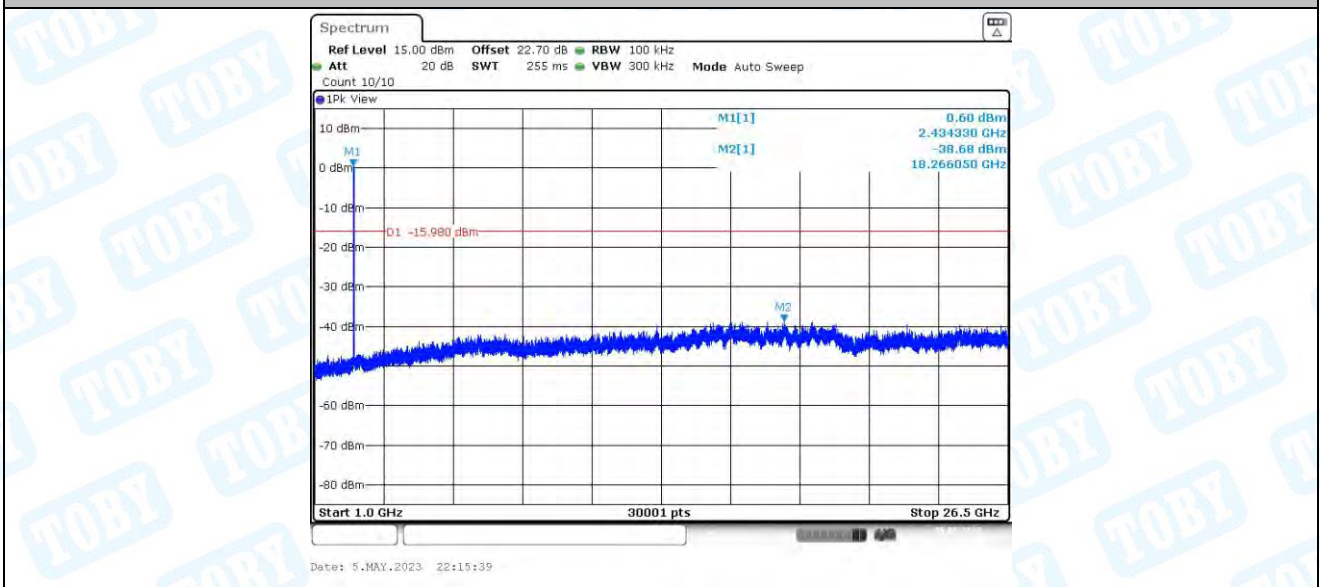
11N20MIMO_Ant3_2437_0~Reference



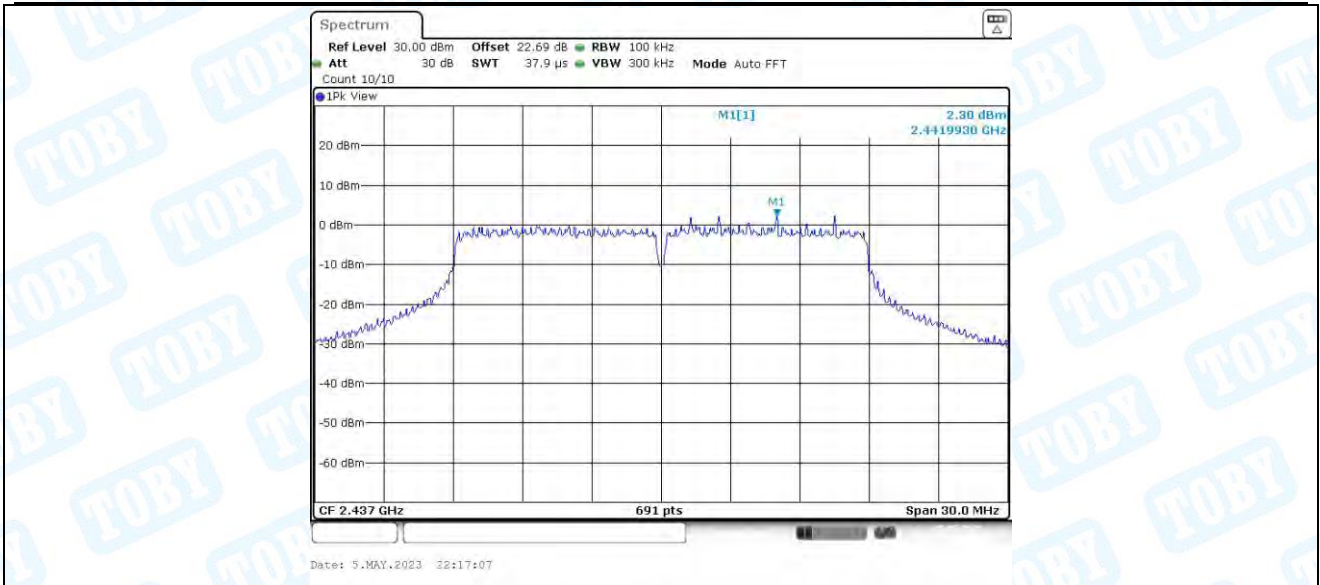
11N20MIMO_Ant3_2437_30~1000



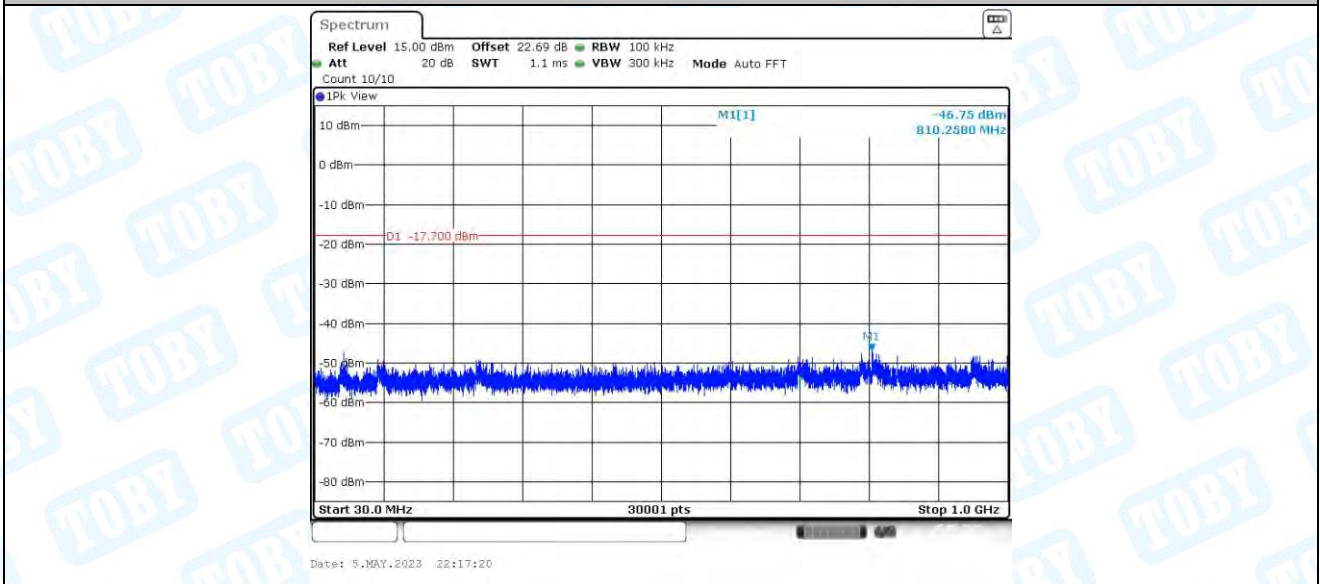
11N20MIMO_Ant3_2437_1000~26500



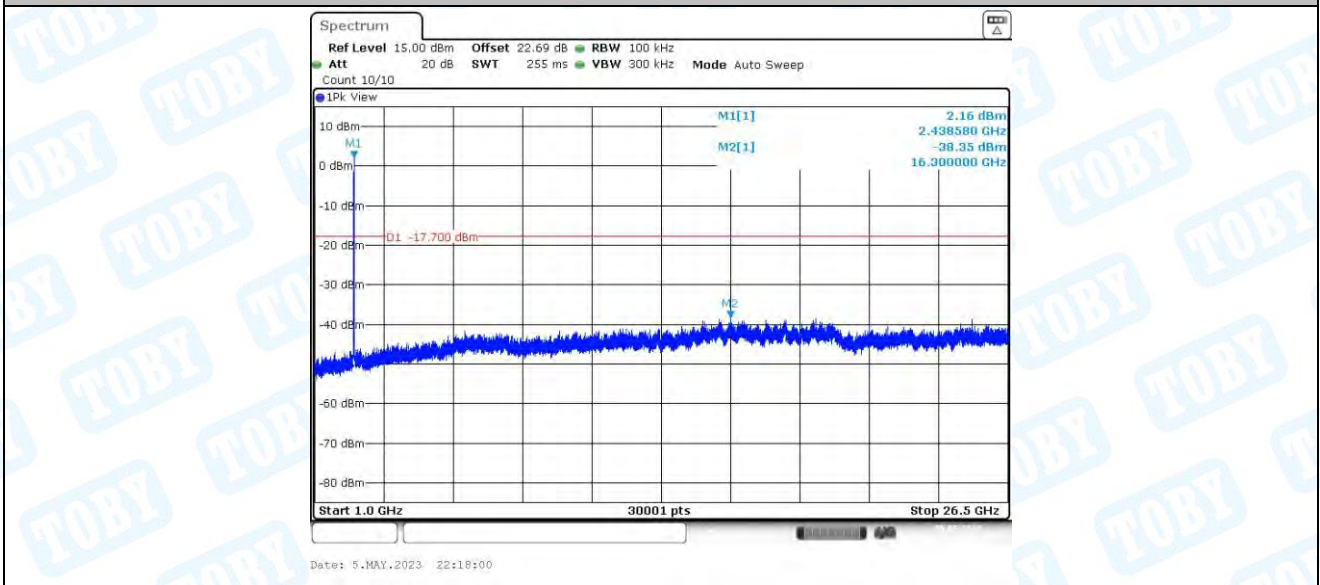
11N20MIMO_Ant4_2437_0~Reference



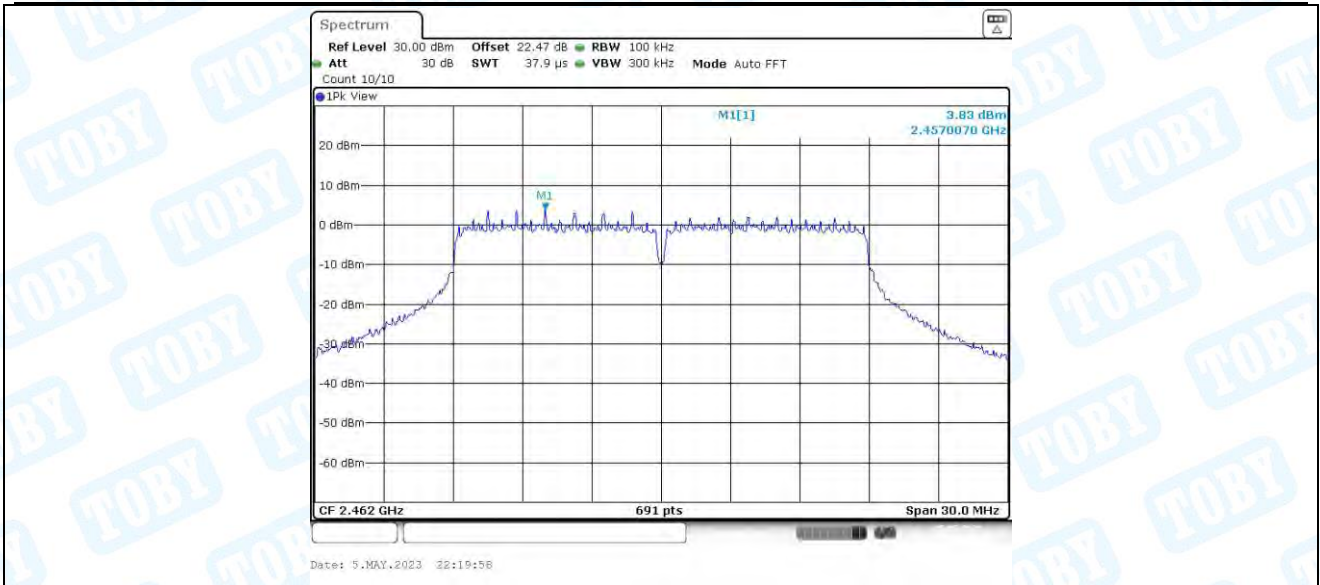
11N20MIMO_Ant4_2437_30~1000



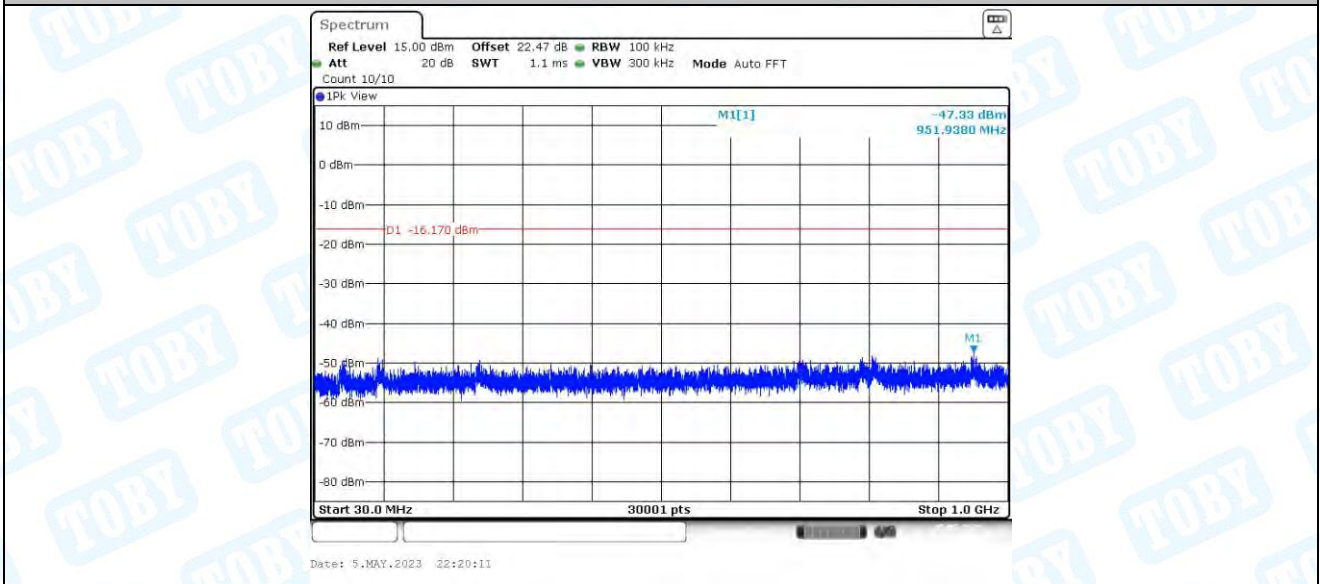
11N20MIMO_Ant4_2437_1000~26500



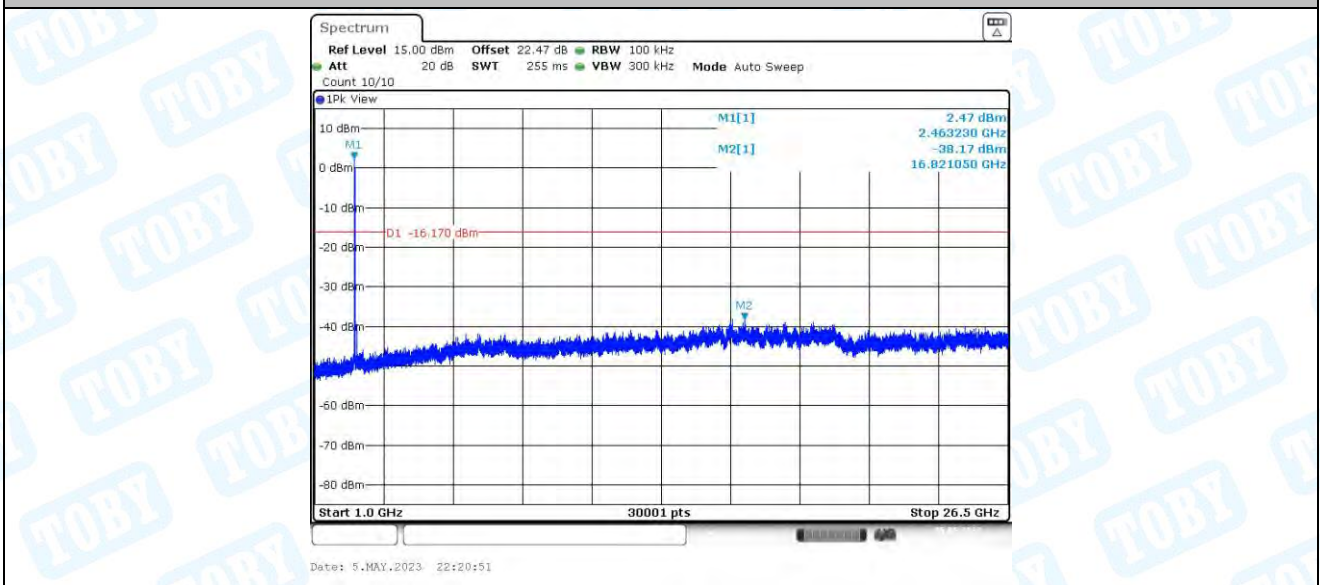
11N20MIMO_Ant1_2462_0~Reference



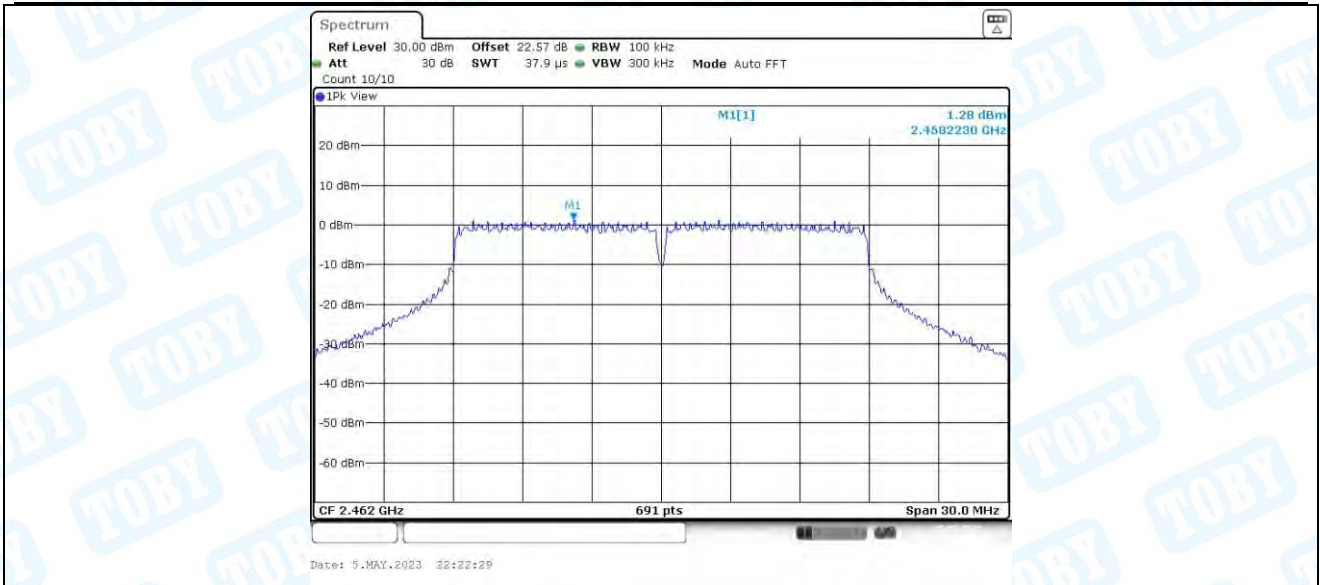
11N20MIMO_Ant1_2462_30~1000



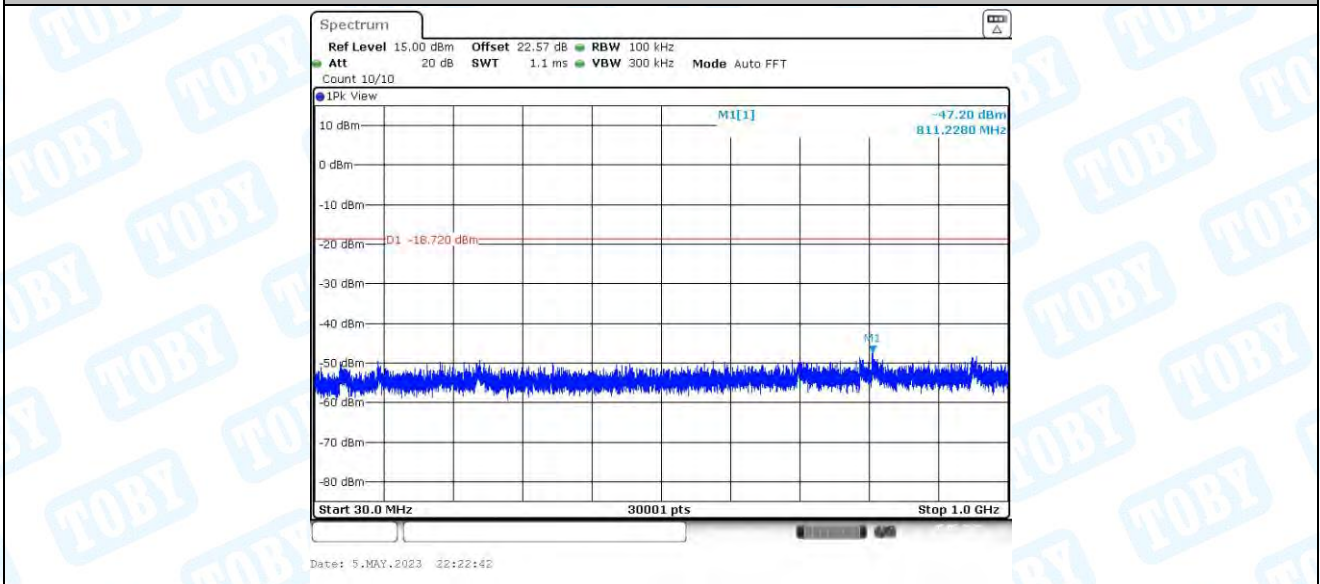
11N20MIMO_Ant1_2462_1000~26500



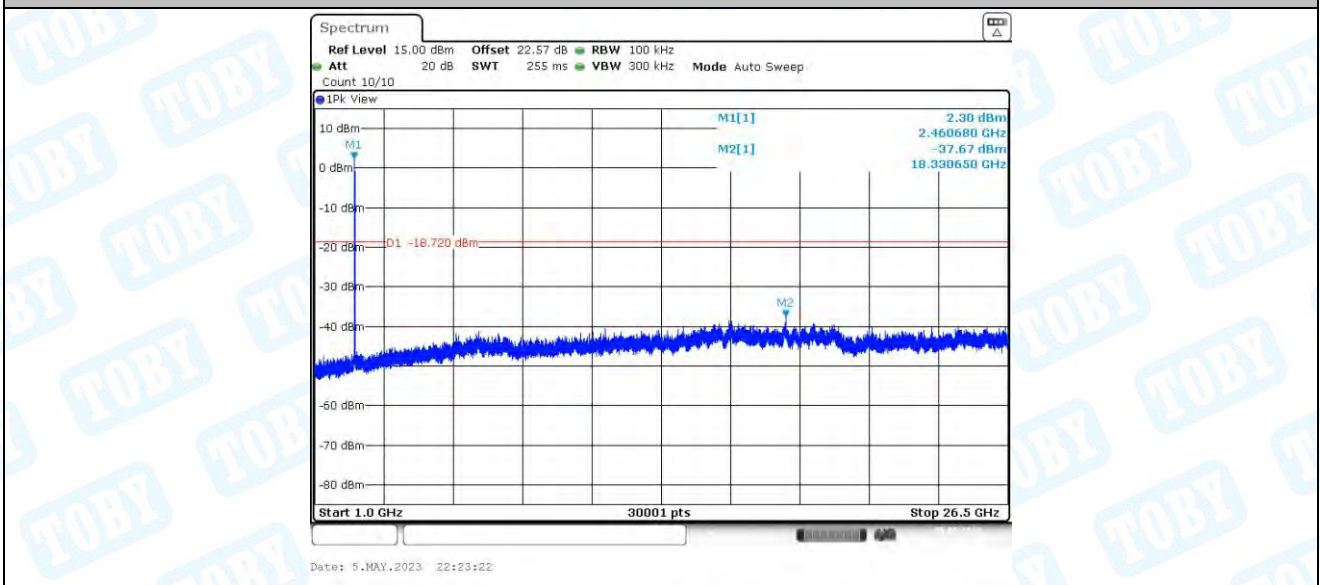
11N20MIMO_Ant2_2462_0~Reference



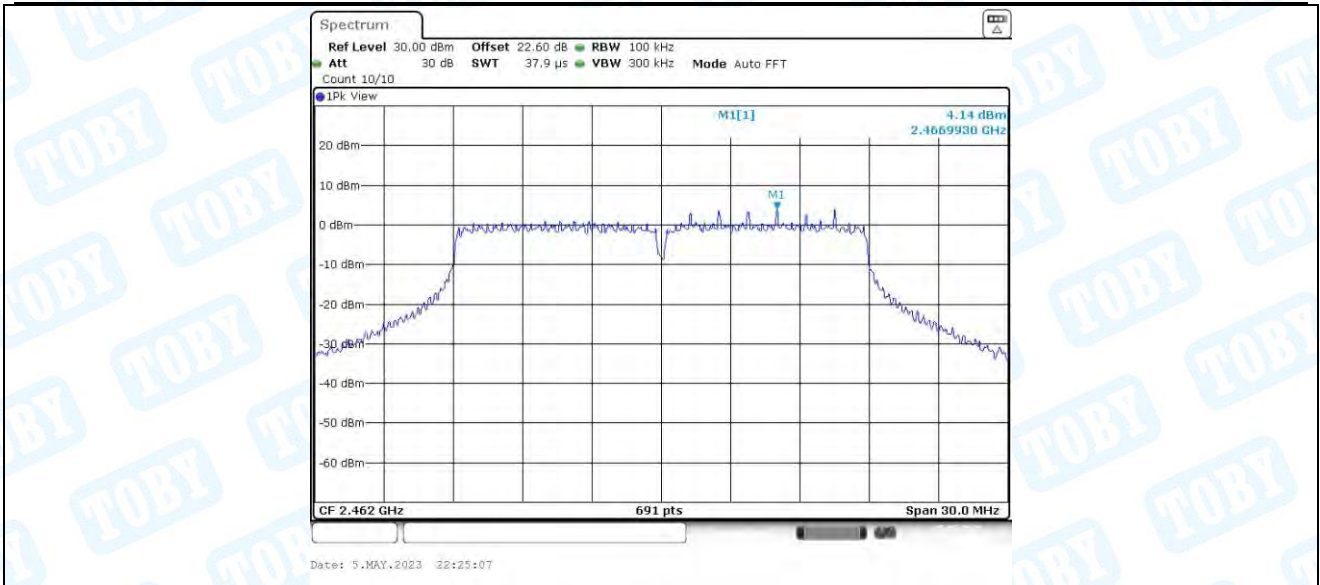
11N20MIMO_Ant2_2462_30~1000



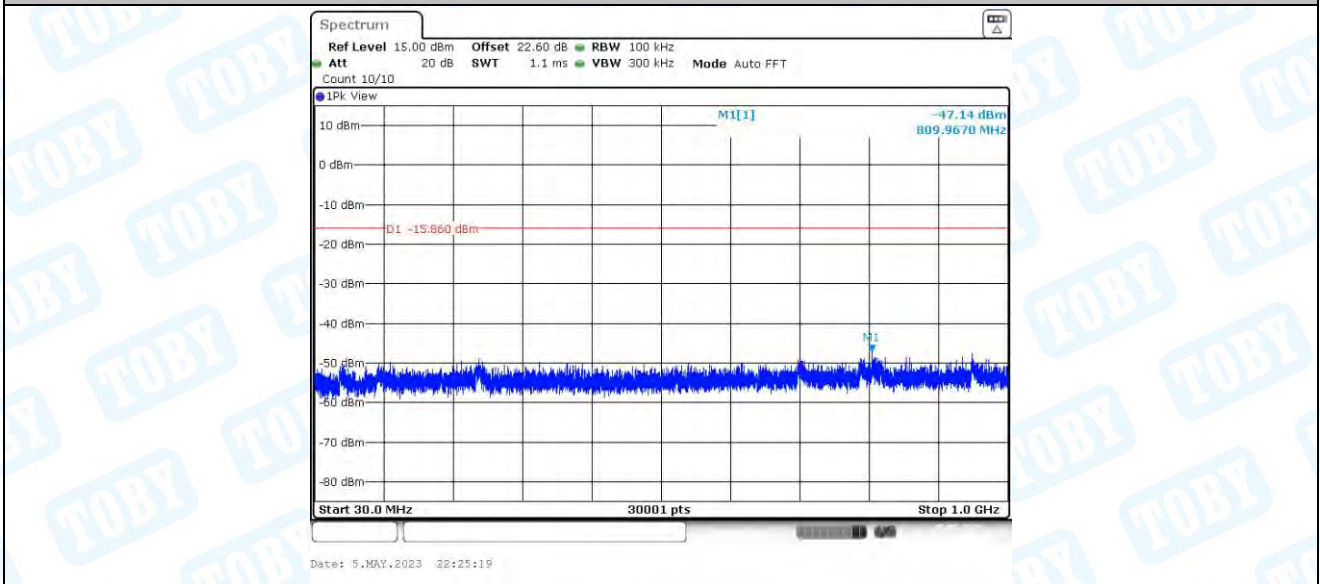
11N20MIMO_Ant2_2462_1000~26500



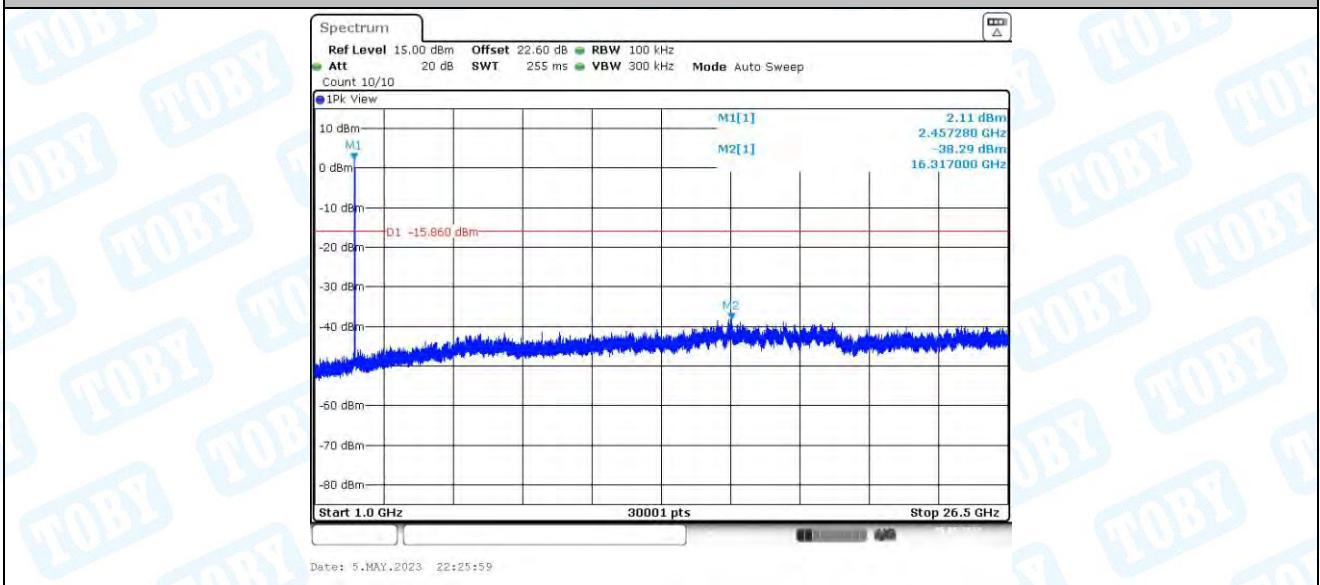
11N20MIMO_Ant3_2462_0~Reference



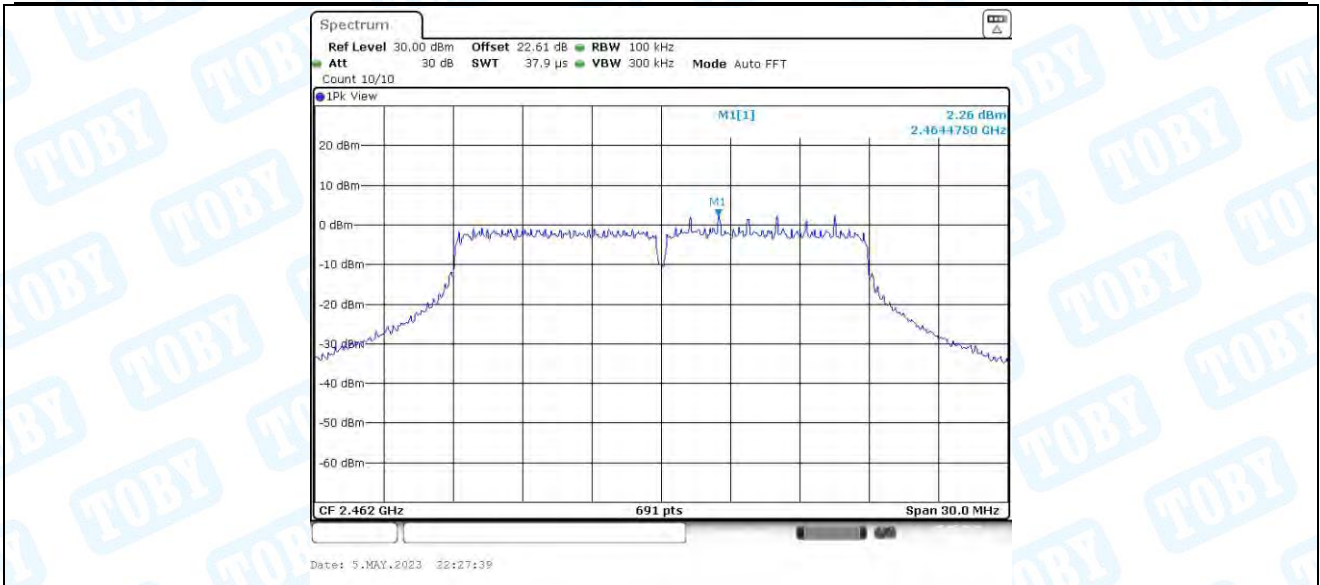
11N20MIMO_Ant3_2462_30~1000



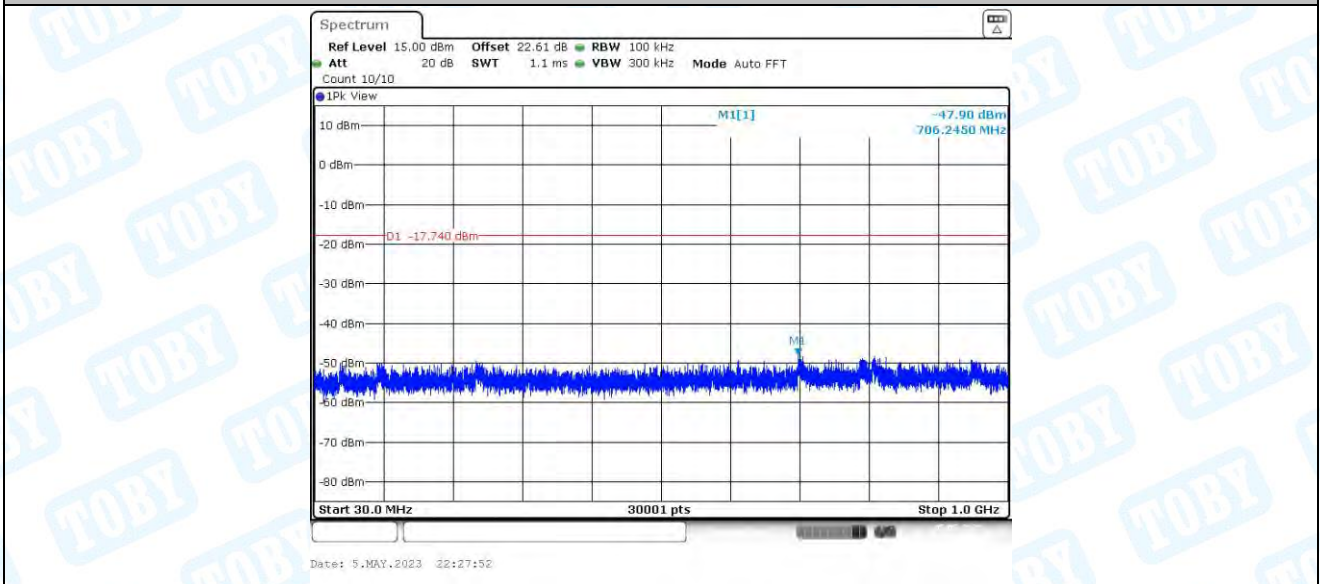
11N20MIMO_Ant3_2462_1000~26500



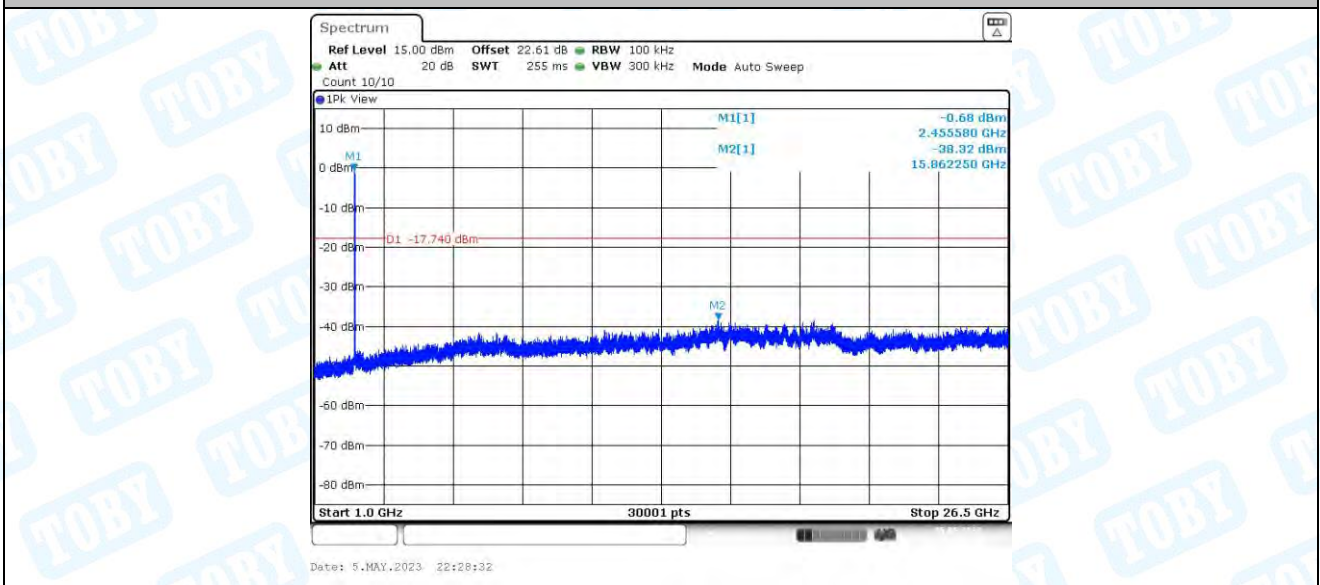
11N20MIMO_Ant4_2462_0~Reference



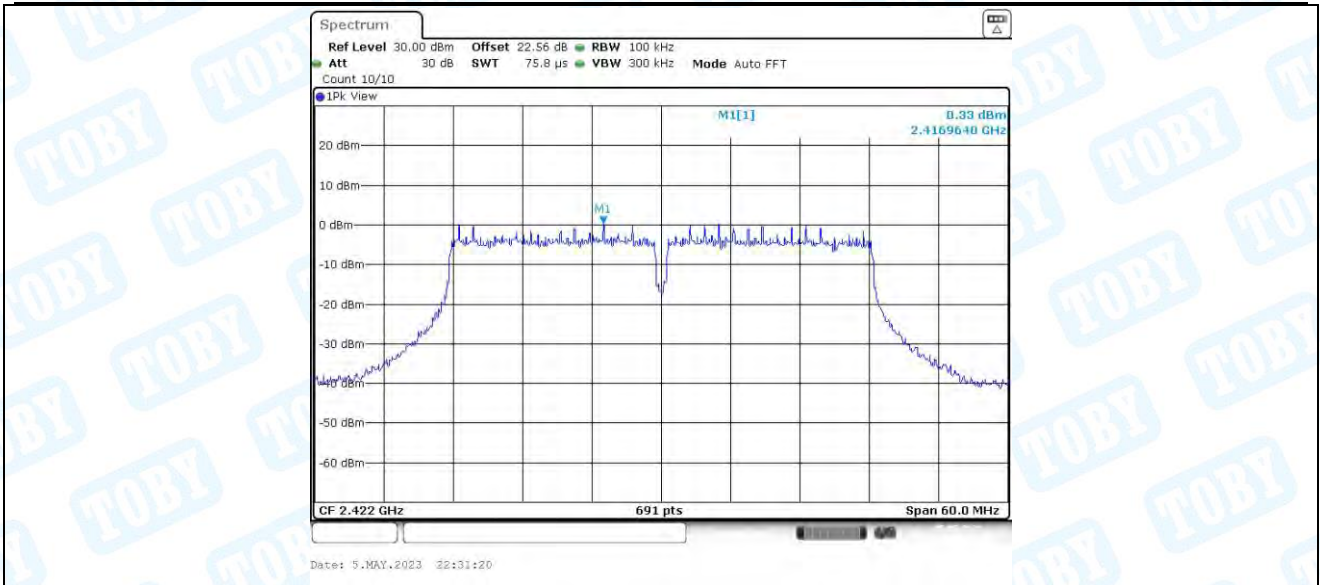
11N20MIMO_Ant4_2462_30~1000



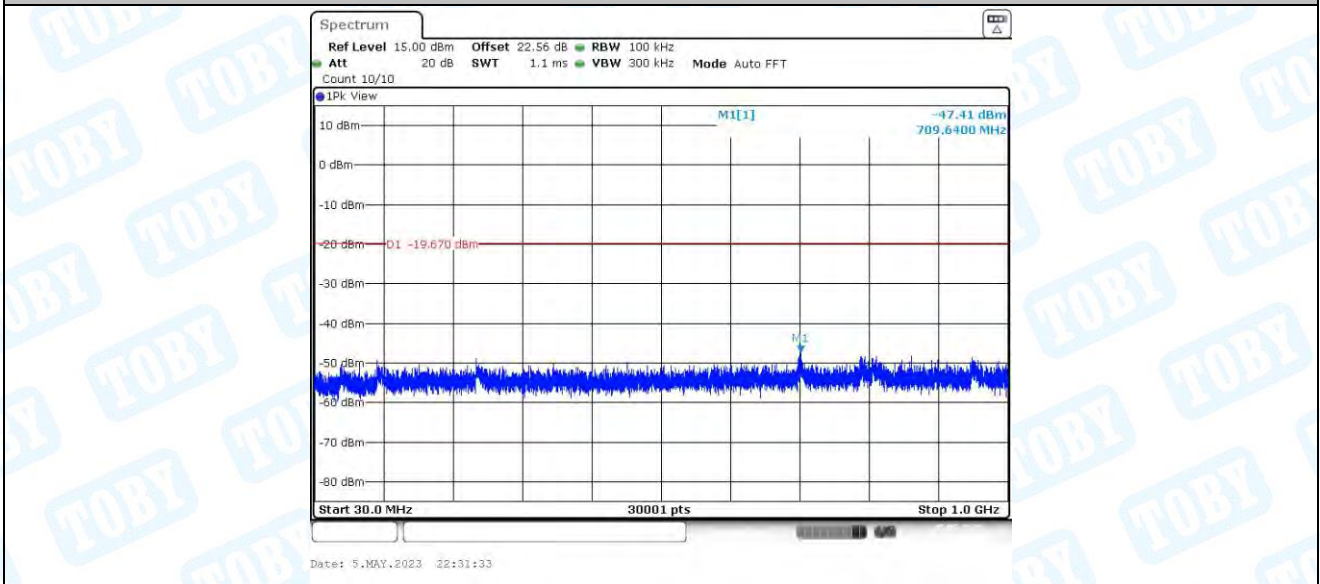
11N20MIMO_Ant4_2462_1000~26500



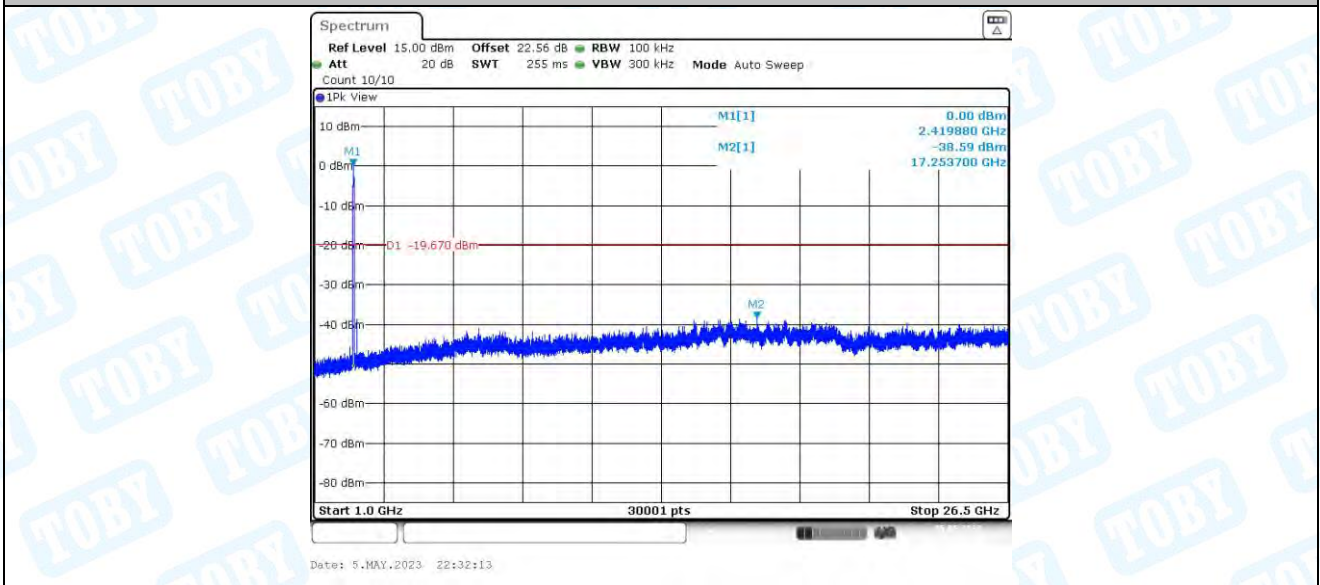
11N40MIMO_Ant1_2422_0~Reference



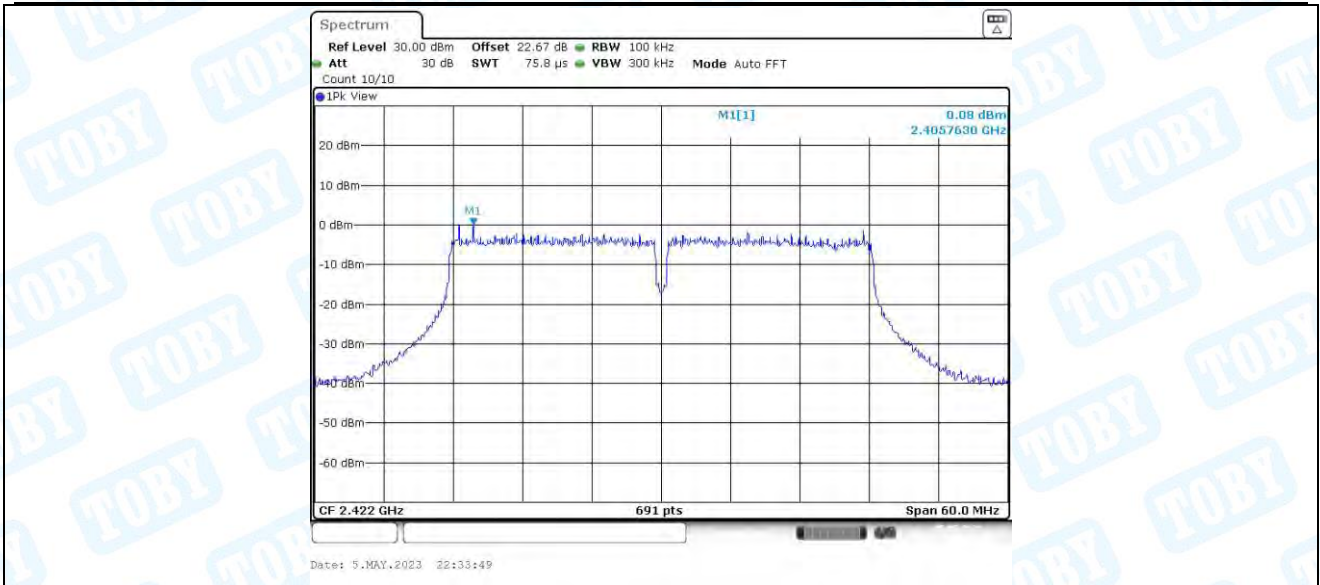
11N40MIMO_Ant1_2422_30~1000



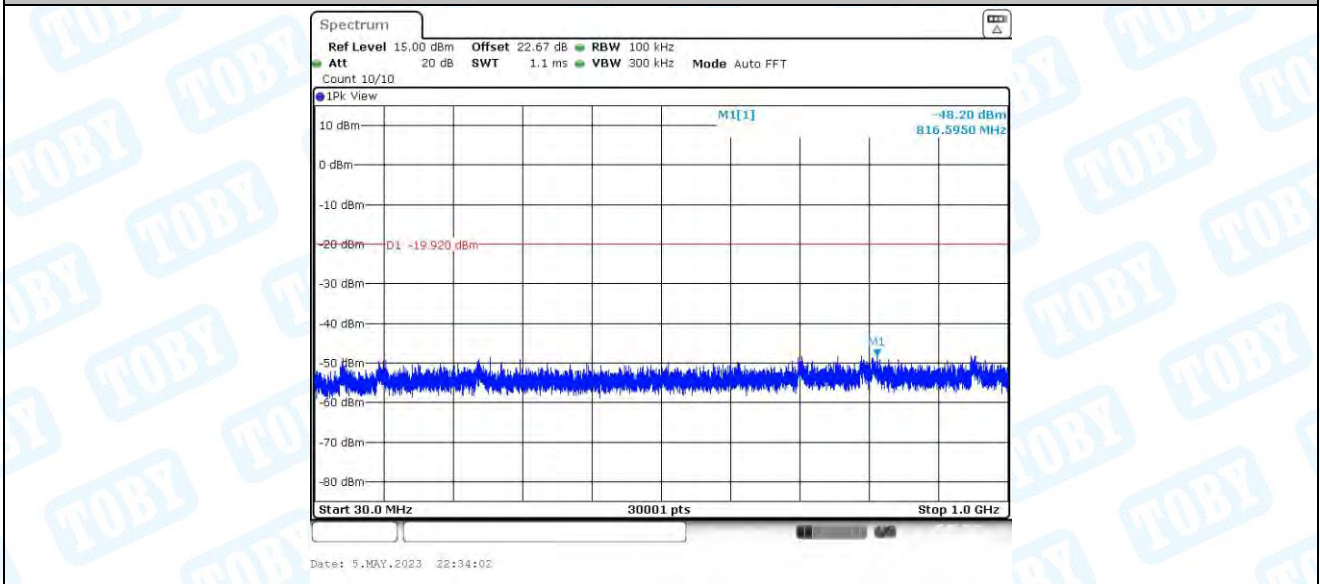
11N40MIMO_Ant1_2422_1000~26500



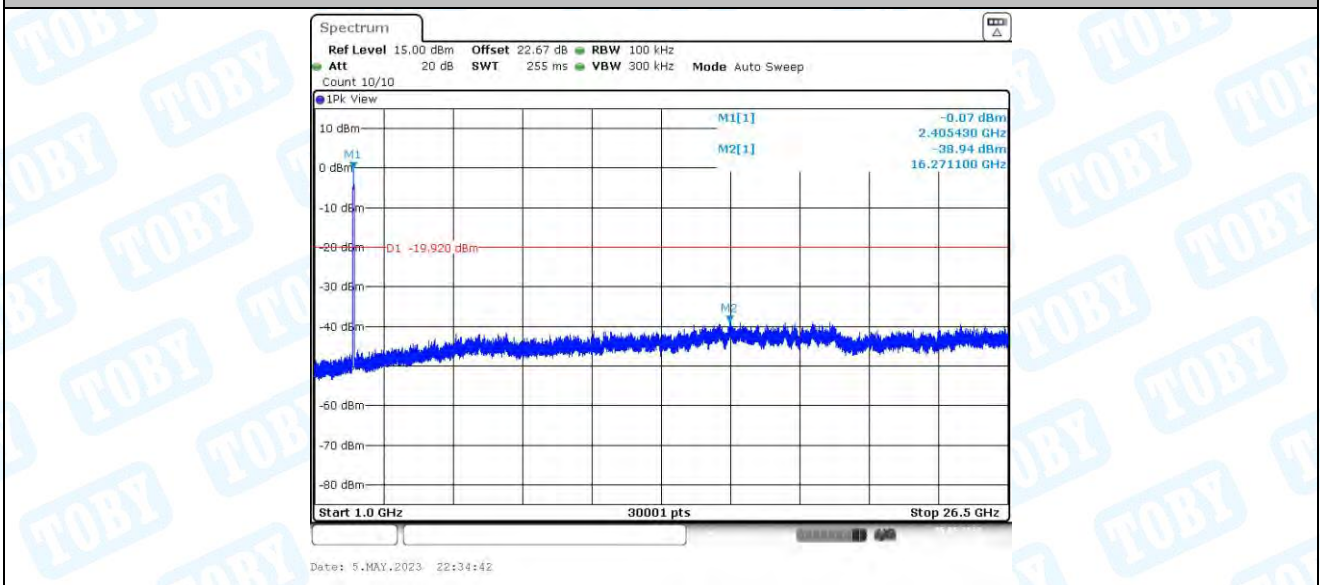
11N40MIMO_Ant2_2422_0~Reference



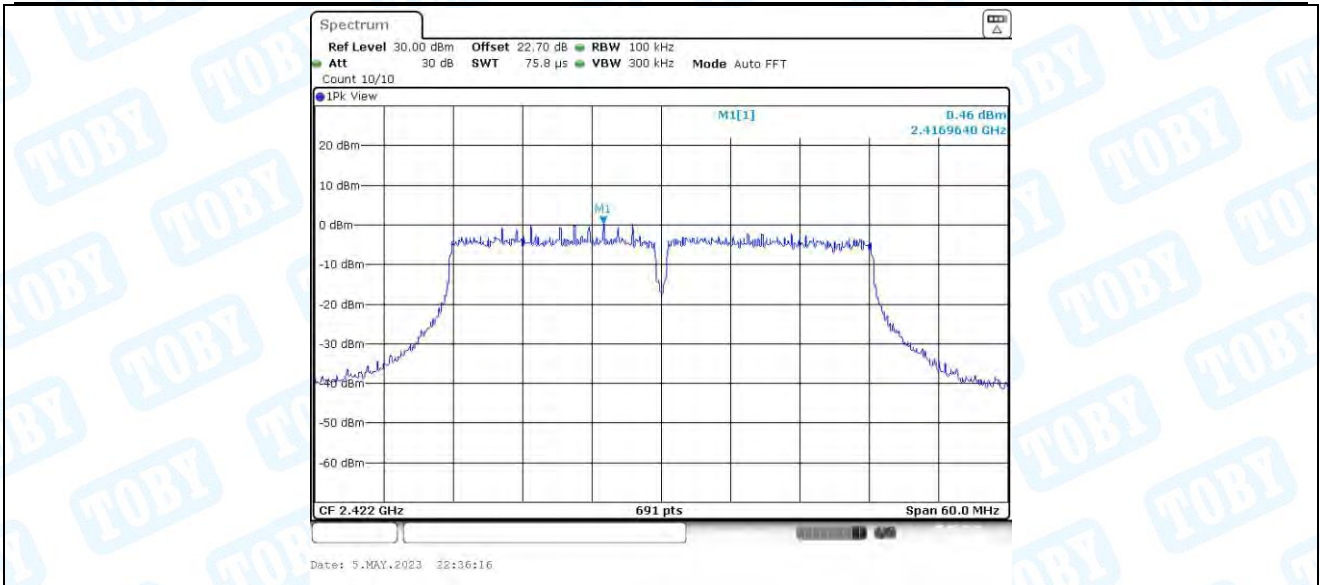
11N40MIMO_Ant2_2422_30~1000



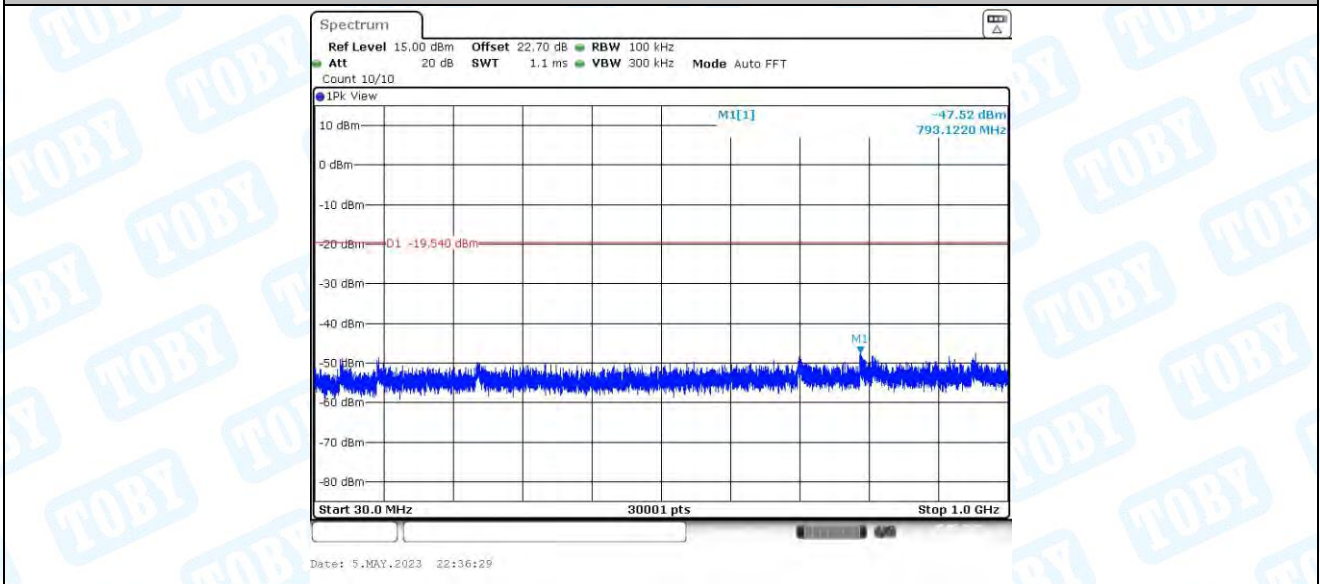
11N40MIMO_Ant2_2422_1000~26500



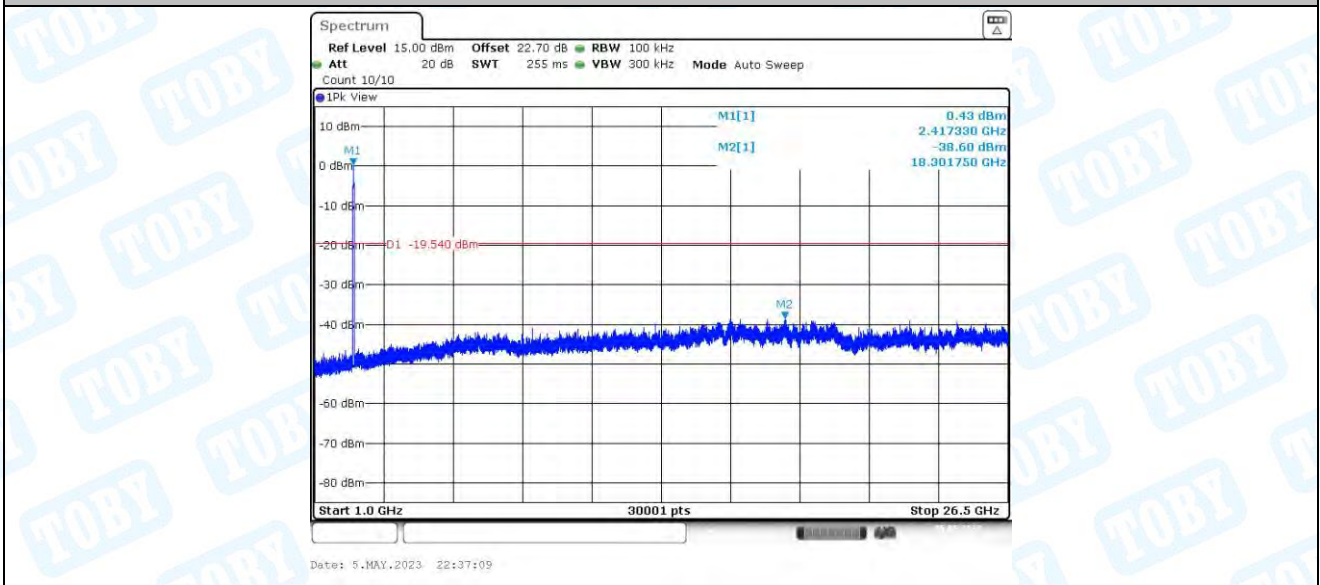
11N40MIMO_Ant3_2422_0~Reference



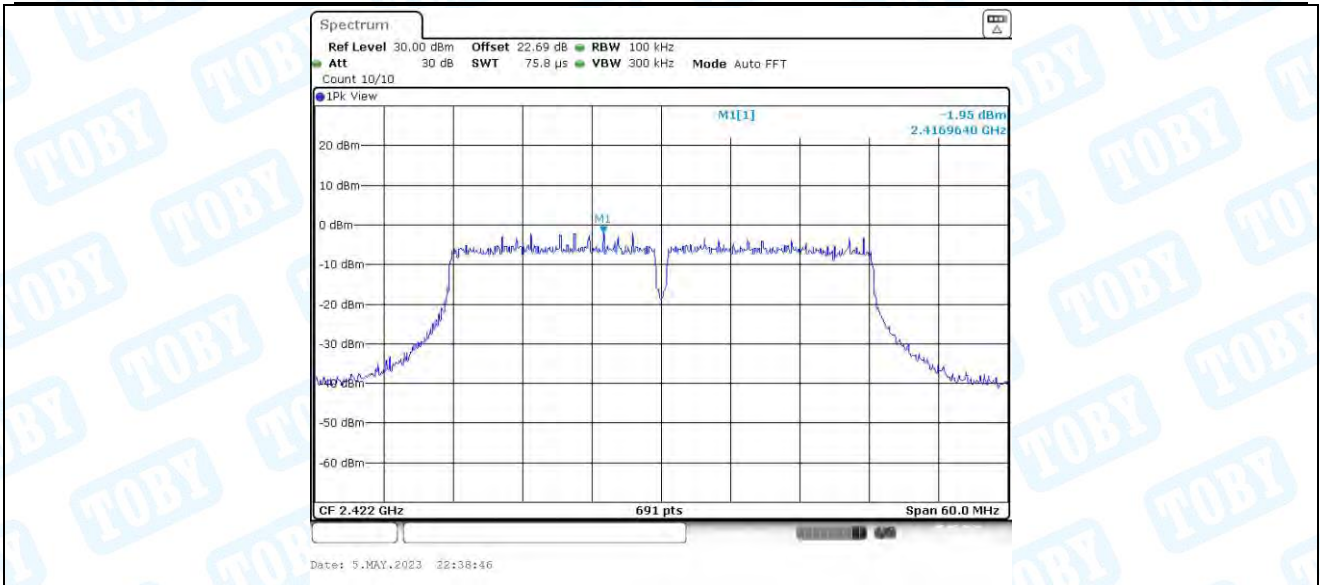
11N40MIMO_Ant3_2422_30~1000



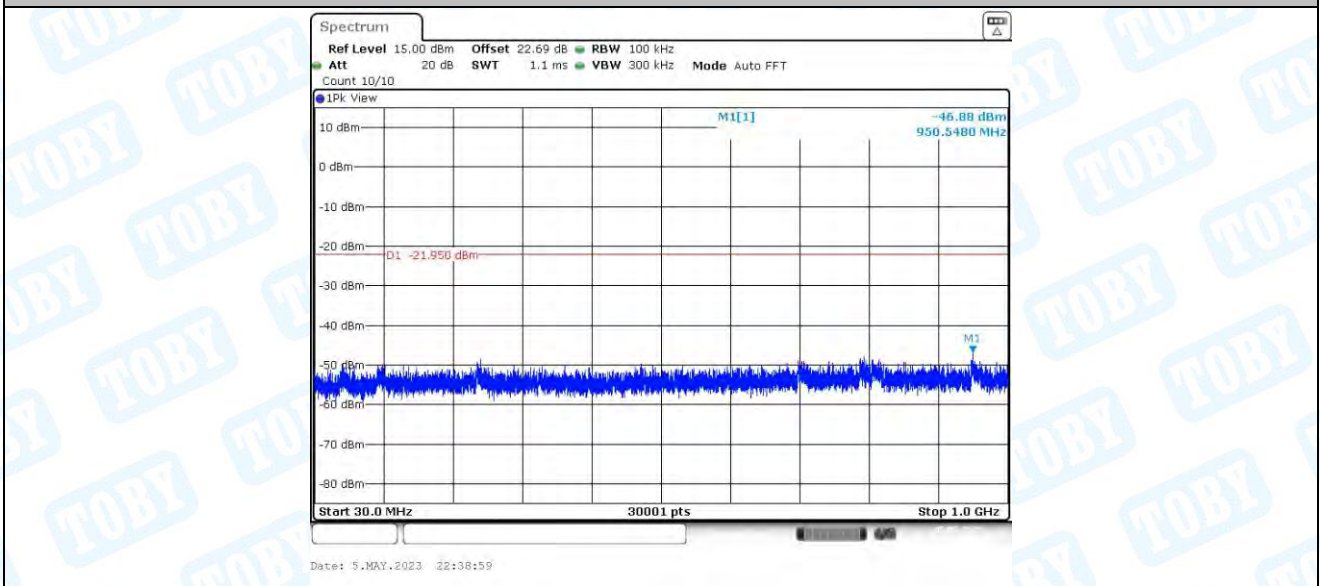
11N40MIMO_Ant3_2422_1000~26500



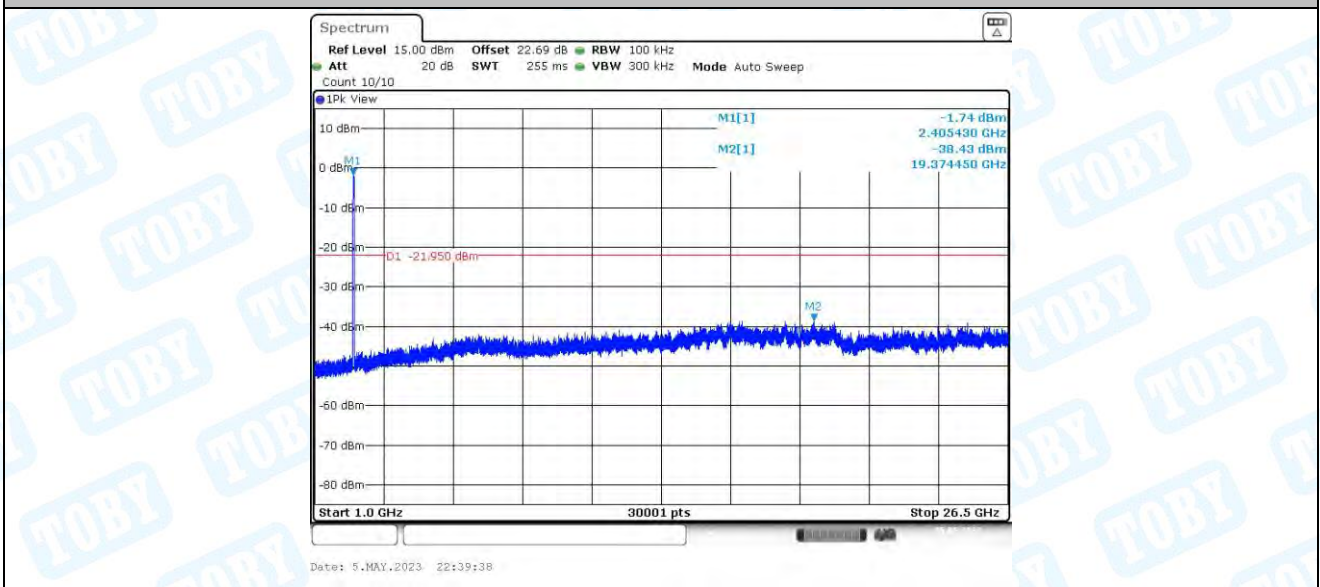
11N40MIMO_Ant4_2422_0~Reference



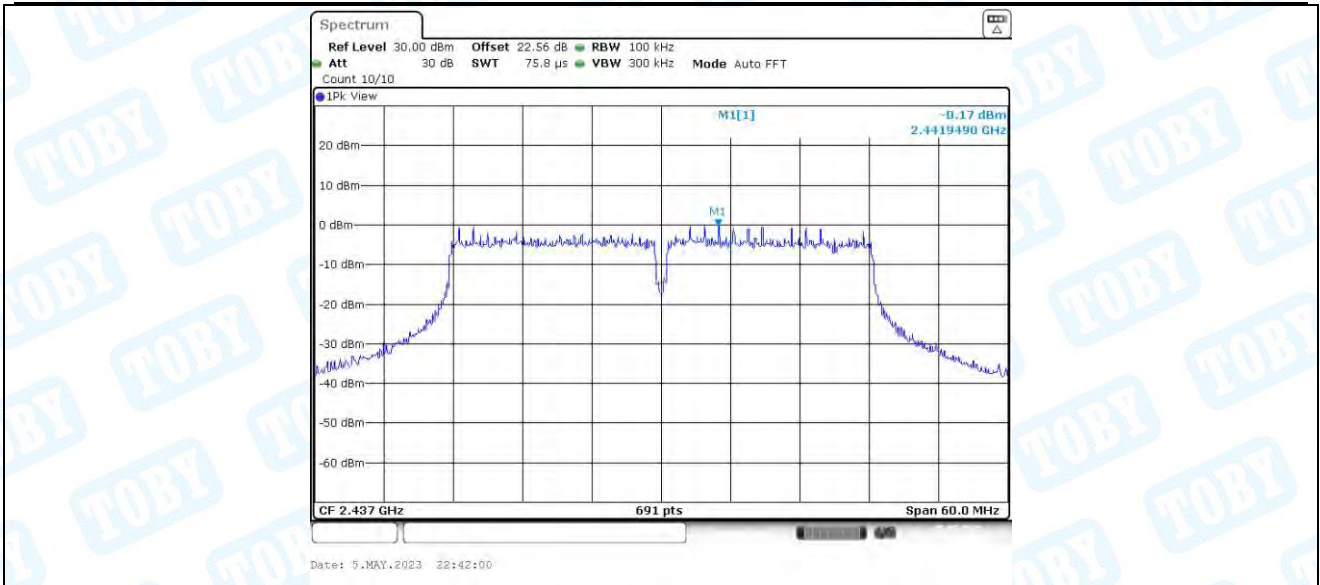
11N40MIMO_Ant4_2422_30~1000



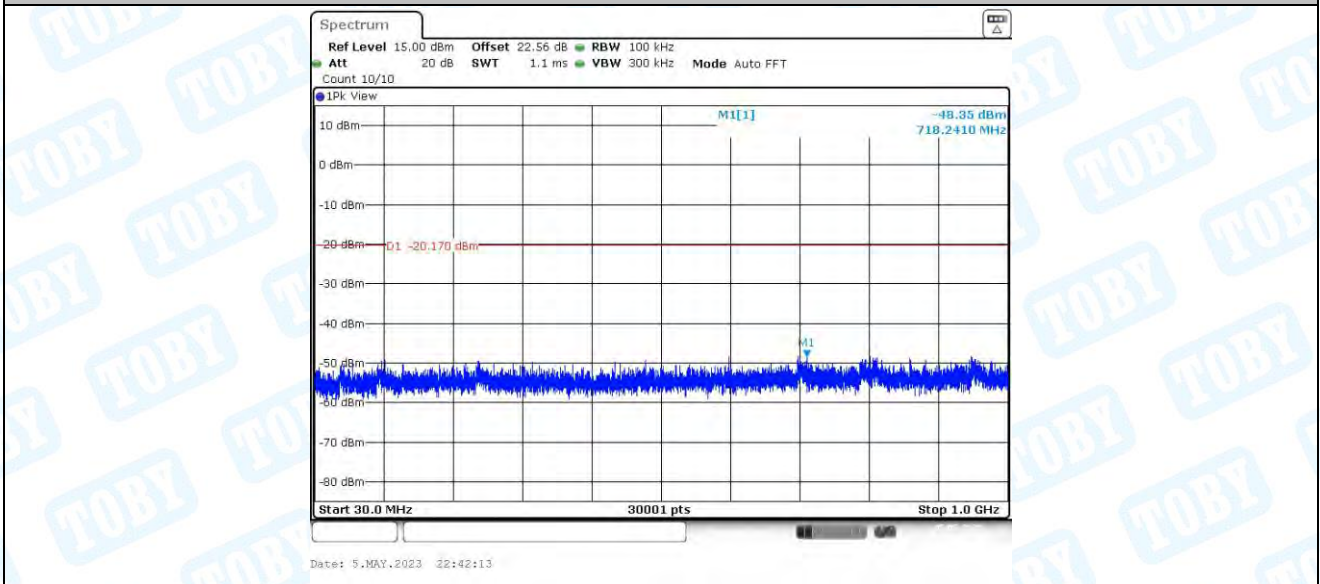
11N40MIMO_Ant4_2422_1000~26500



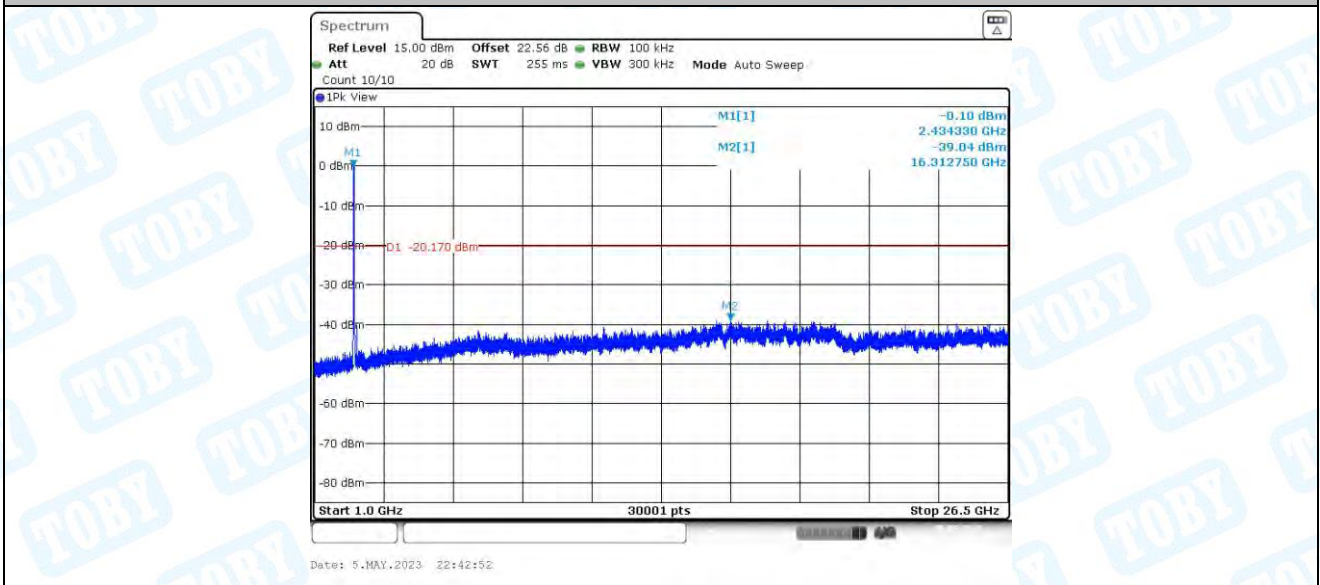
11N40MIMO_Ant1_2437_0~Reference



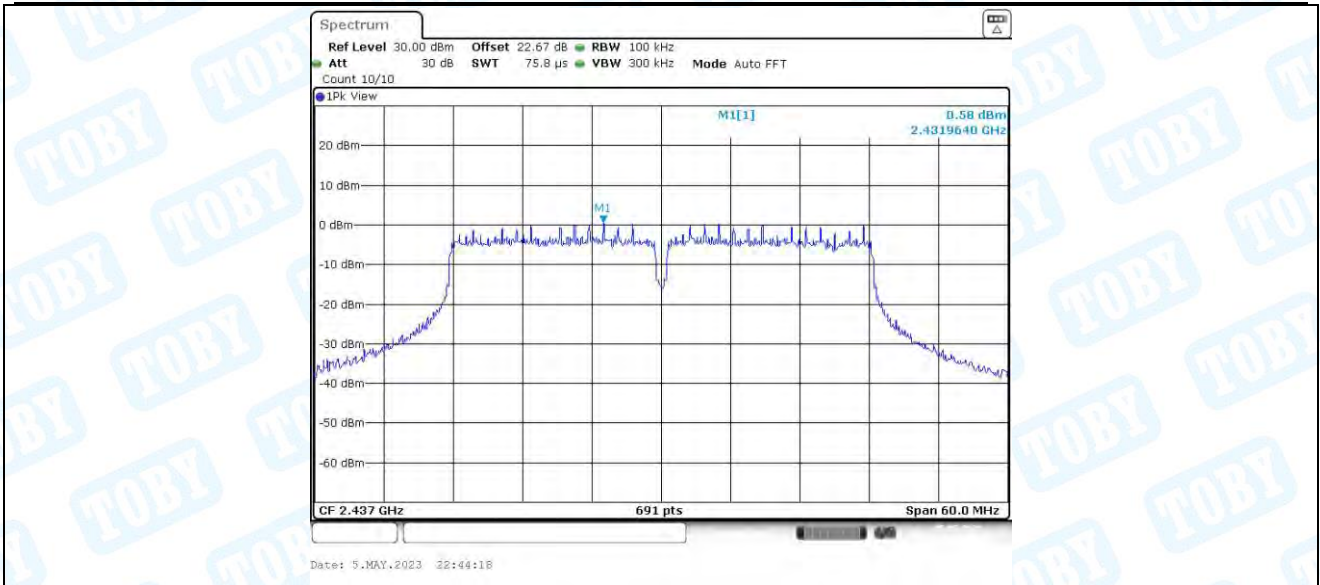
11N40MIMO_Ant1_2437_30~1000



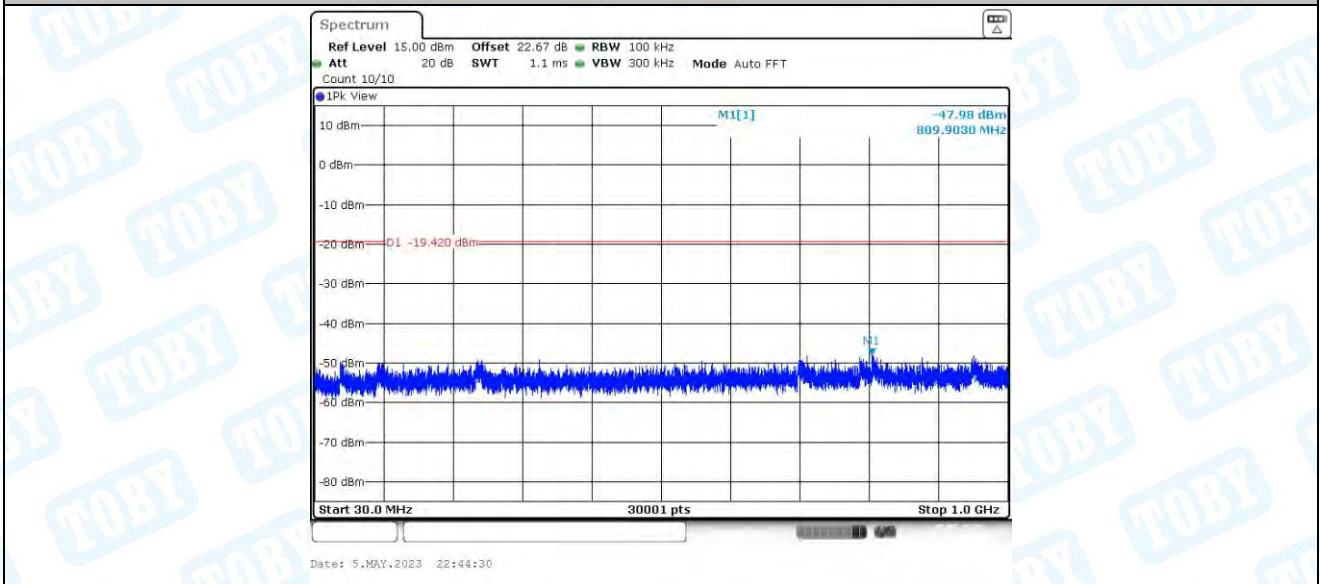
11N40MIMO_Ant1_2437_1000~26500



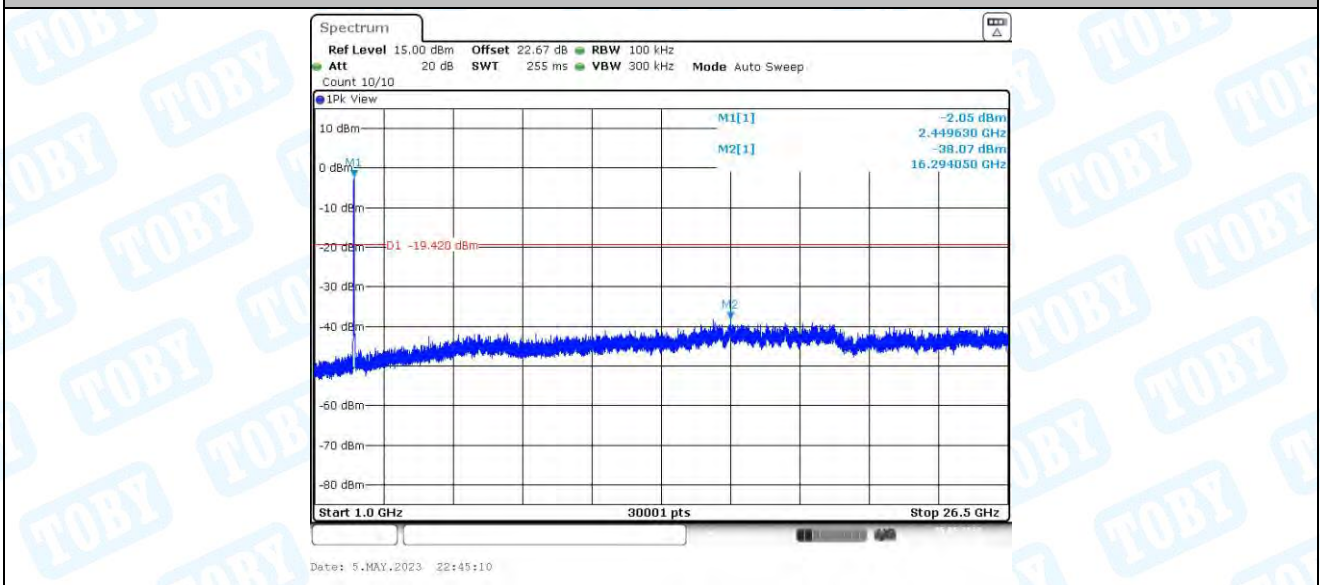
11N40MIMO_Ant2_2437_0~Reference



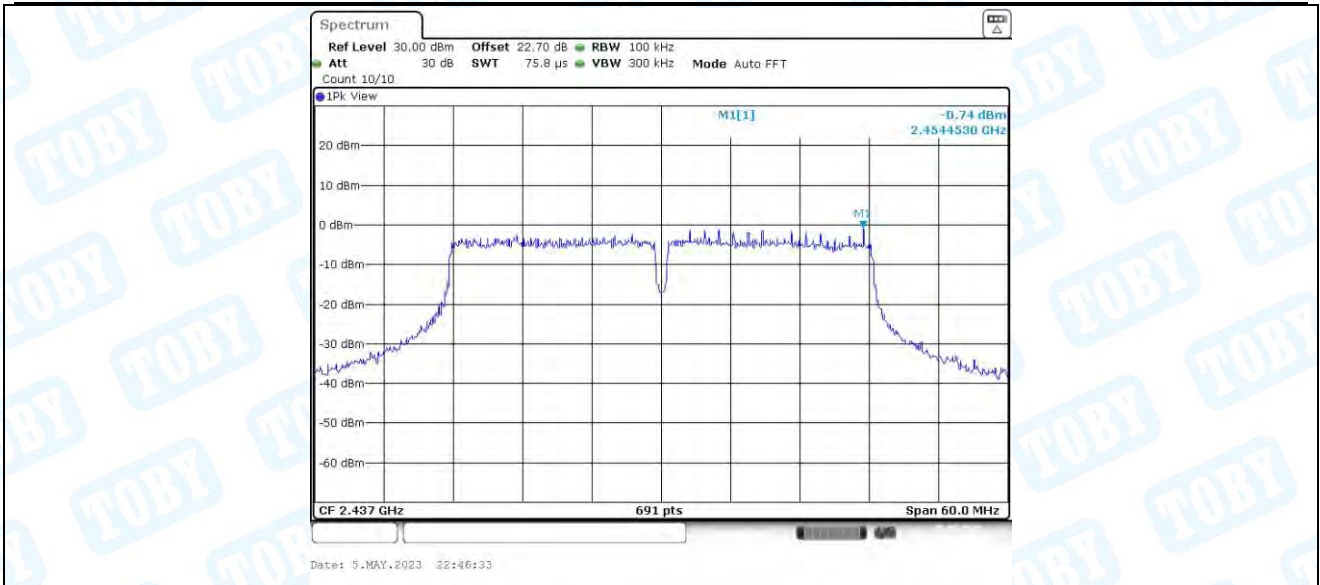
11N40MIMO_Ant2_2437_30~1000



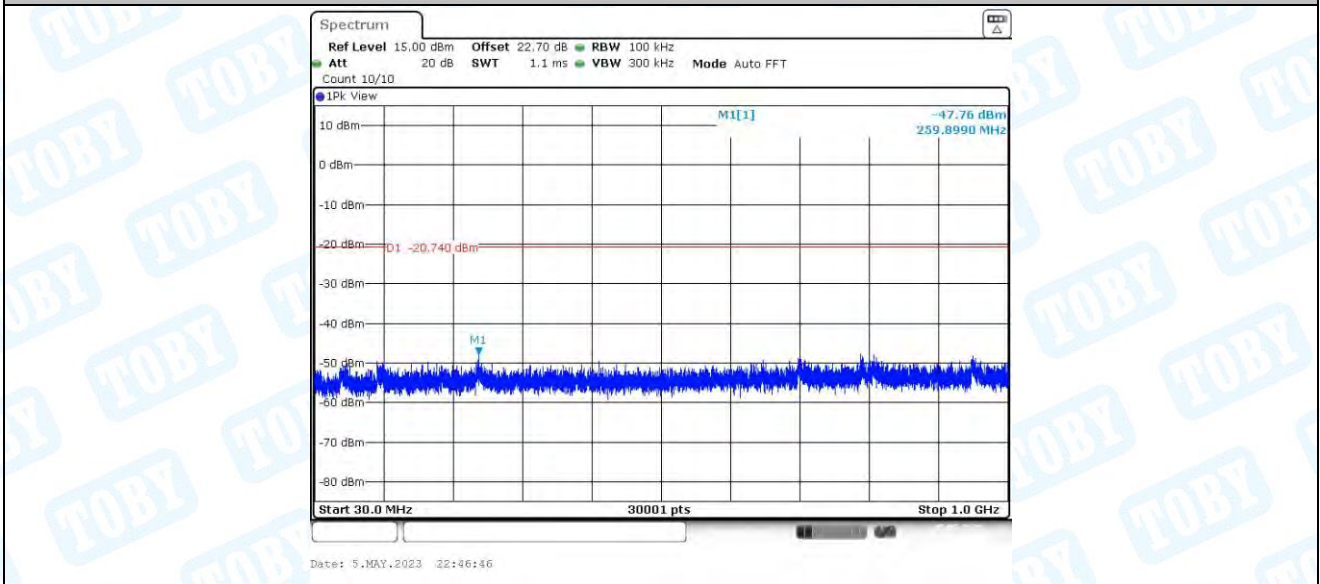
11N40MIMO_Ant2_2437_1000~26500



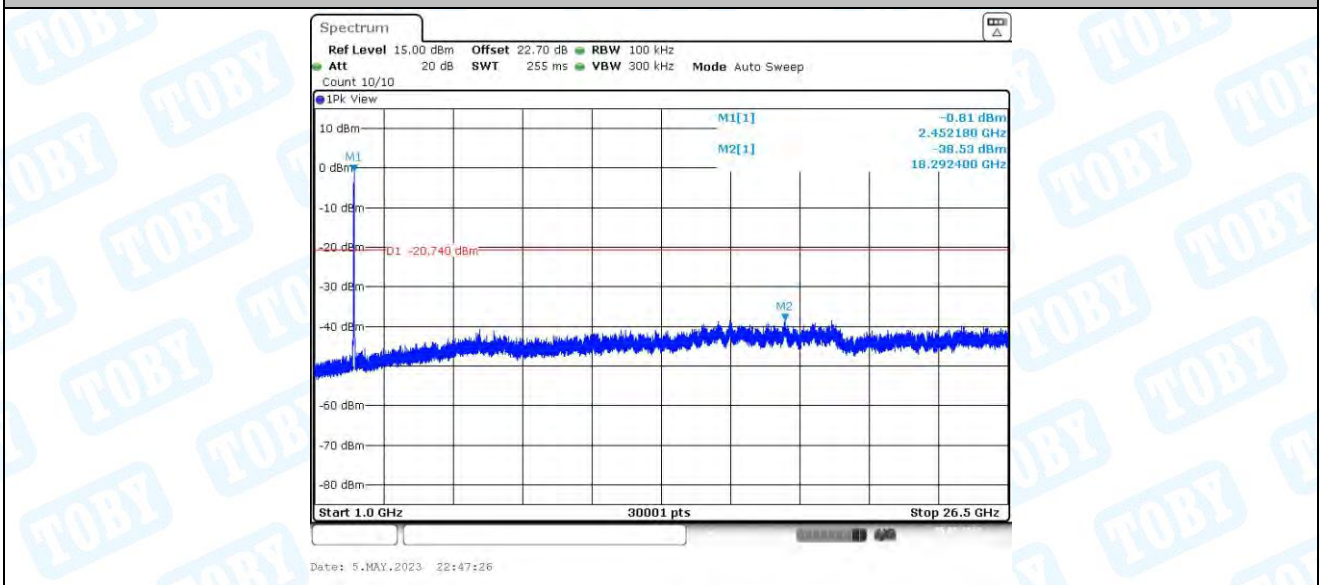
11N40MIMO_Ant3_2437_0~Reference



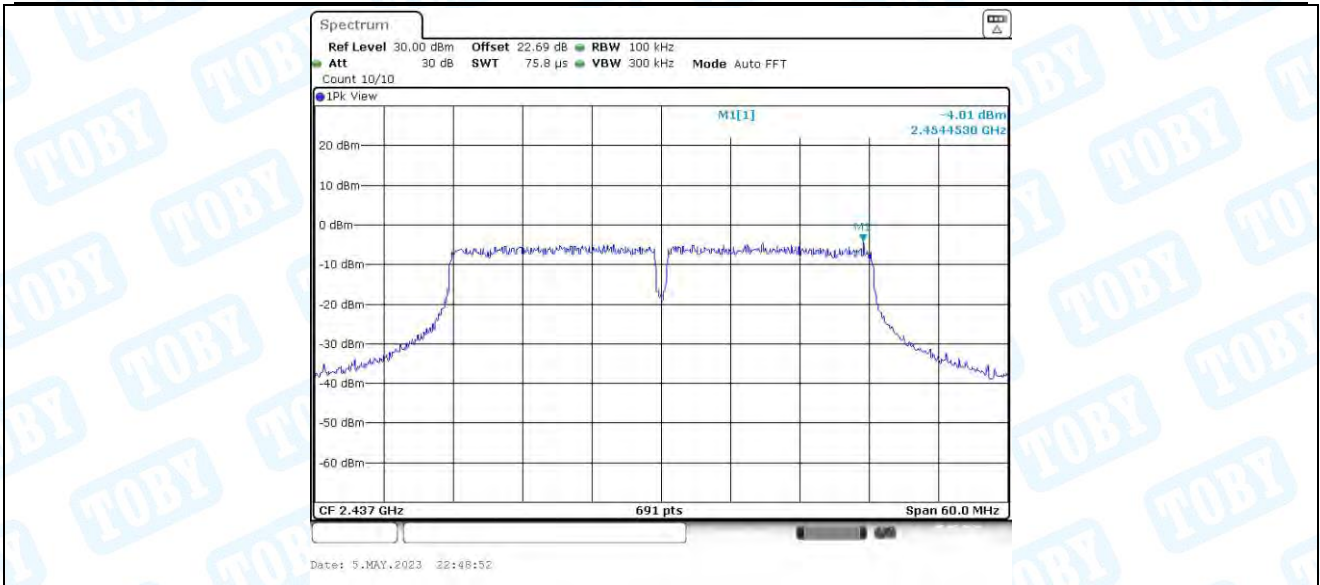
11N40MIMO_Ant3_2437_30~1000



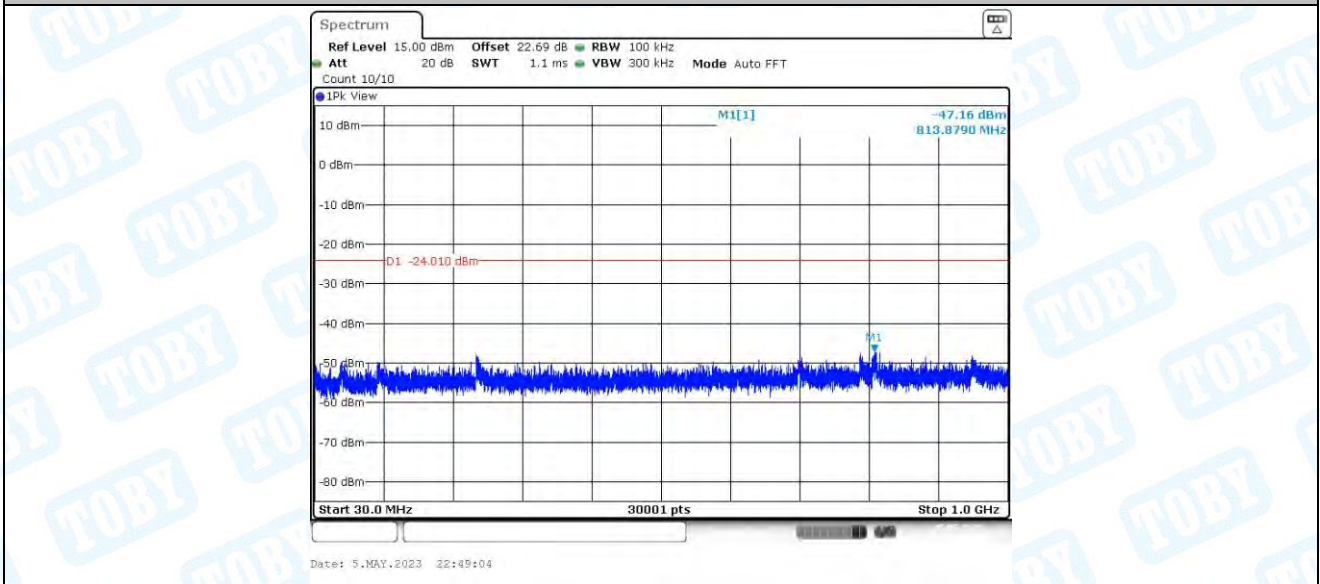
11N40MIMO_Ant3_2437_1000~26500



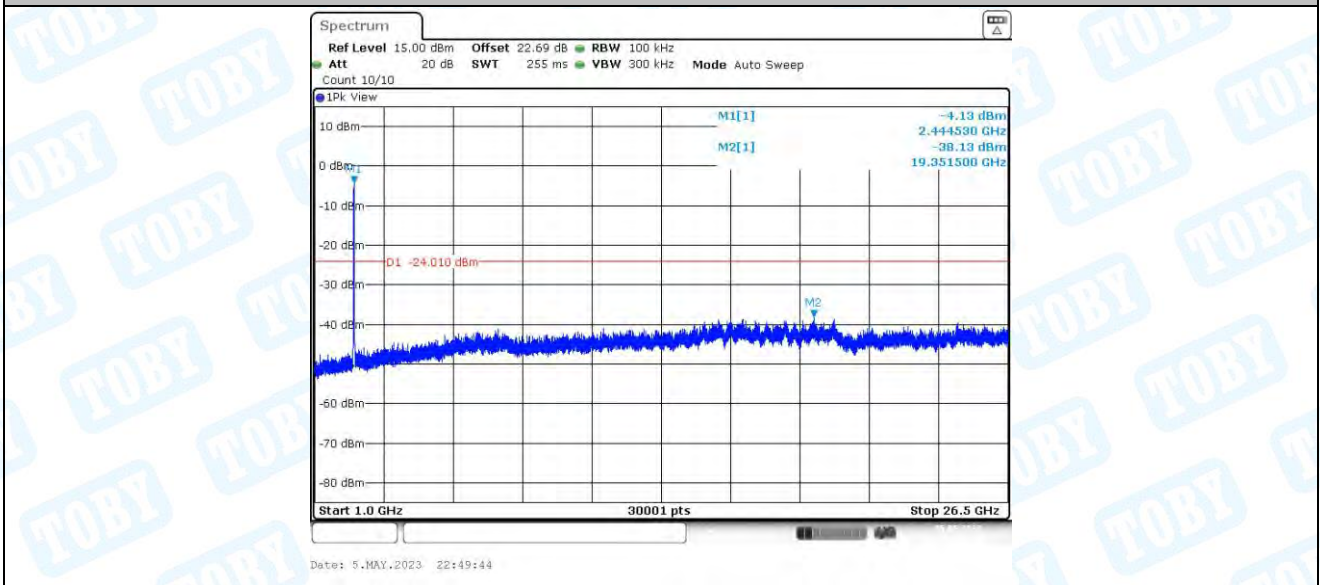
11N40MIMO_Ant4_2437_0~Reference



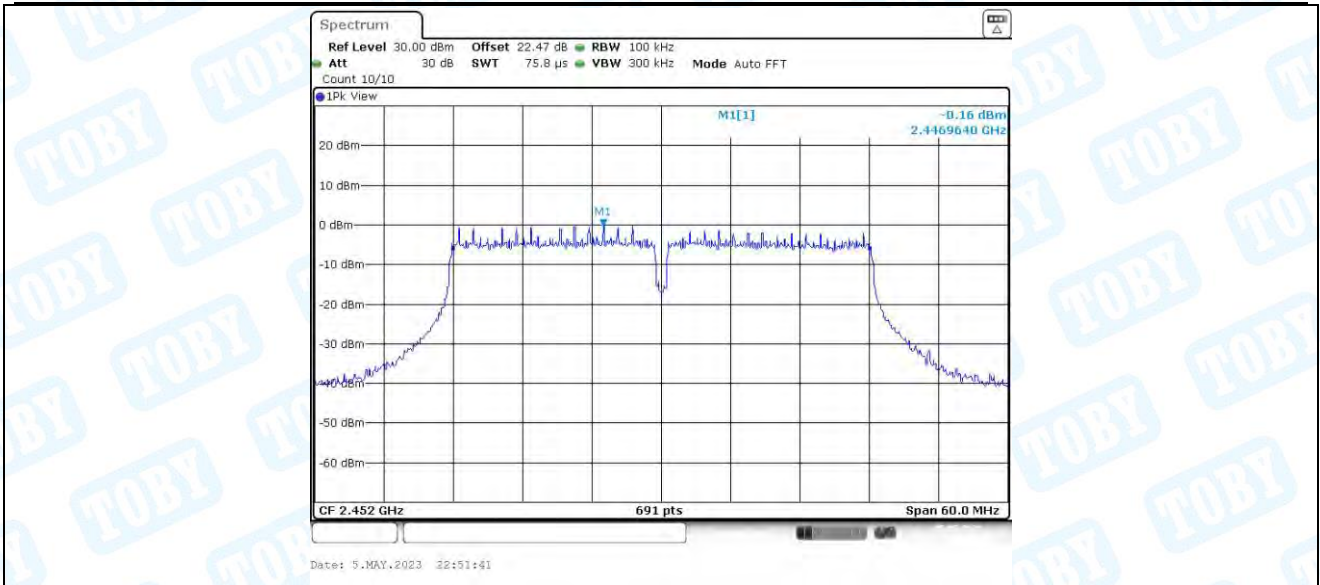
11N40MIMO_Ant4_2437_30~1000



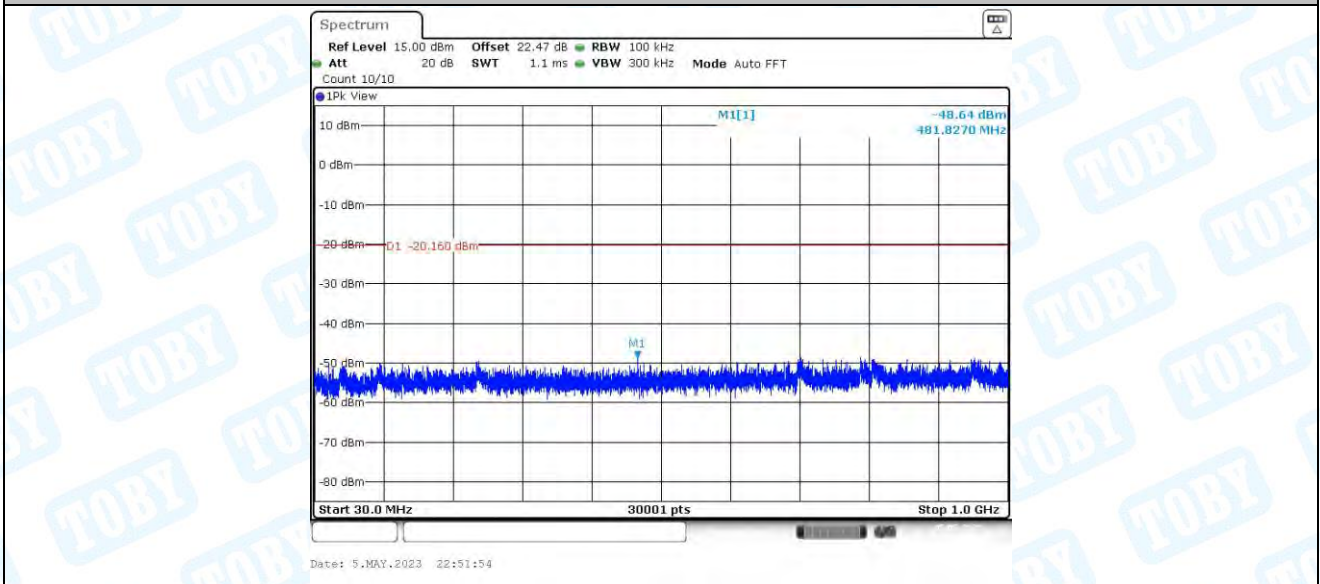
11N40MIMO_Ant4_2437_1000~26500



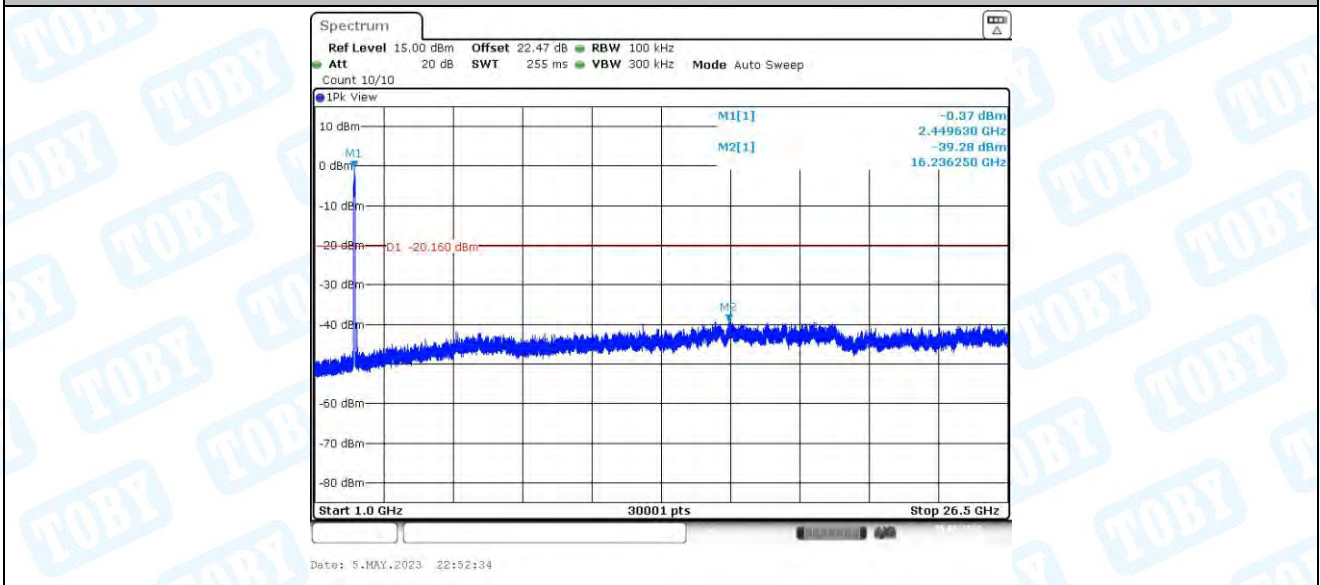
11N40MIMO_Ant1_2452_0~Reference



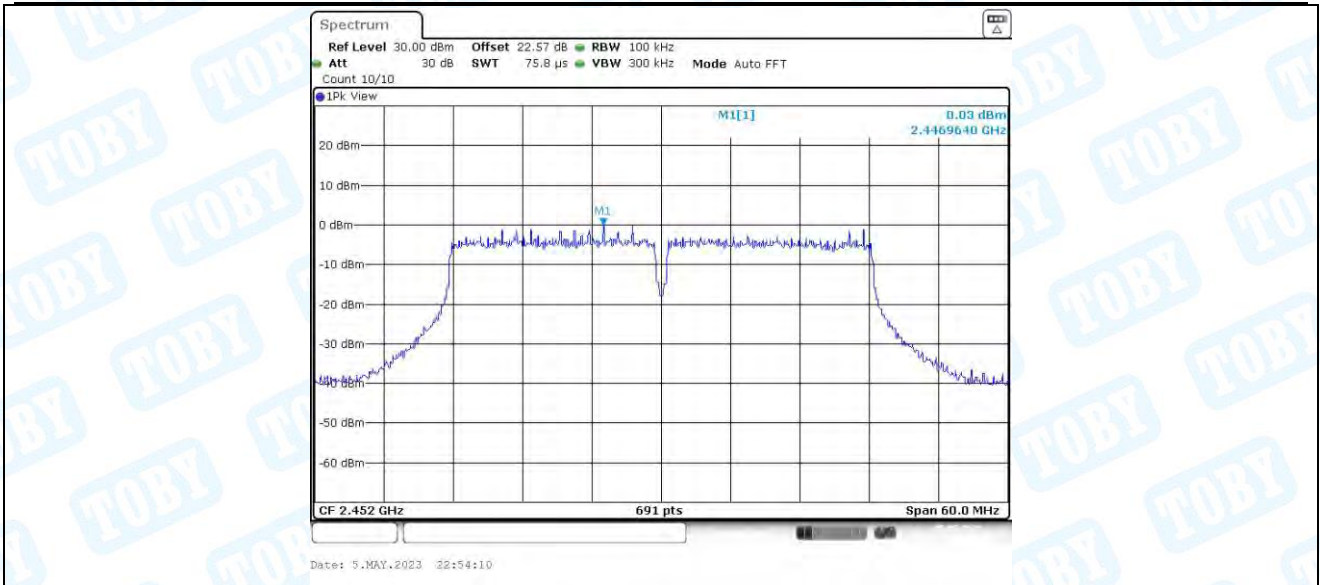
11N40MIMO_Ant1_2452_30~1000



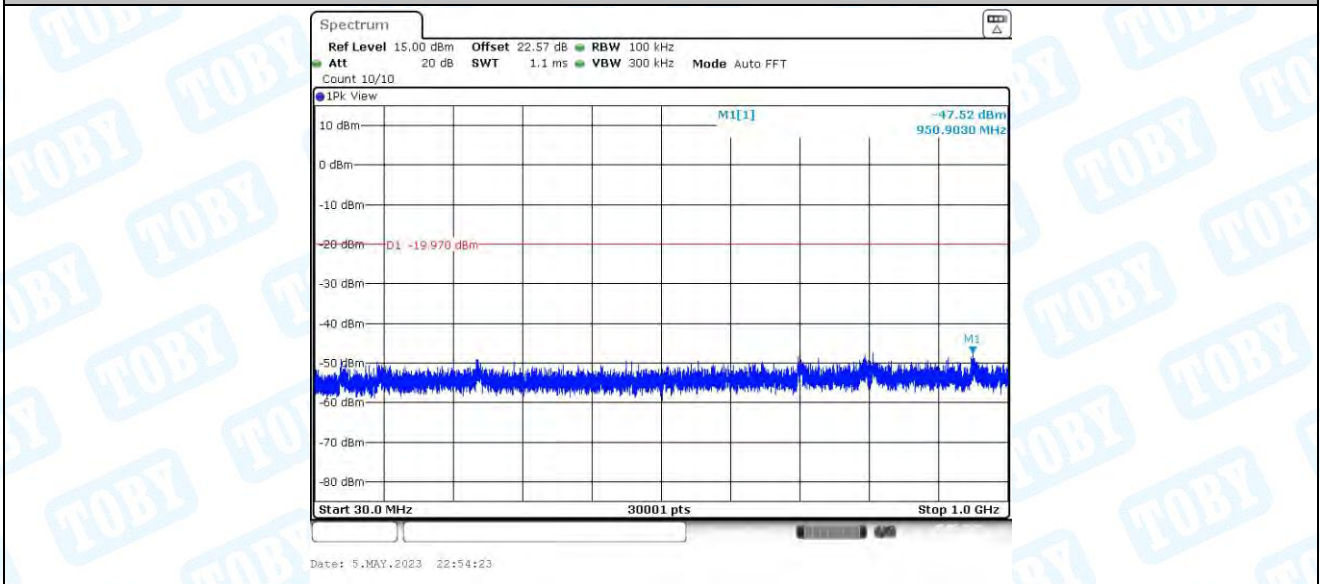
11N40MIMO_Ant1_2452_1000~26500



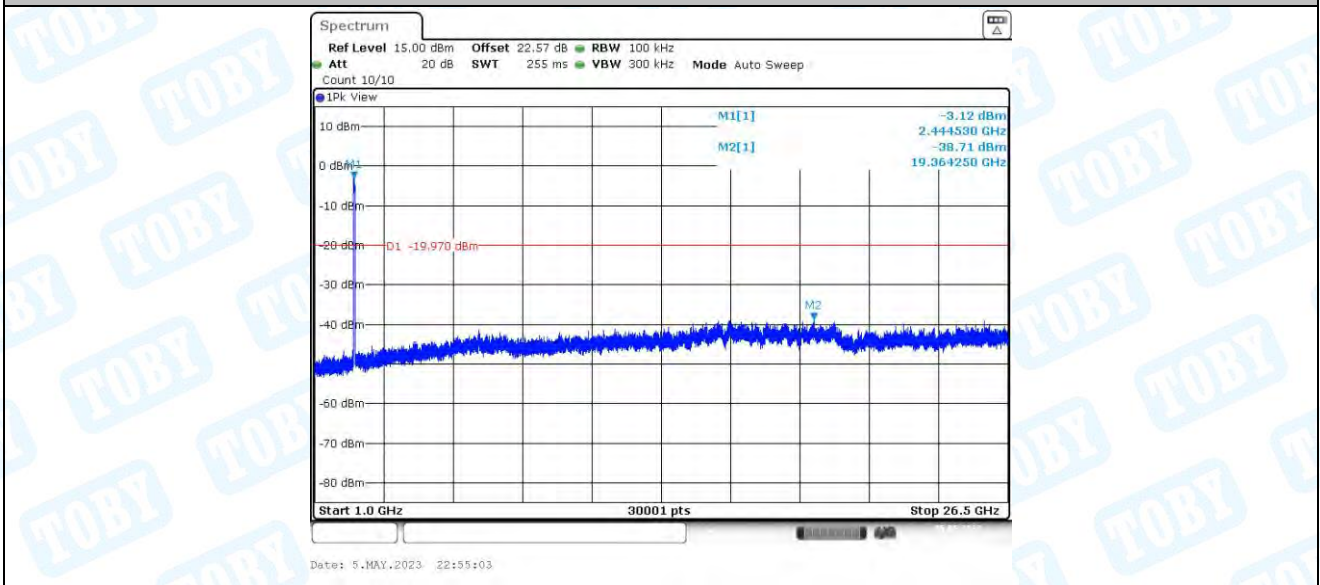
11N40MIMO_Ant2_2452_0~Reference



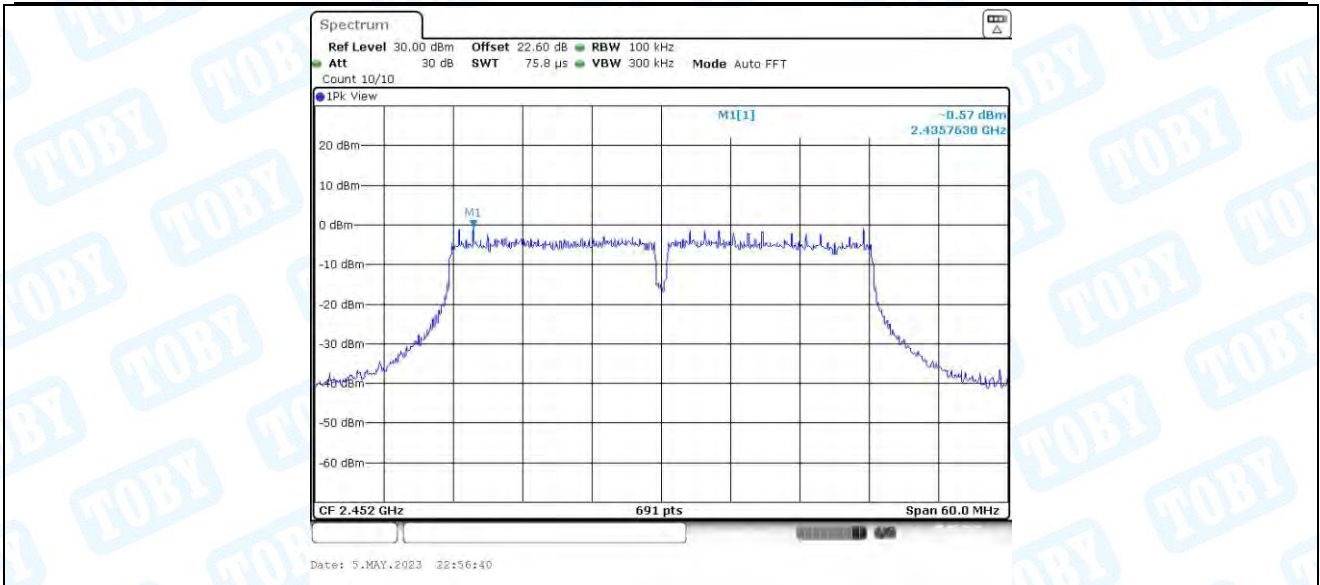
11N40MIMO_Ant2_2452_30~1000



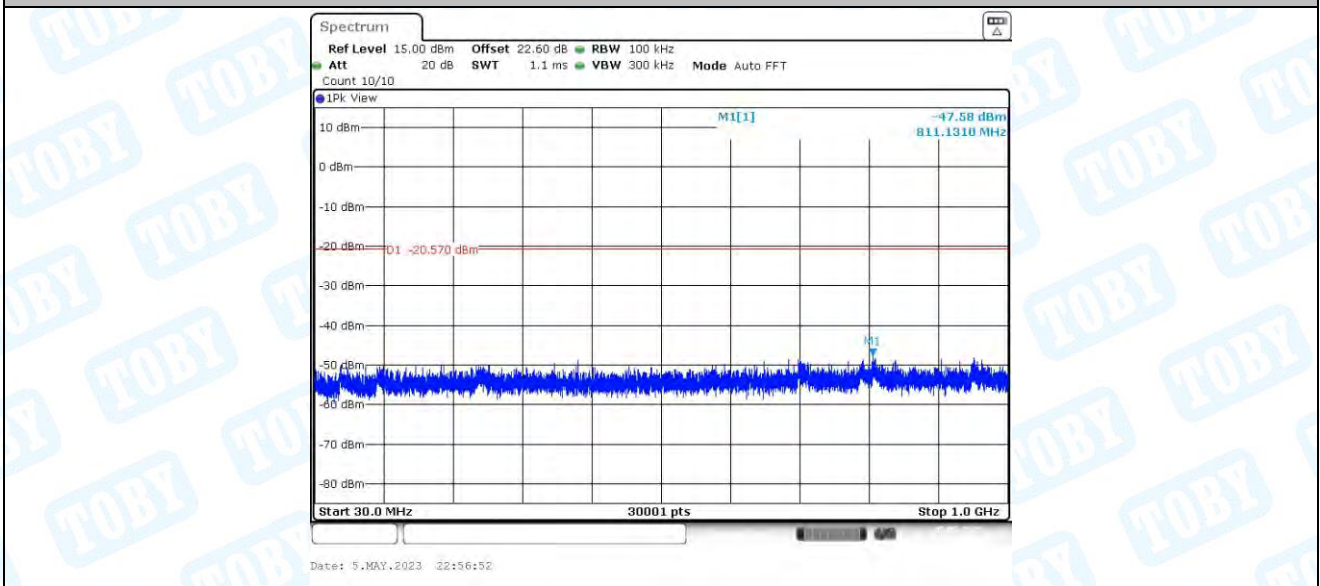
11N40MIMO_Ant2_2452_1000~26500



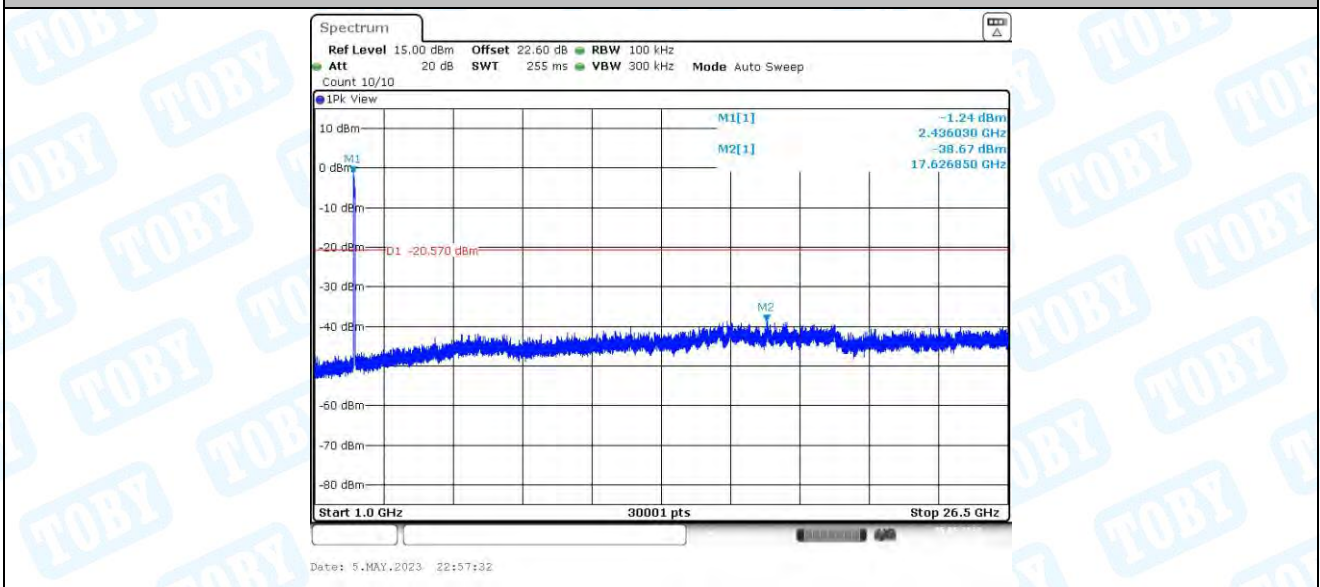
11N40MIMO_Ant3_2452_0~Reference



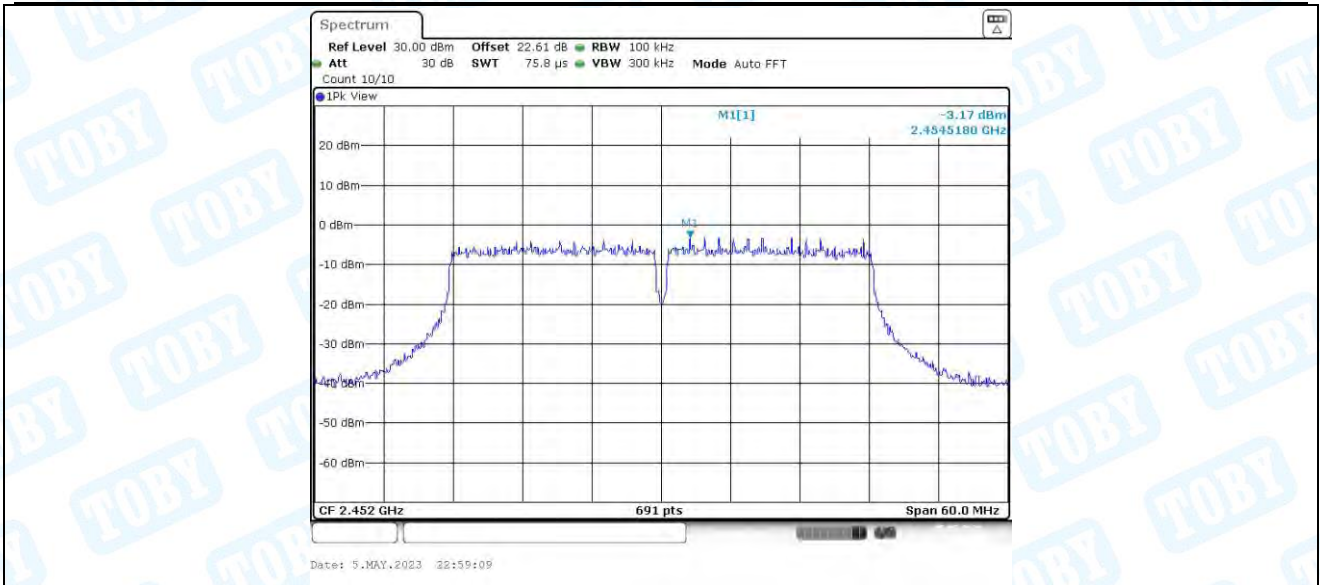
11N40MIMO_Ant3_2452_30~1000



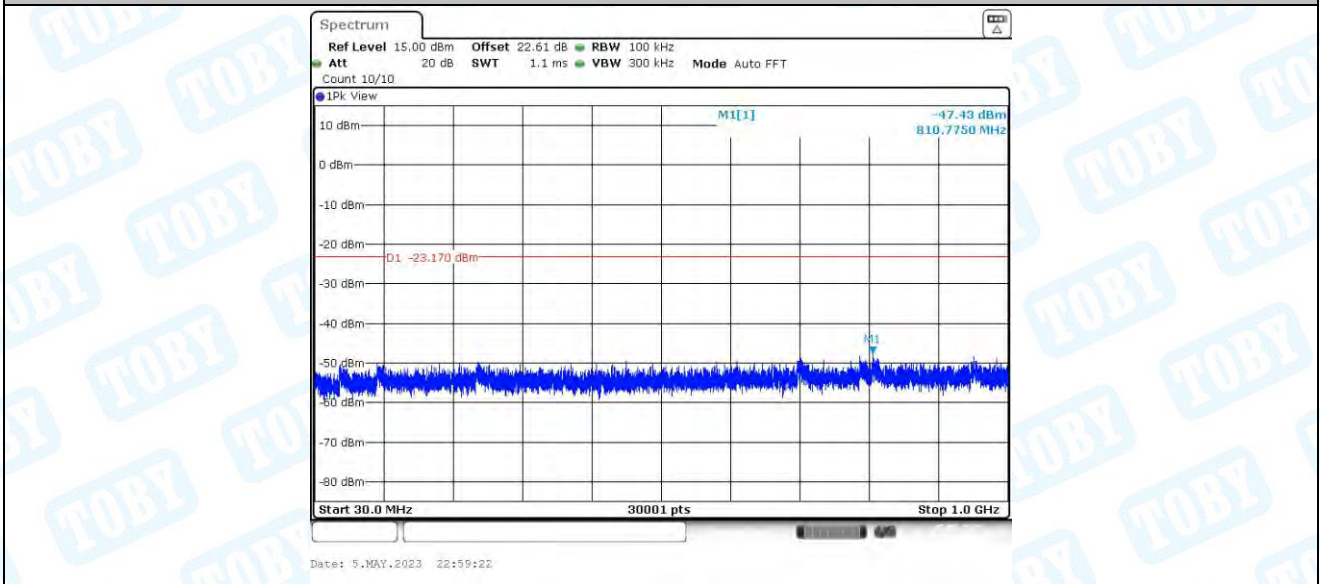
11N40MIMO_Ant3_2452_1000~26500



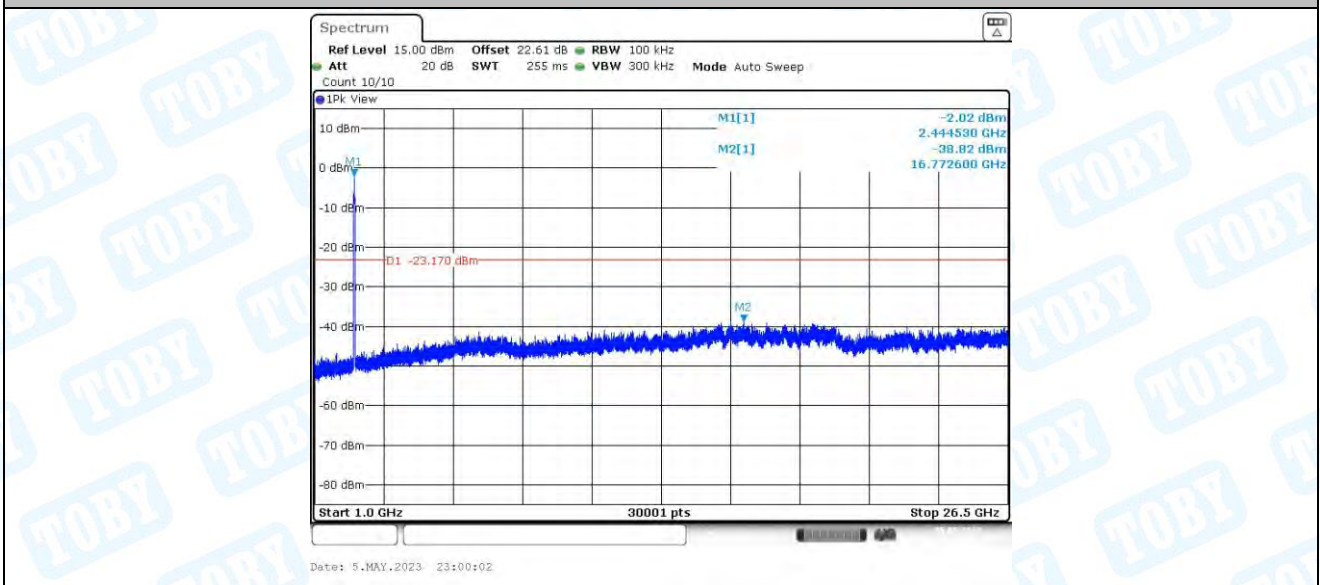
11N40MIMO_Ant4_2452_0~Reference



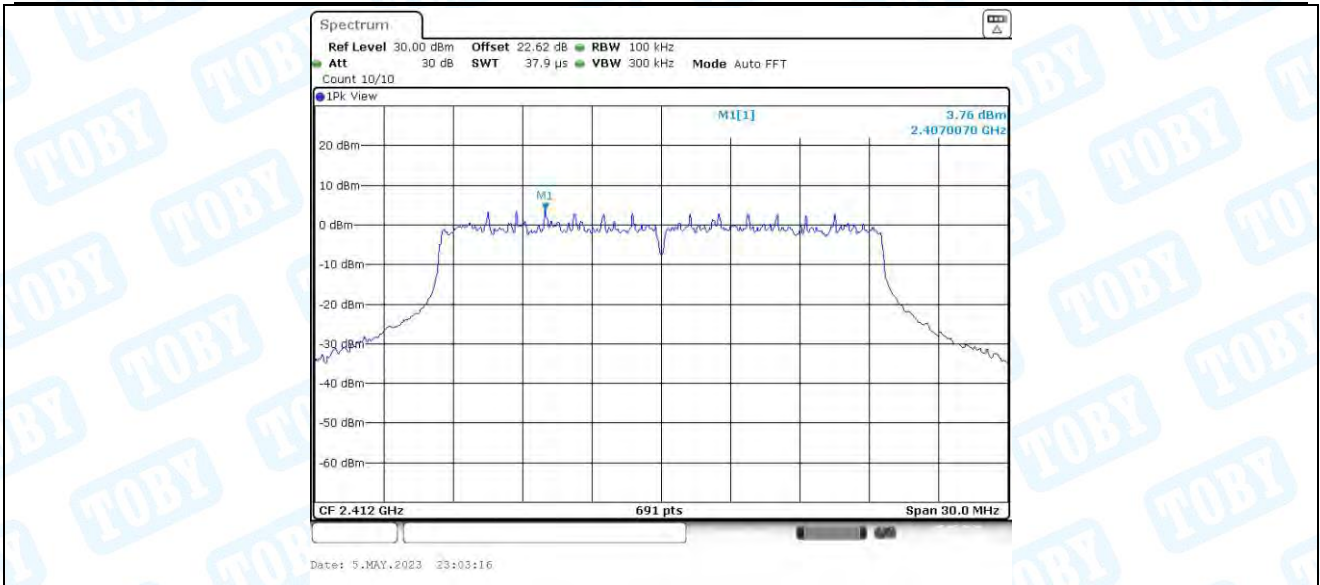
11N40MIMO_Ant4_2452_30~1000



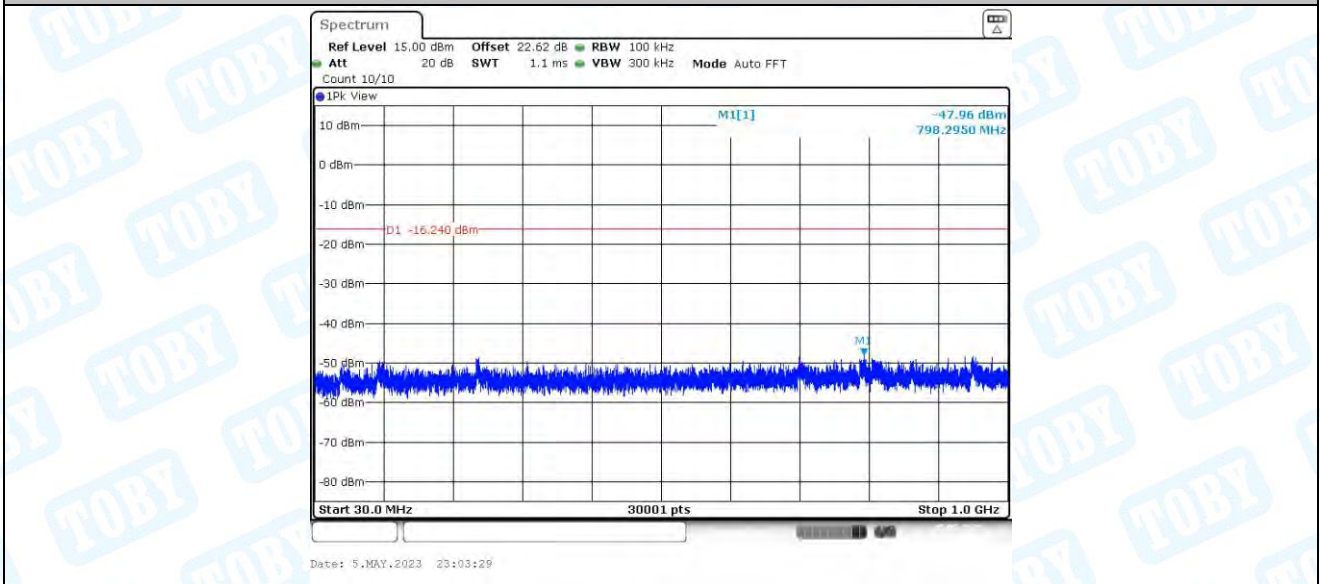
11N40MIMO_Ant4_2452_1000~26500



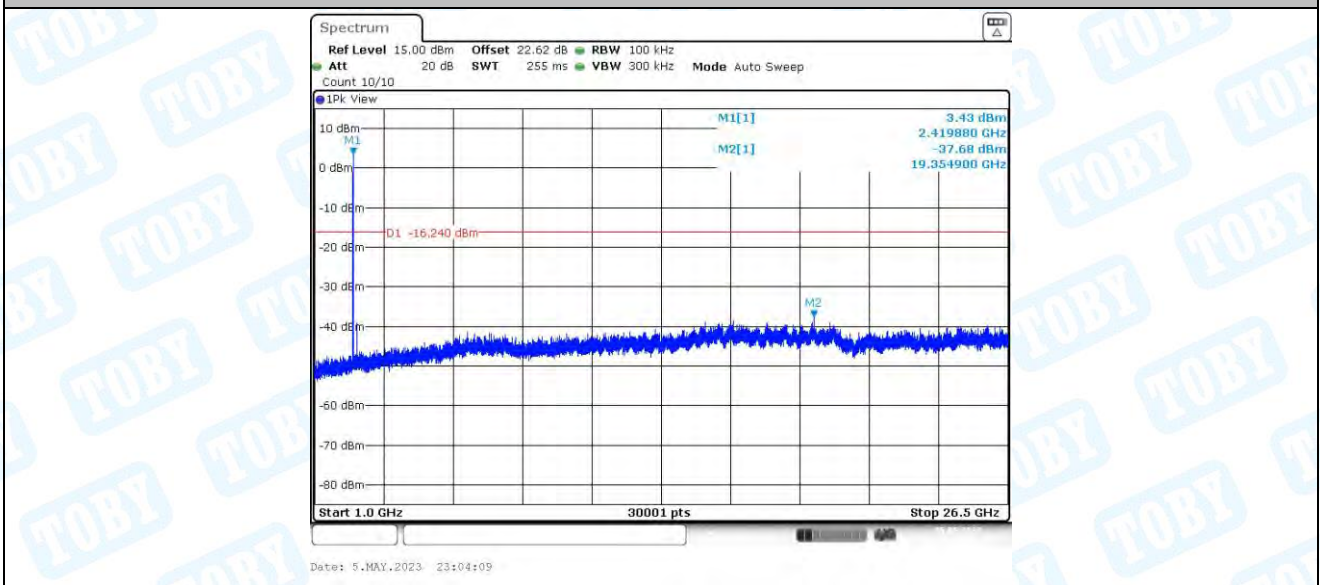
11AX20MIMO_Ant1_2412_0~Reference



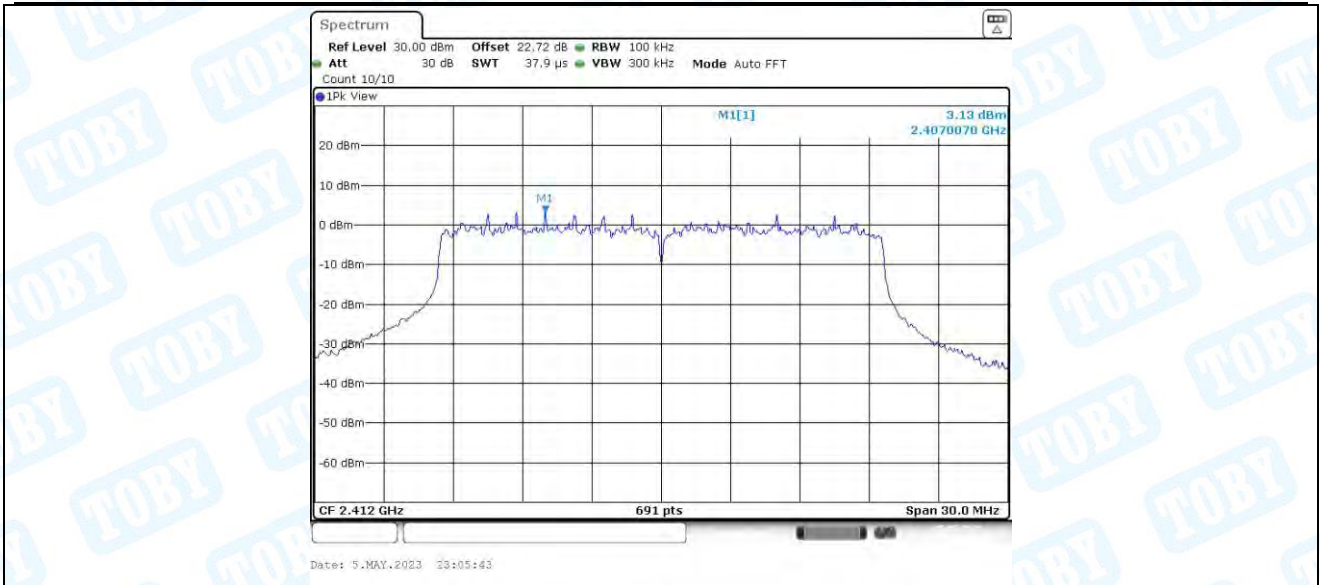
11AX20MIMO_Ant1_2412_30~1000



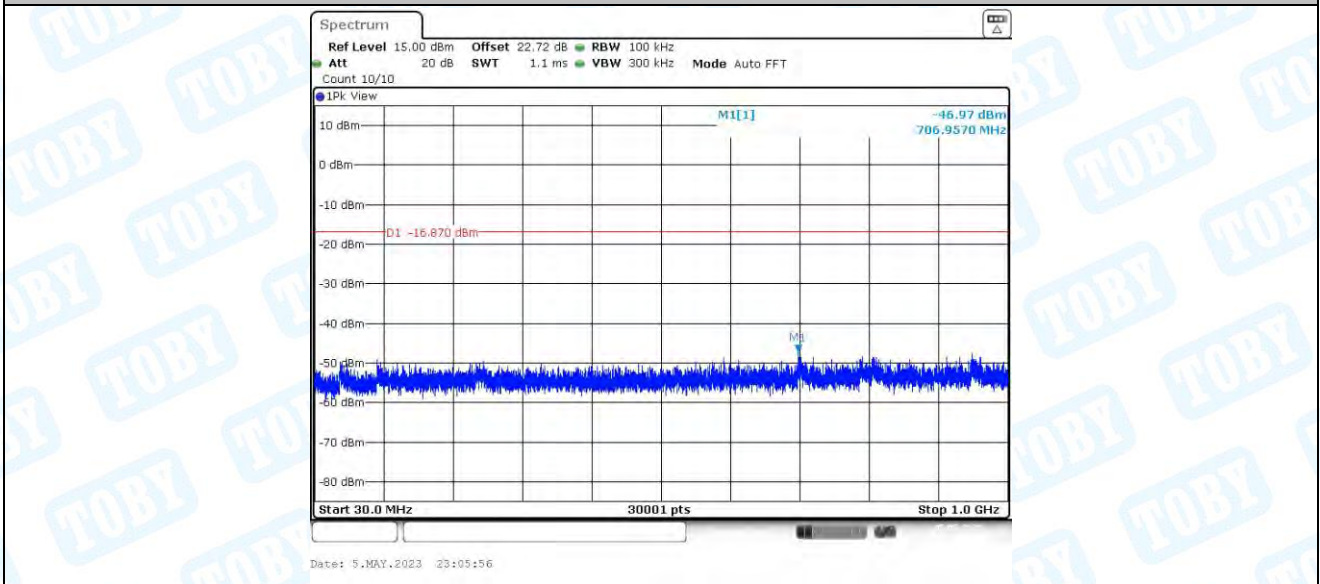
11AX20MIMO_Ant1_2412_1000~26500



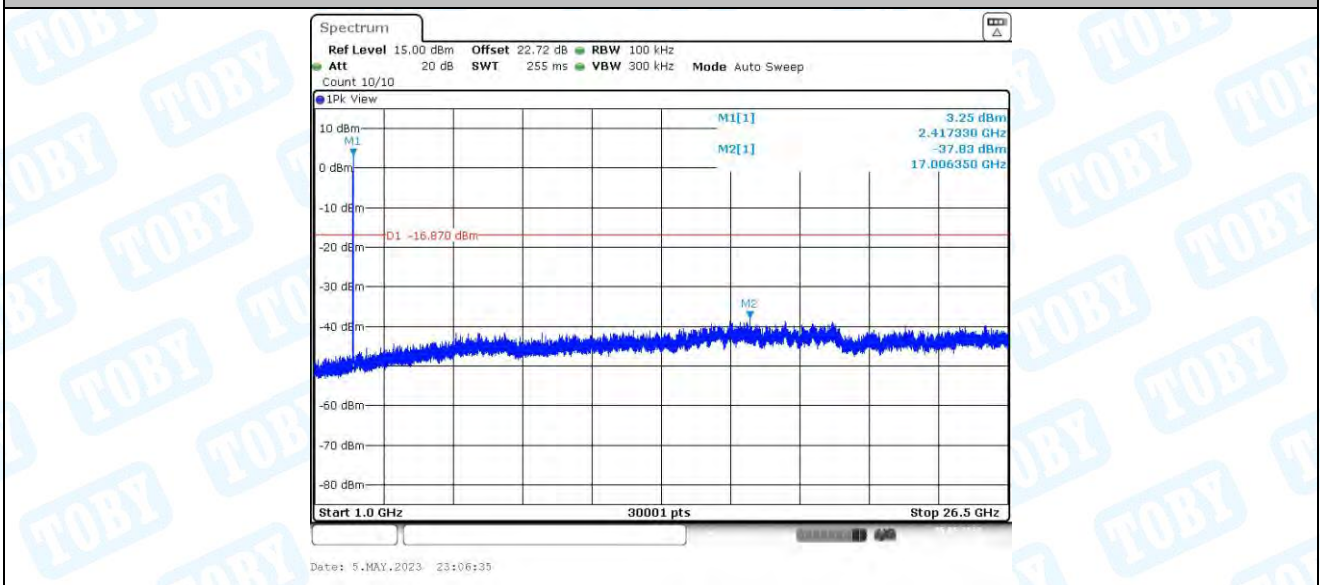
11AX20MIMO_Ant2_2412_0~Reference



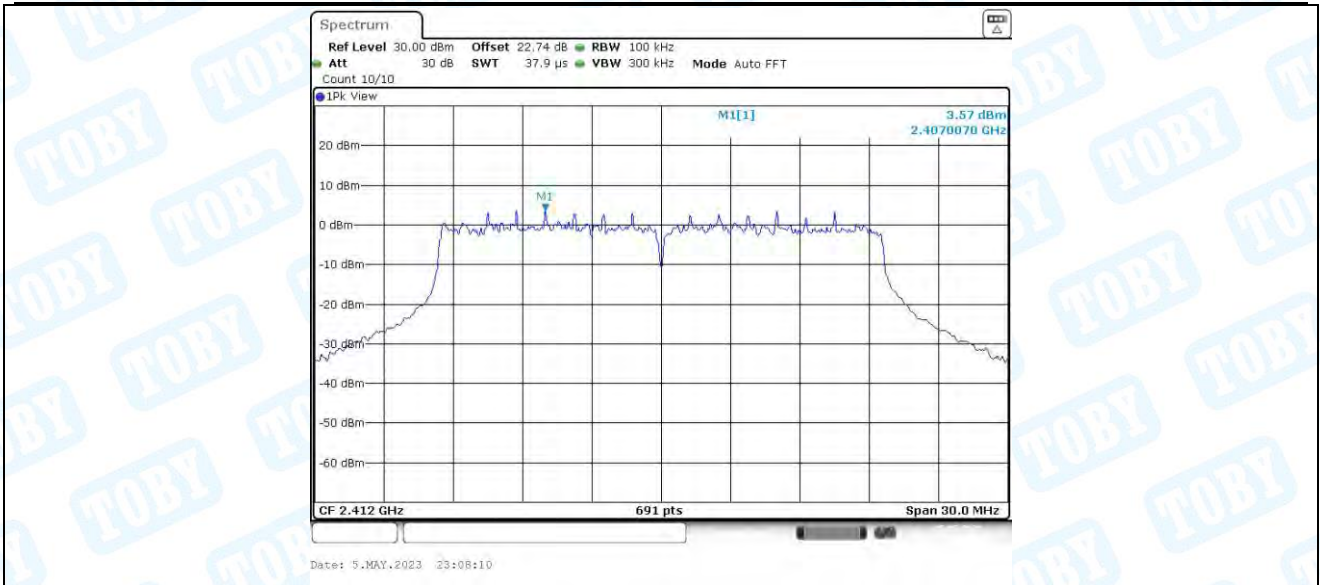
11AX20MIMO_Ant2_2412_30~1000



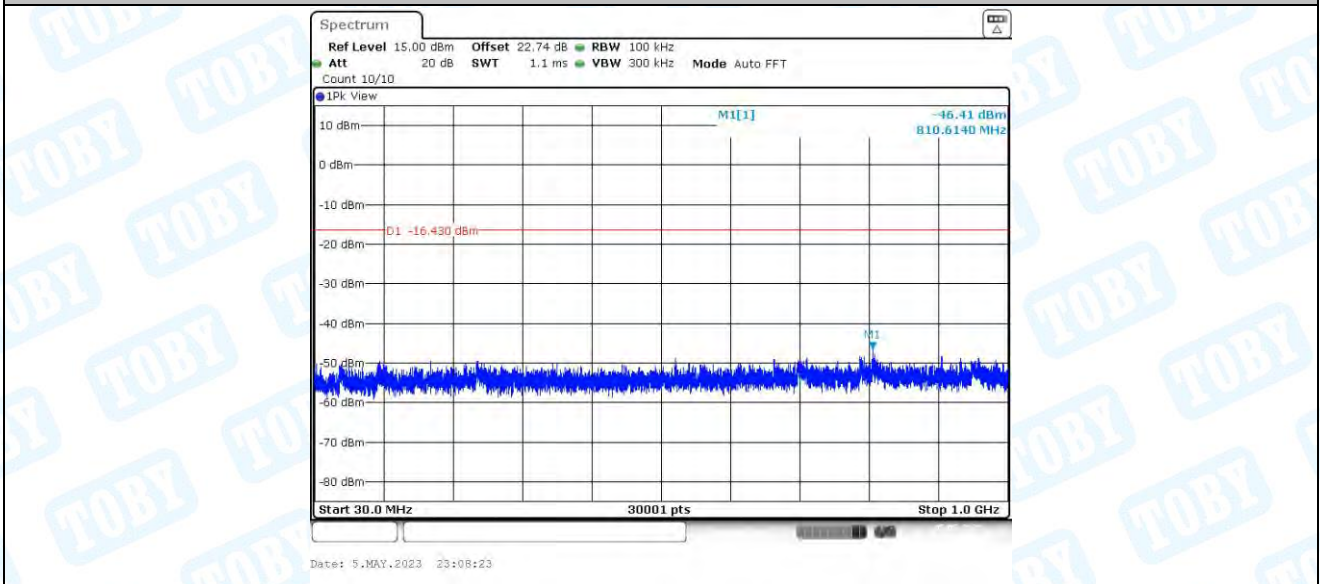
11AX20MIMO_Ant2_2412_1000~26500



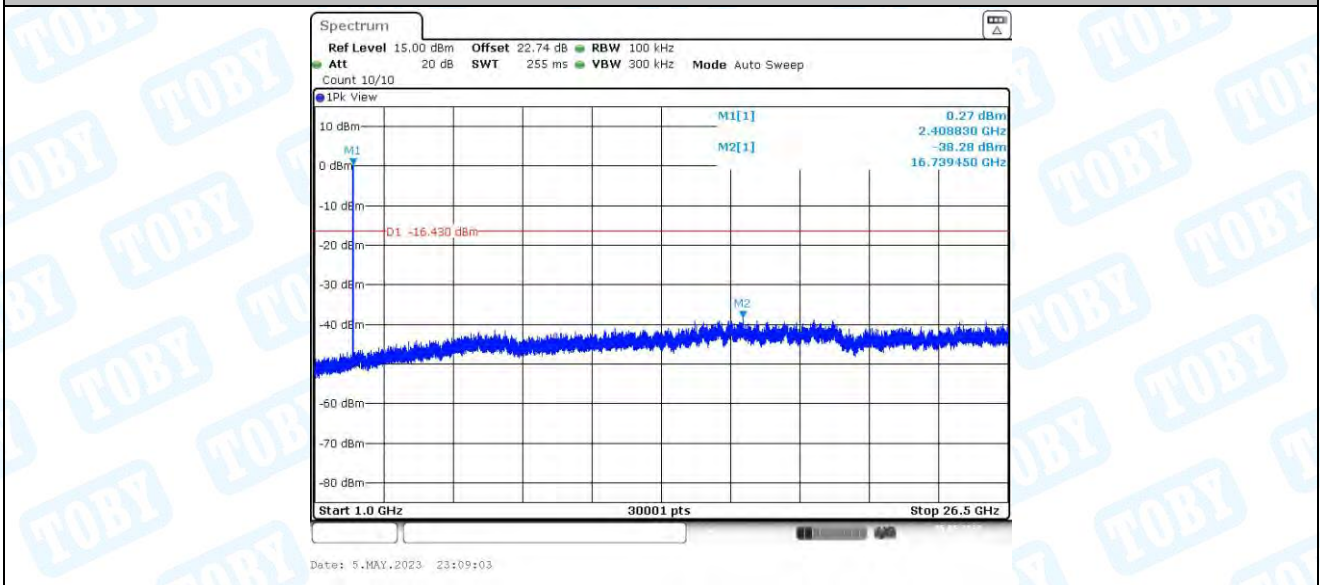
11AX20MIMO_Ant3_2412_0~Reference



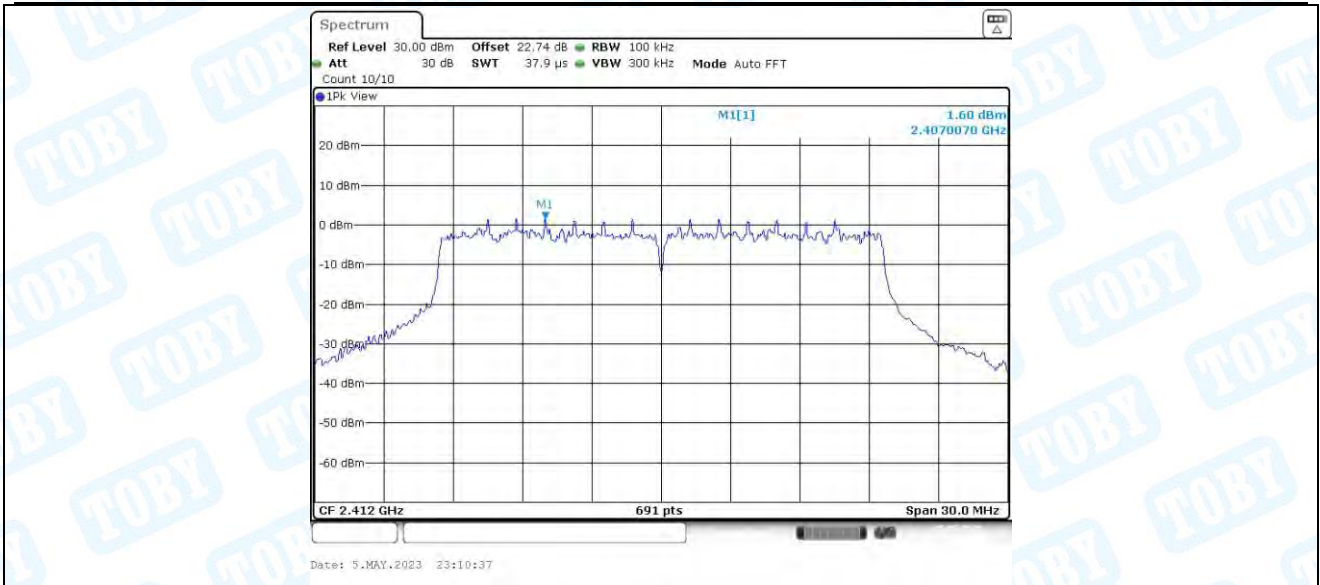
11AX20MIMO_Ant3_2412_30~1000



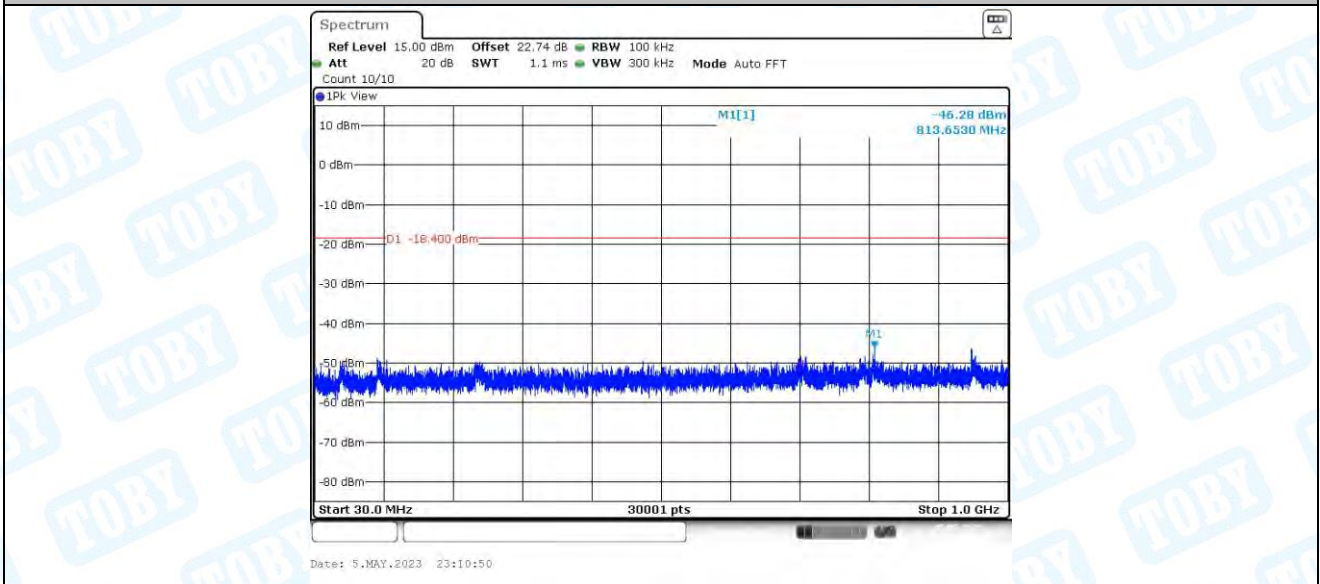
11AX20MIMO_Ant3_2412_1000~26500



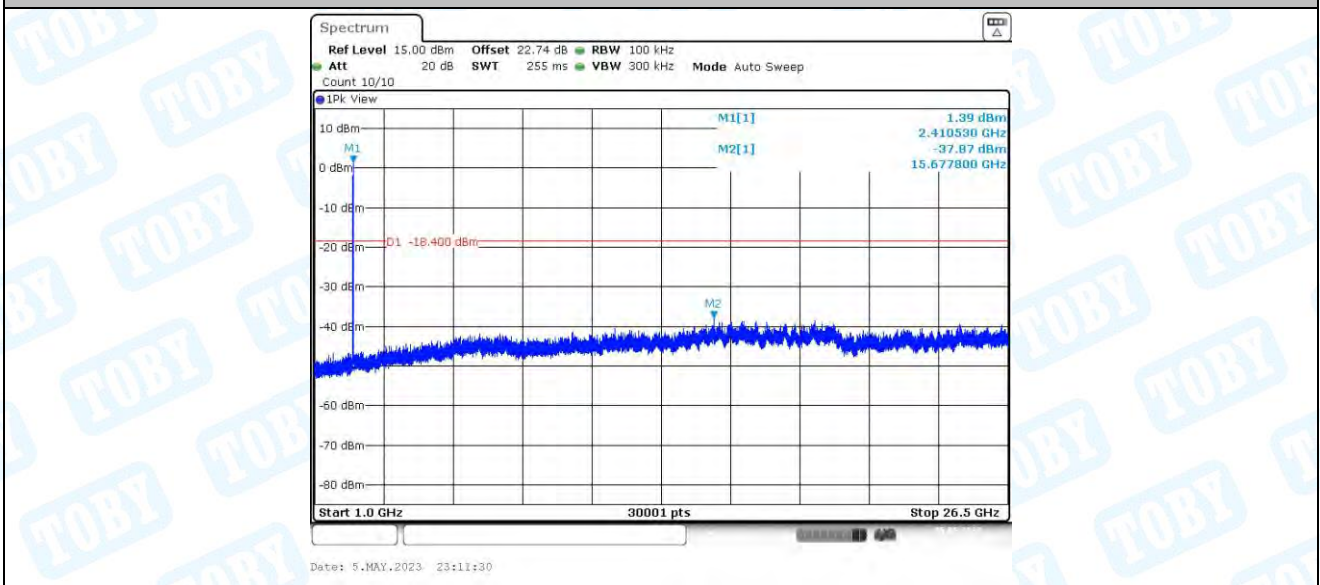
11AX20MIMO_Ant4_2412_0~Reference



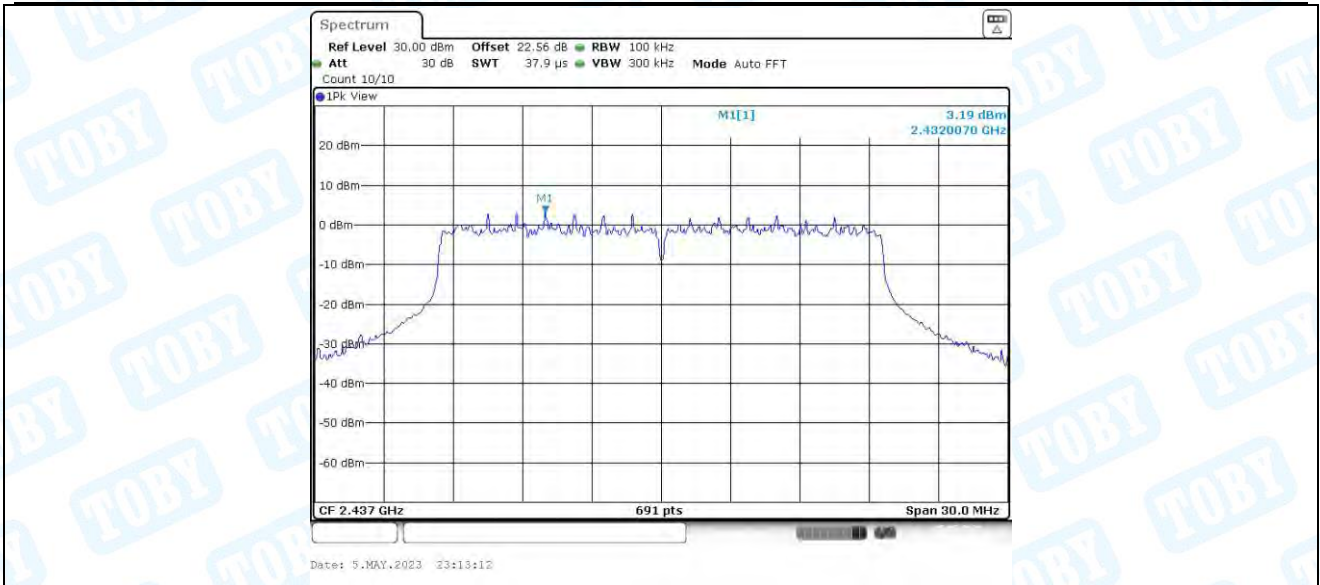
11AX20MIMO_Ant4_2412_30~1000



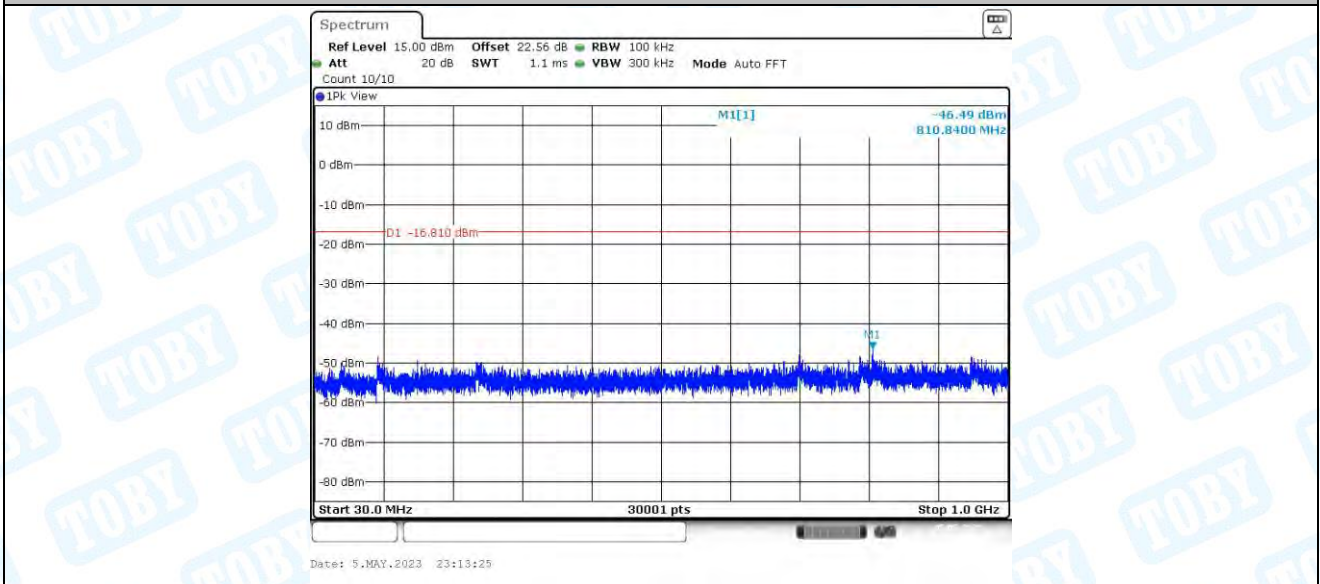
11AX20MIMO_Ant4_2412_1000~26500



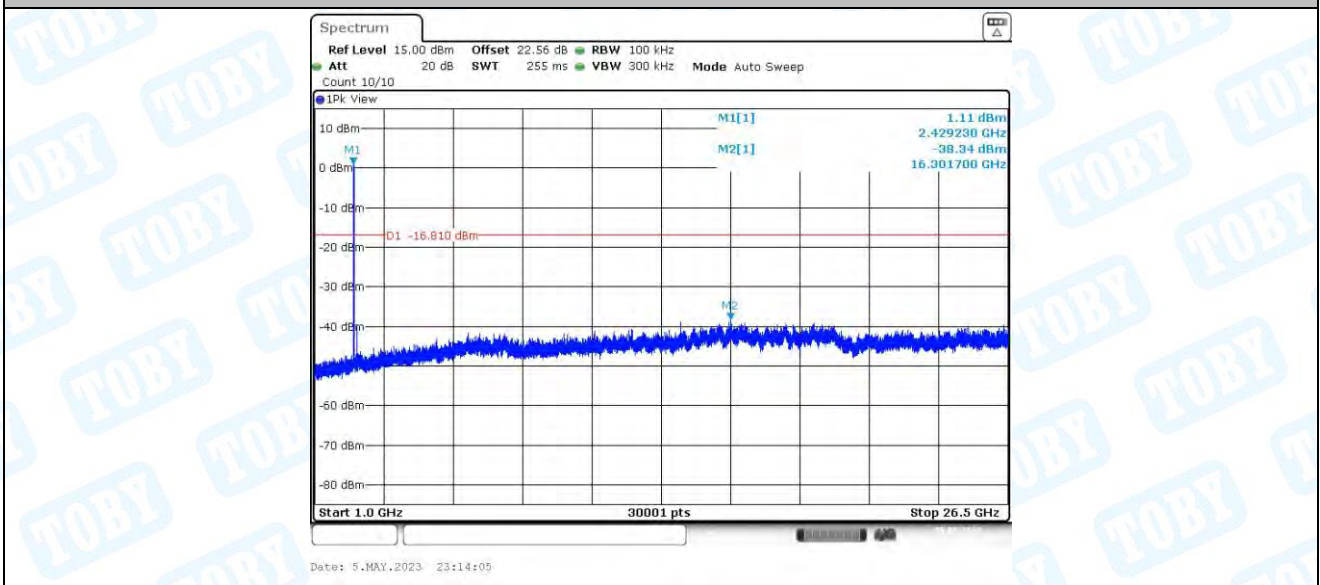
11AX20MIMO_Ant1_2437_0~Reference



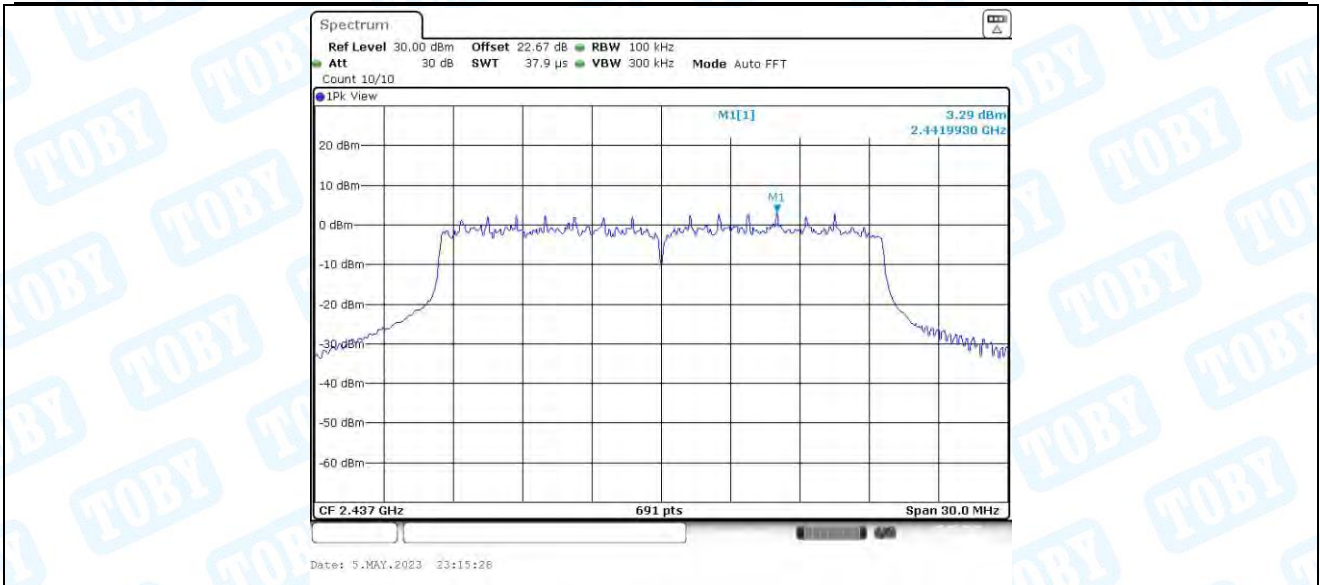
11AX20MIMO_Ant1_2437_30~1000



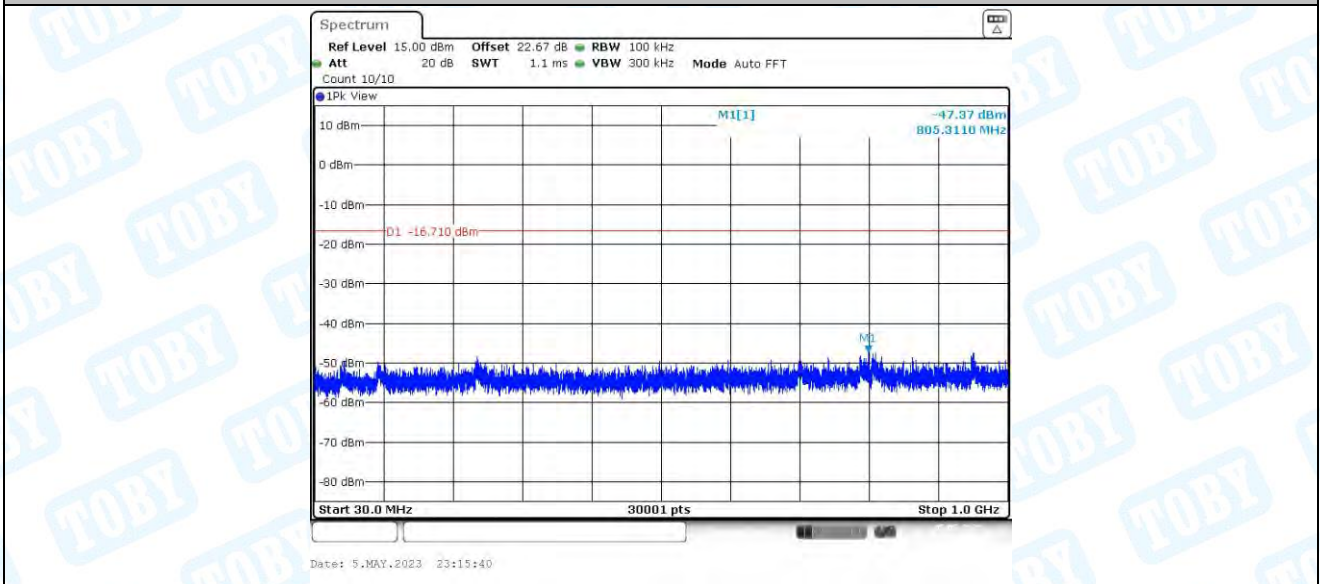
11AX20MIMO_Ant1_2437_1000~26500



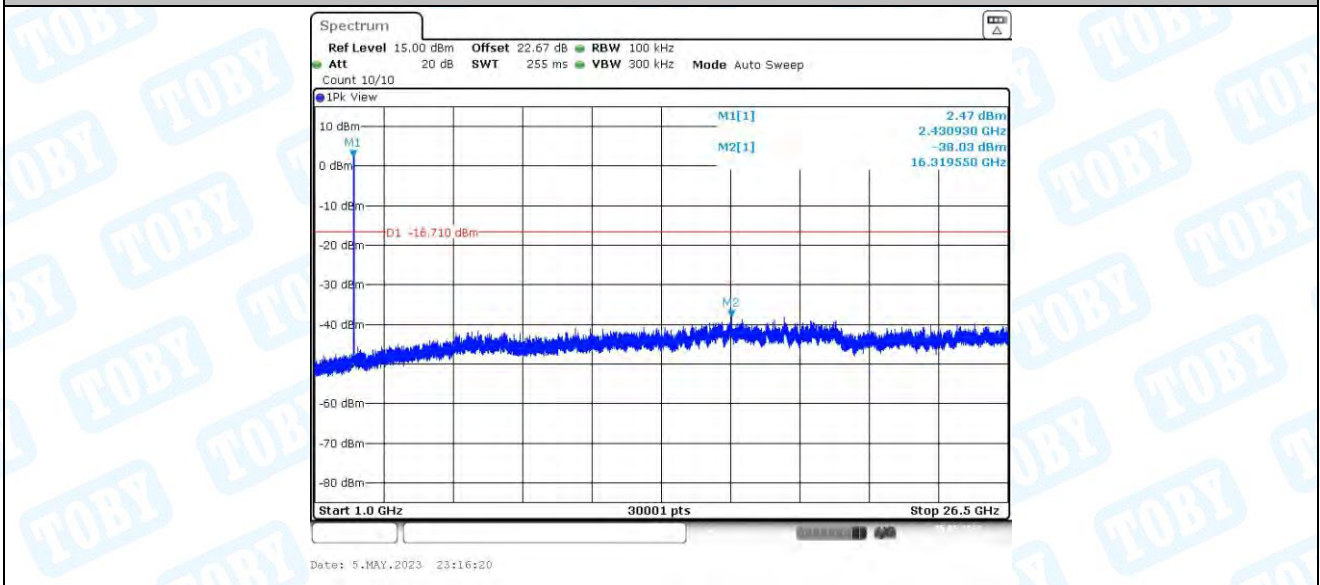
11AX20MIMO_Ant2_2437_0~Reference



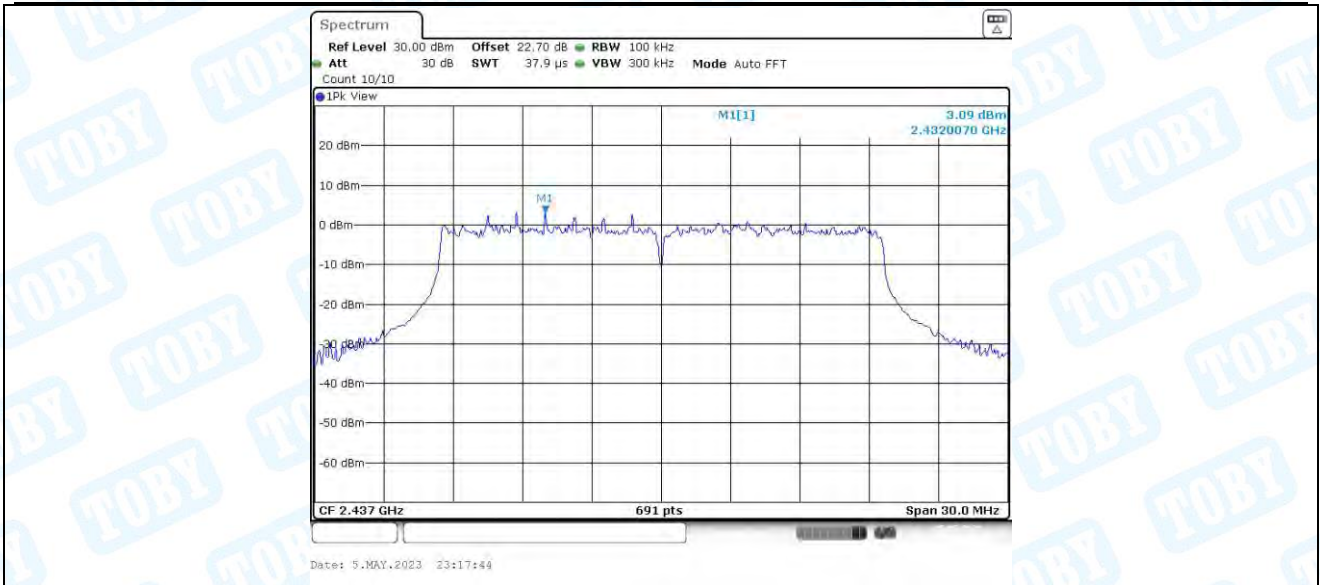
11AX20MIMO_Ant2_2437_30~1000



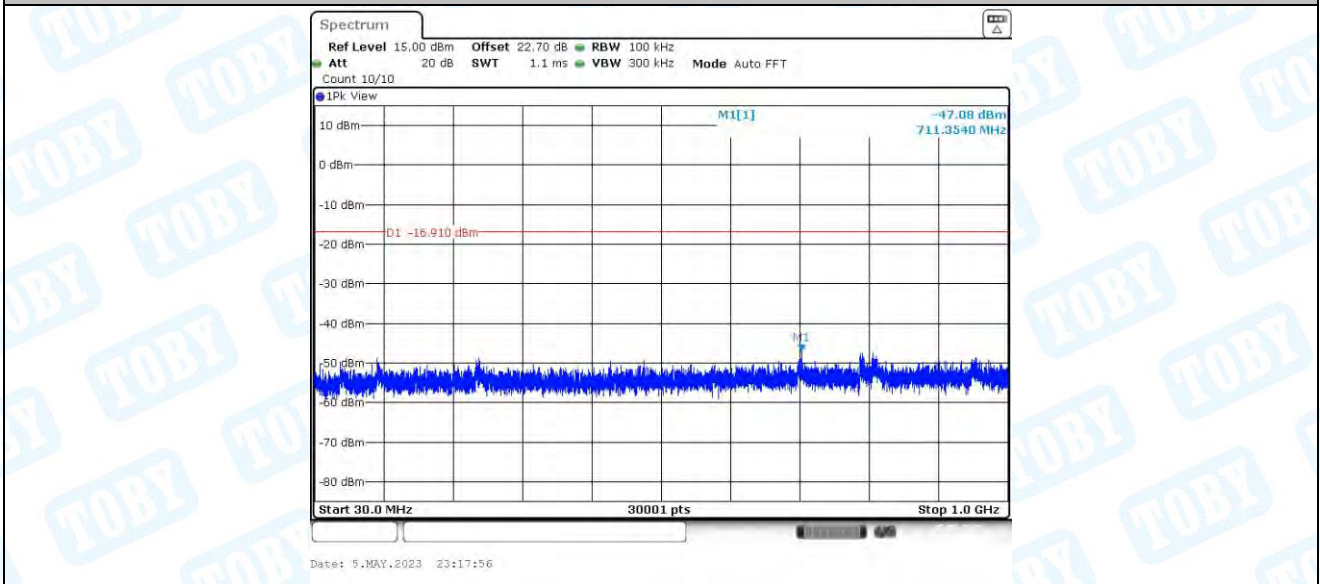
11AX20MIMO_Ant2_2437_1000~26500



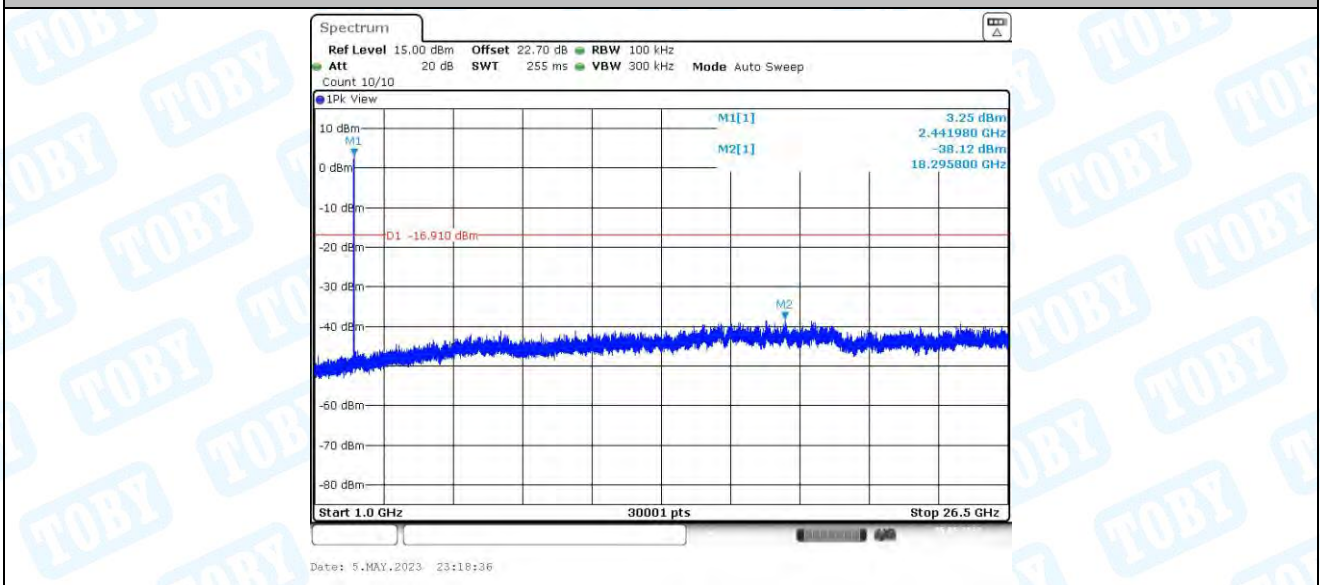
11AX20MIMO_Ant3_2437_0~Reference



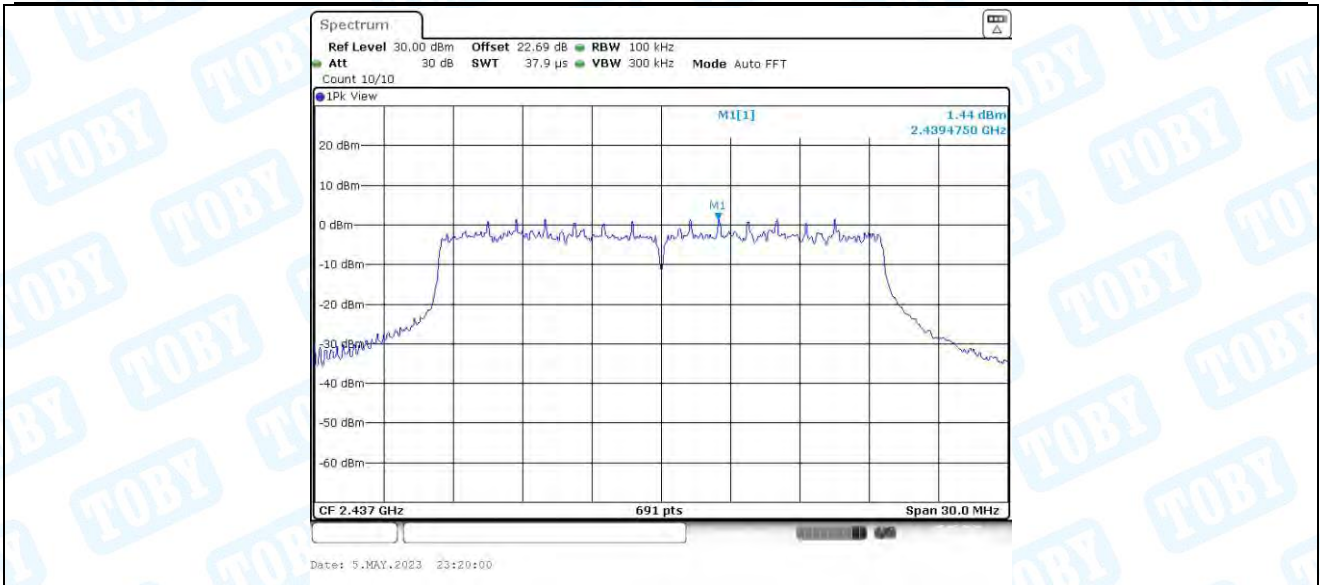
11AX20MIMO_Ant3_2437_30~1000



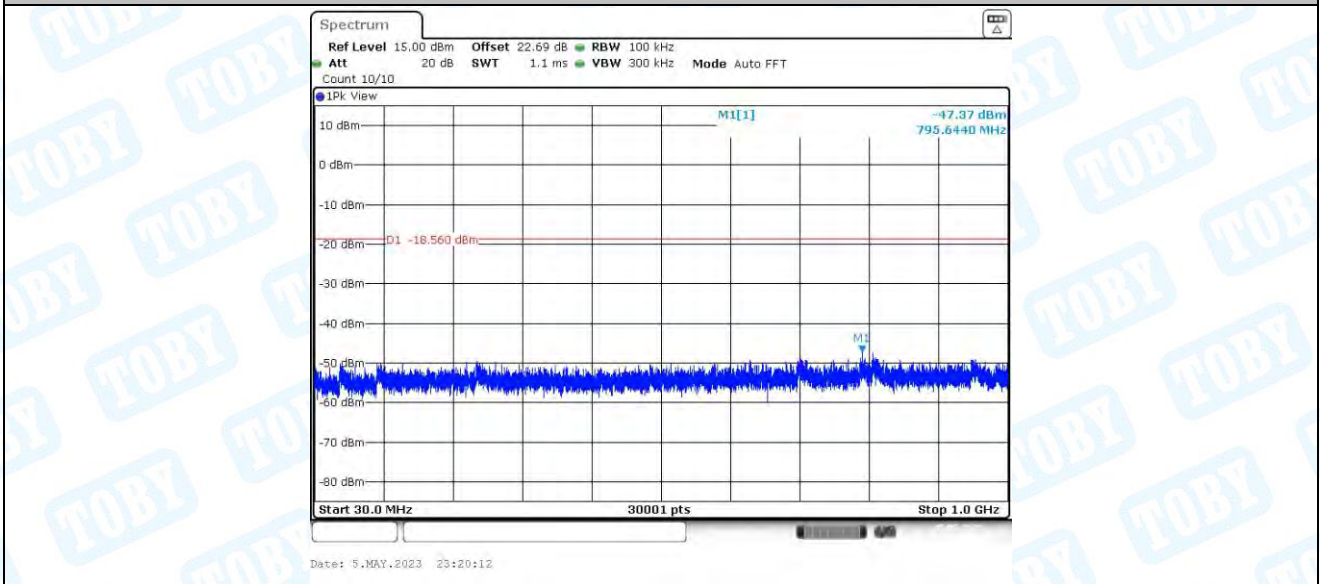
11AX20MIMO_Ant3_2437_1000~26500



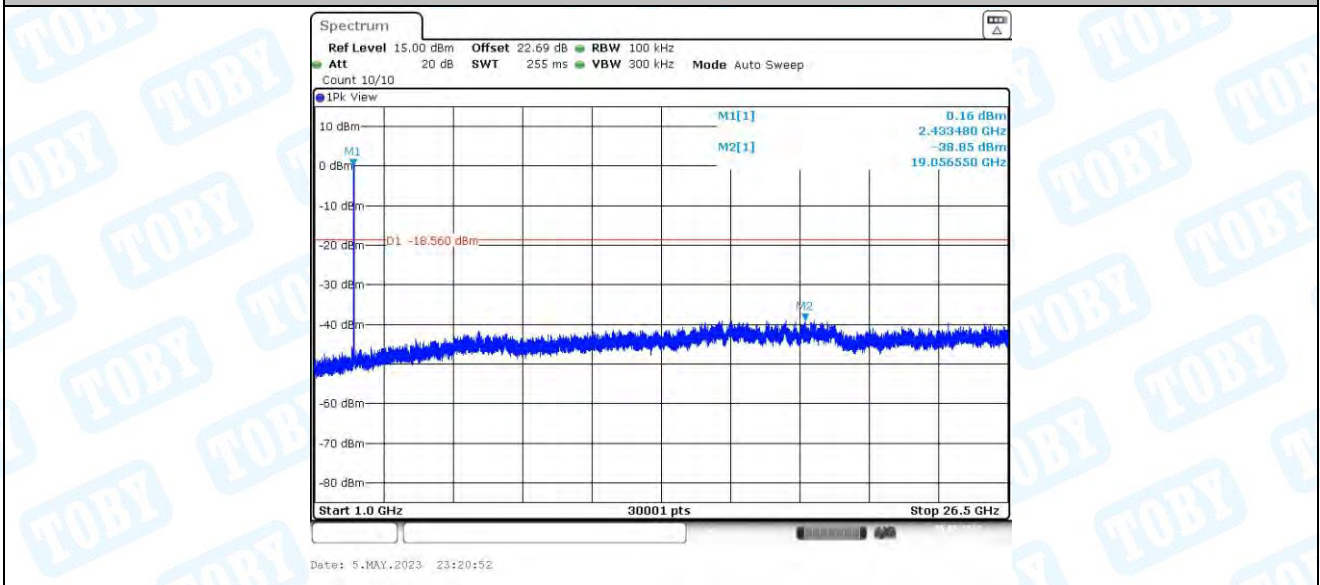
11AX20MIMO_Ant4_2437_0~Reference



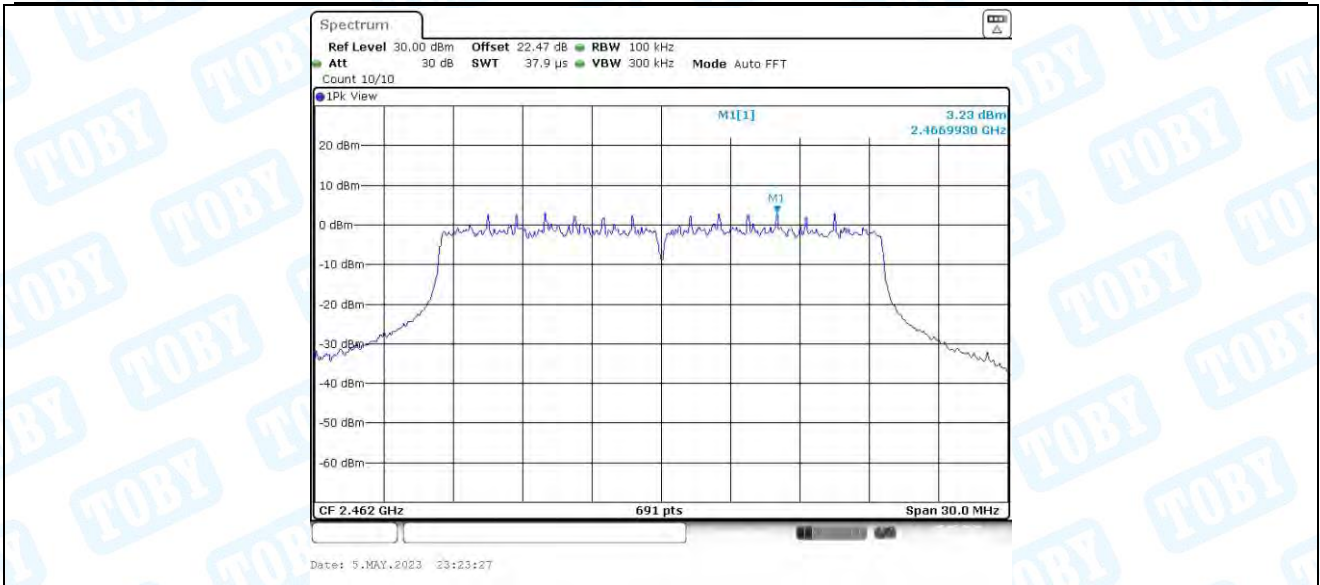
11AX20MIMO_Ant4_2437_30~1000



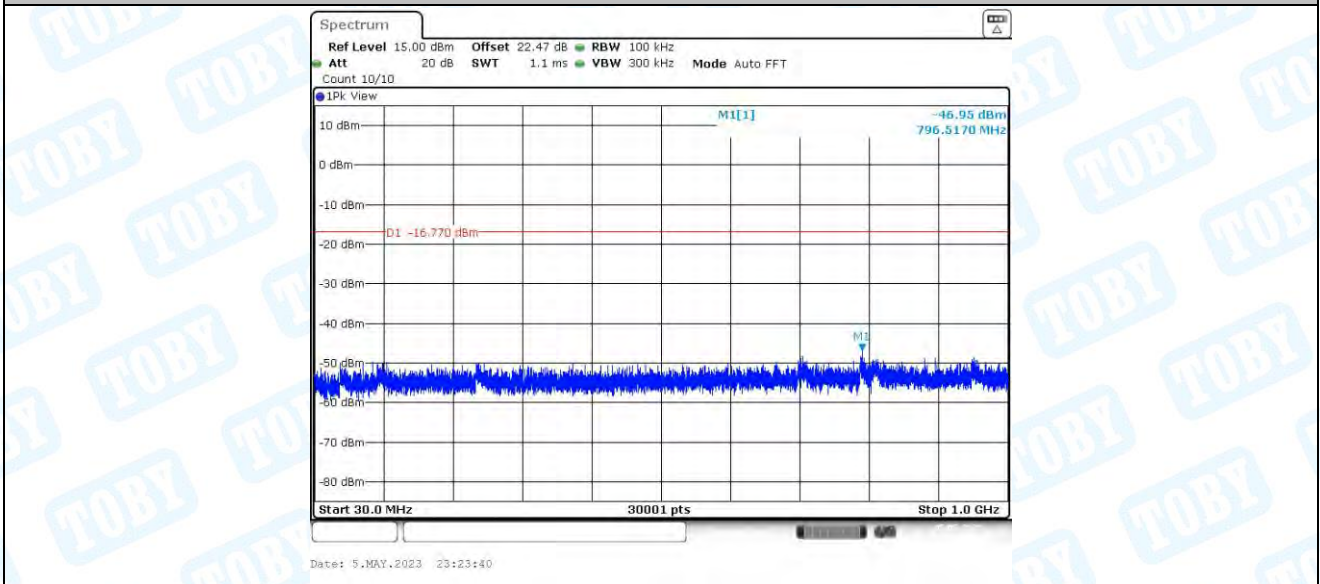
11AX20MIMO_Ant4_2437_1000~26500



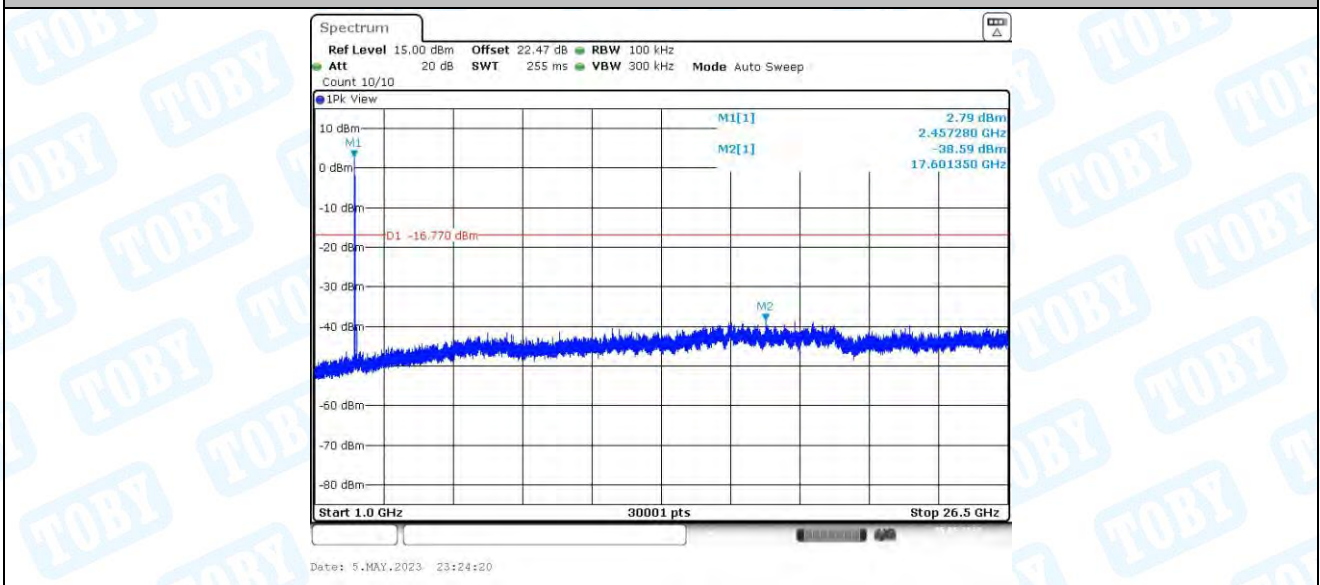
11AX20MIMO_Ant1_2462_0~Reference



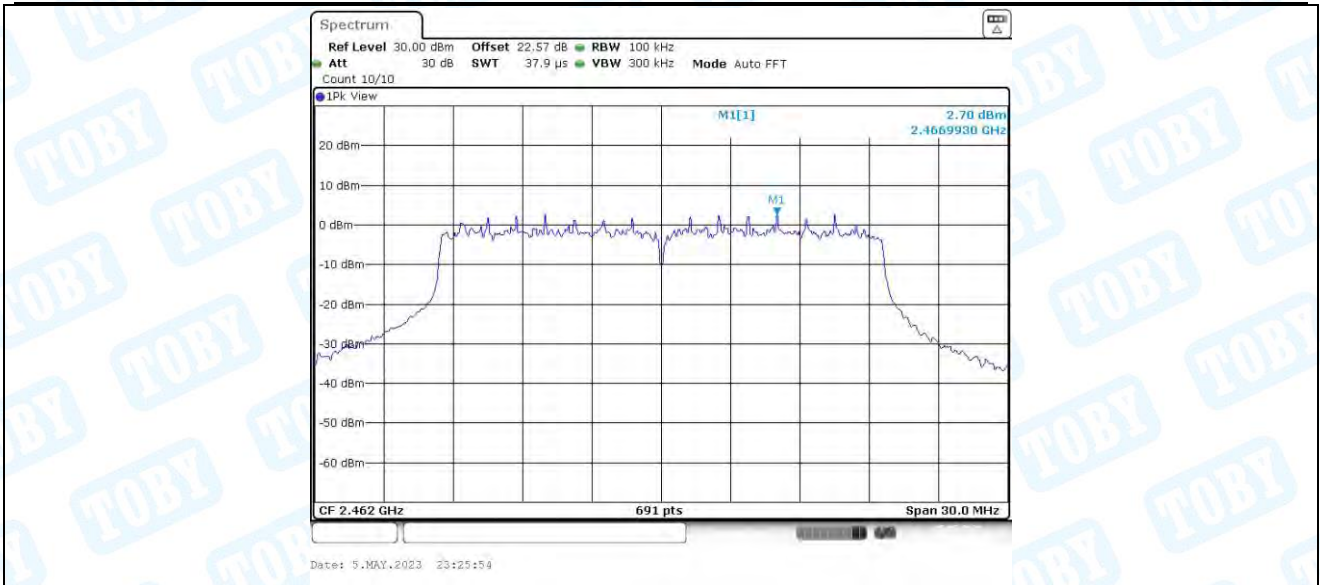
11AX20MIMO_Ant1_2462_30~1000



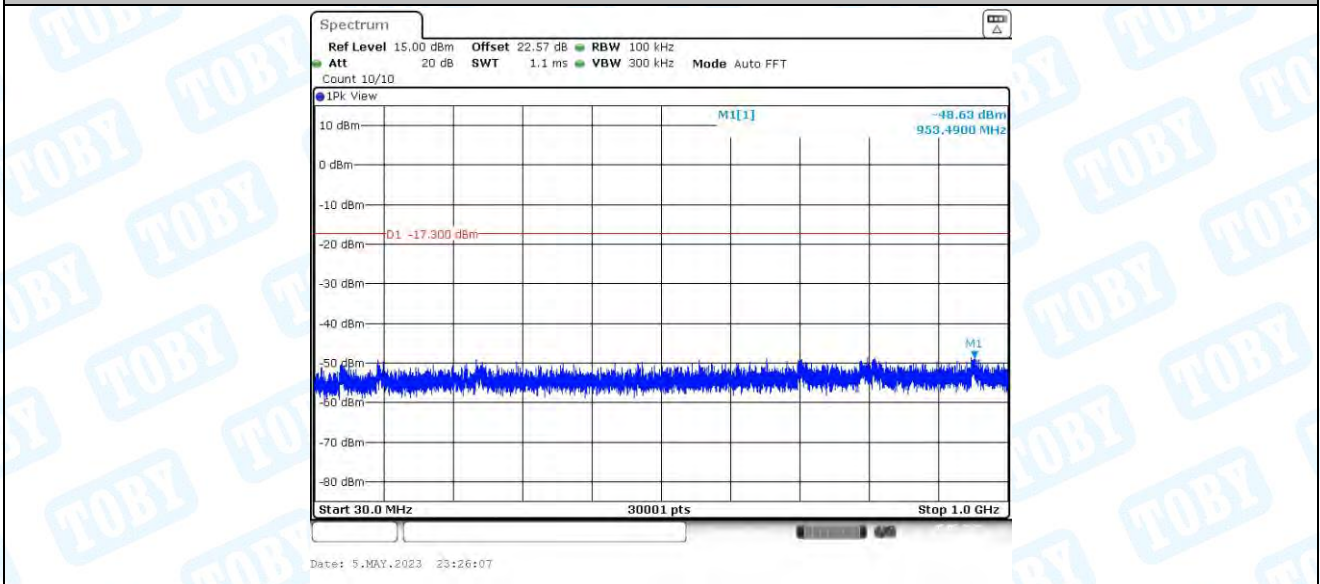
11AX20MIMO_Ant1_2462_1000~26500



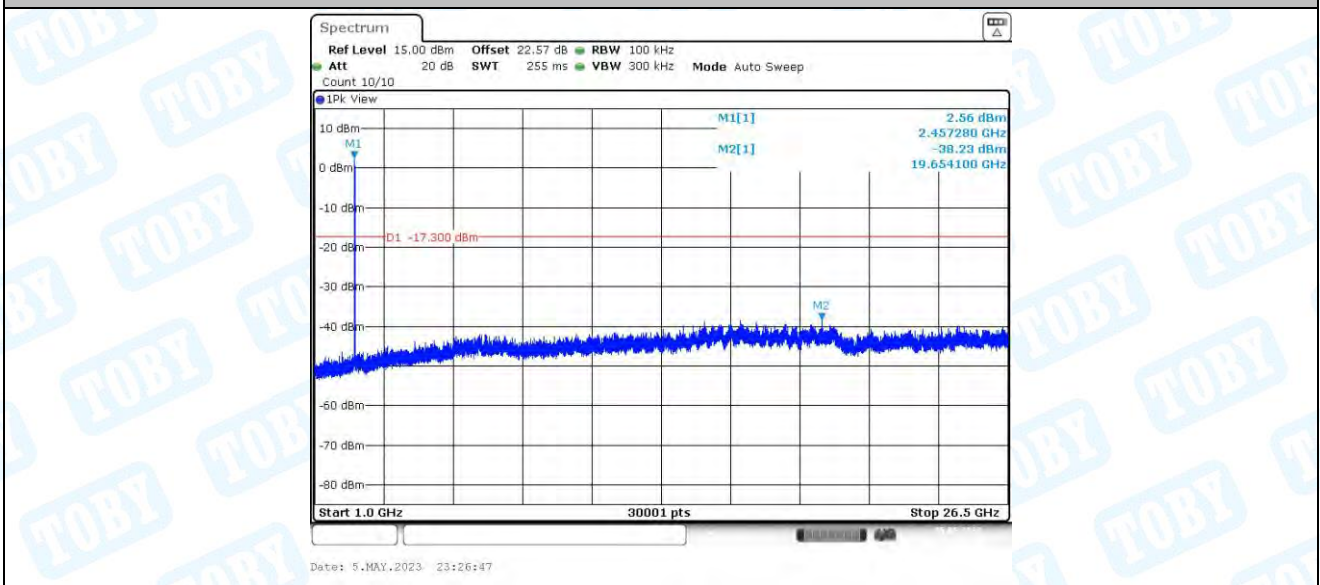
11AX20MIMO_Ant2_2462_0~Reference



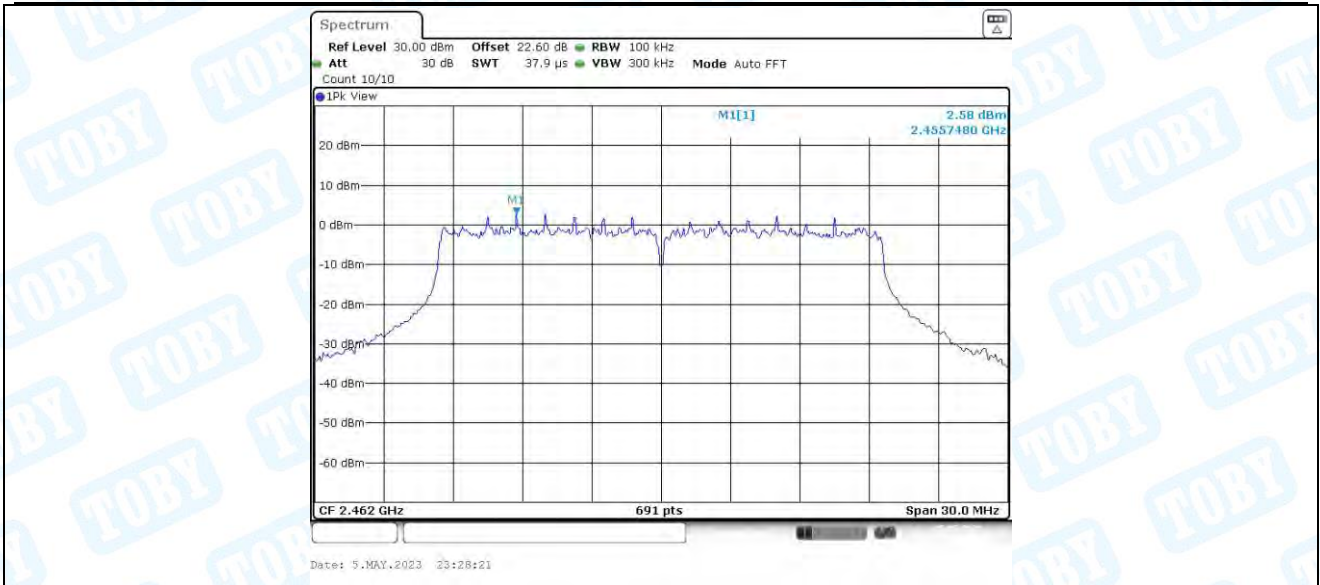
11AX20MIMO_Ant2_2462_30~1000



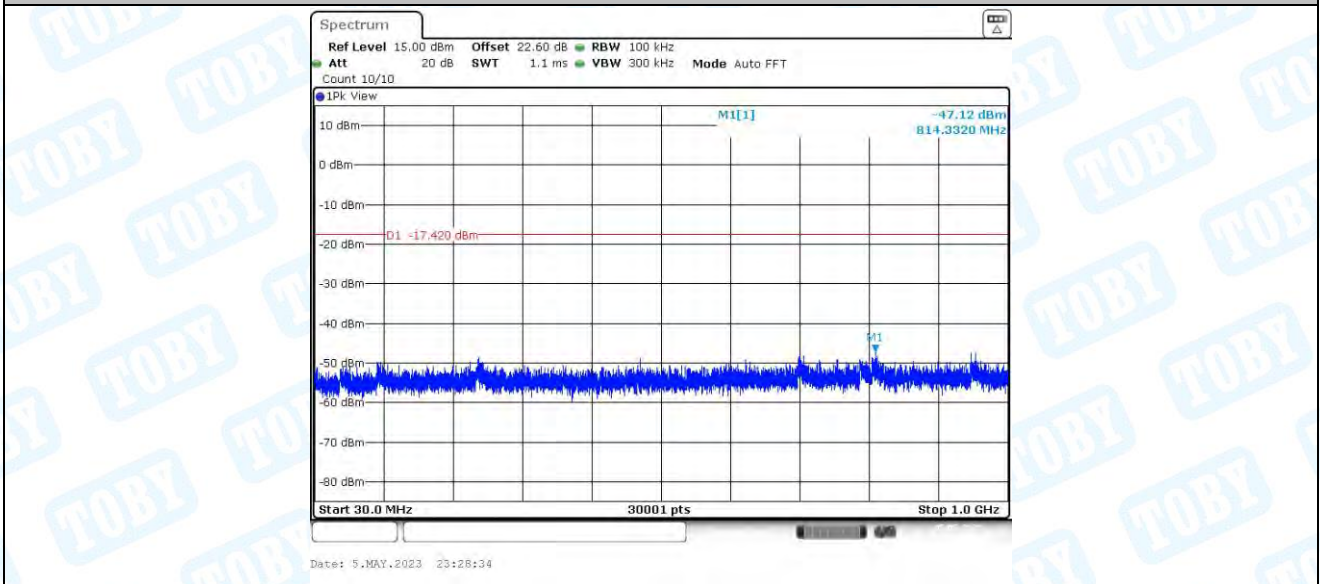
11AX20MIMO_Ant2_2462_1000~26500



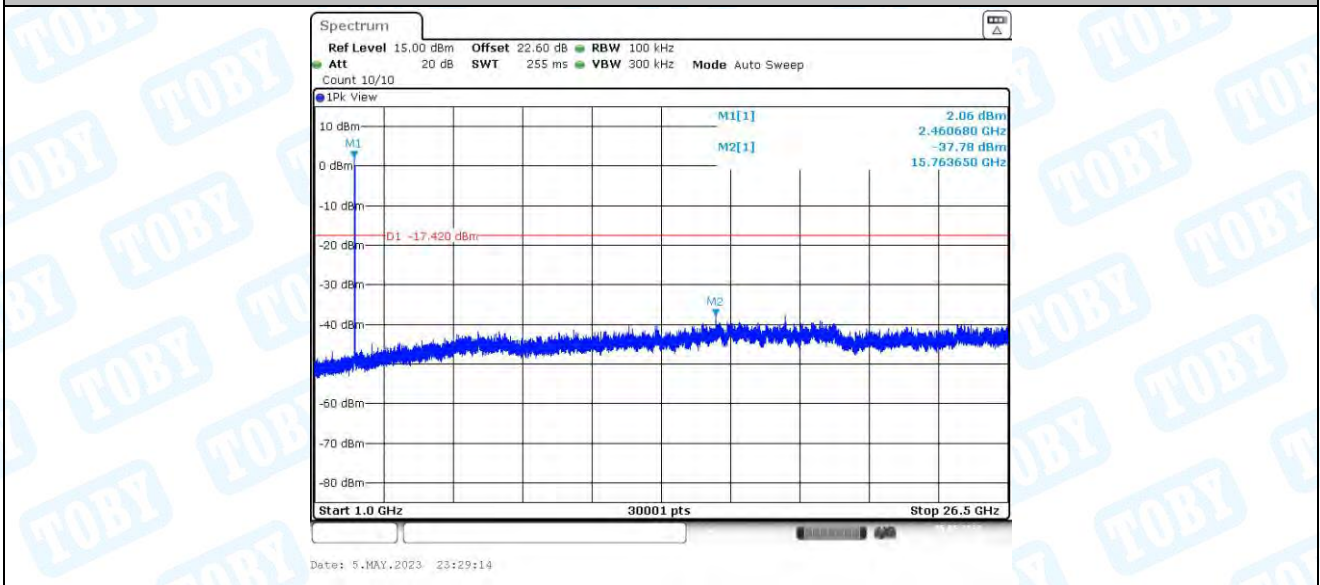
11AX20MIMO_Ant3_2462_0~Reference



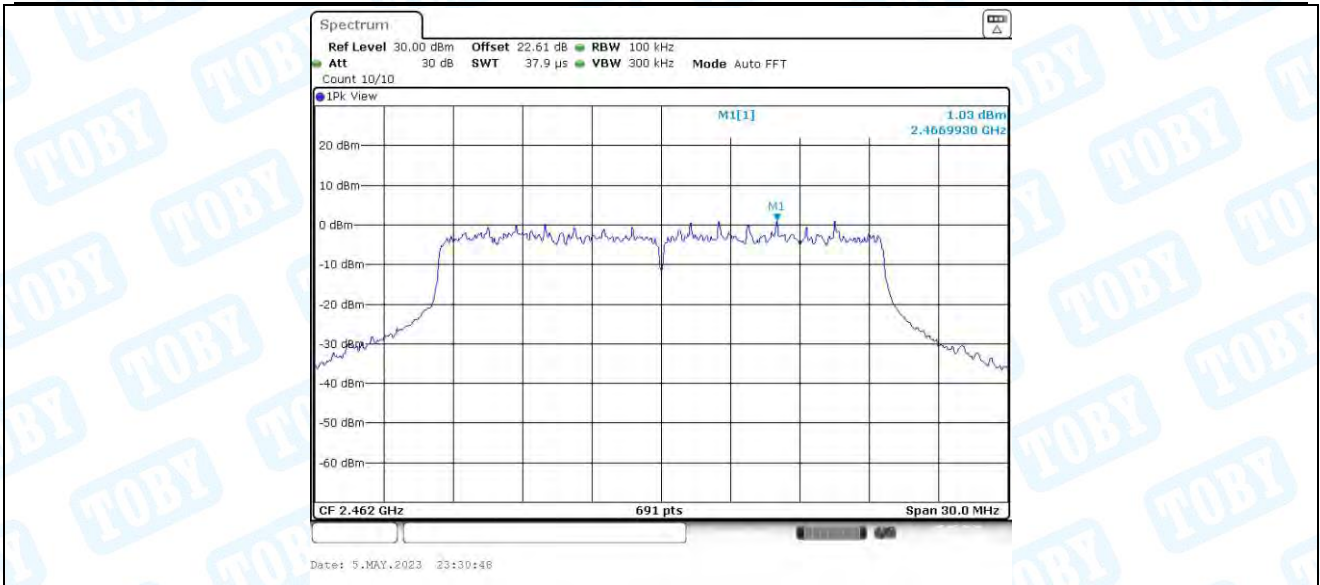
11AX20MIMO_Ant3_2462_30~1000



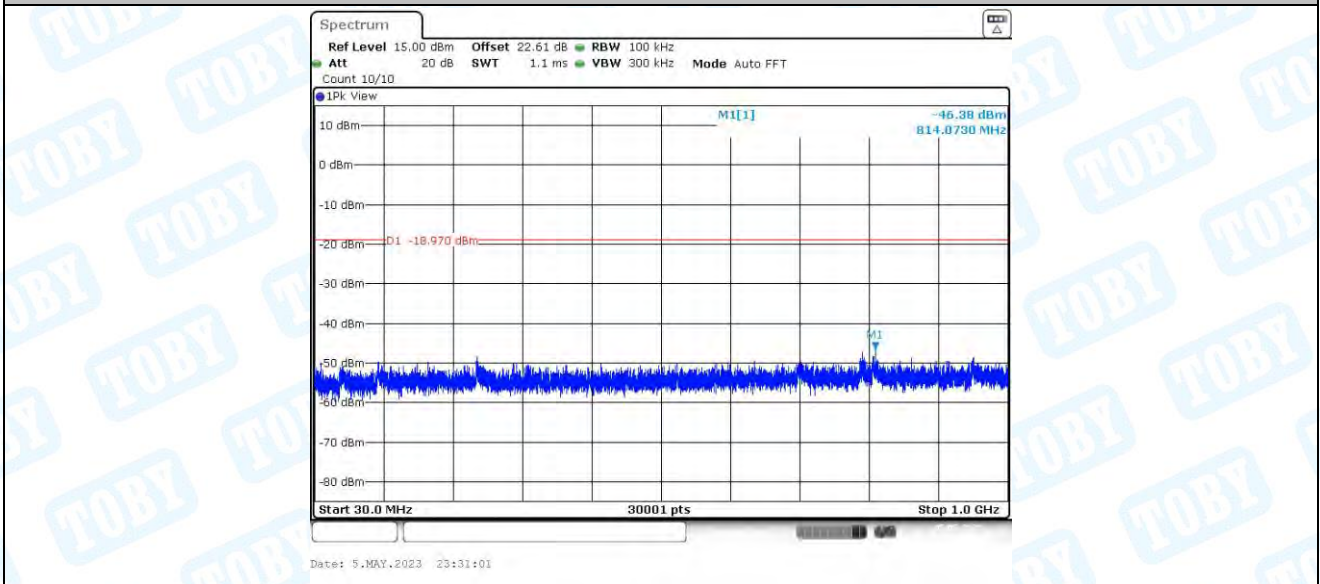
11AX20MIMO_Ant3_2462_1000~26500



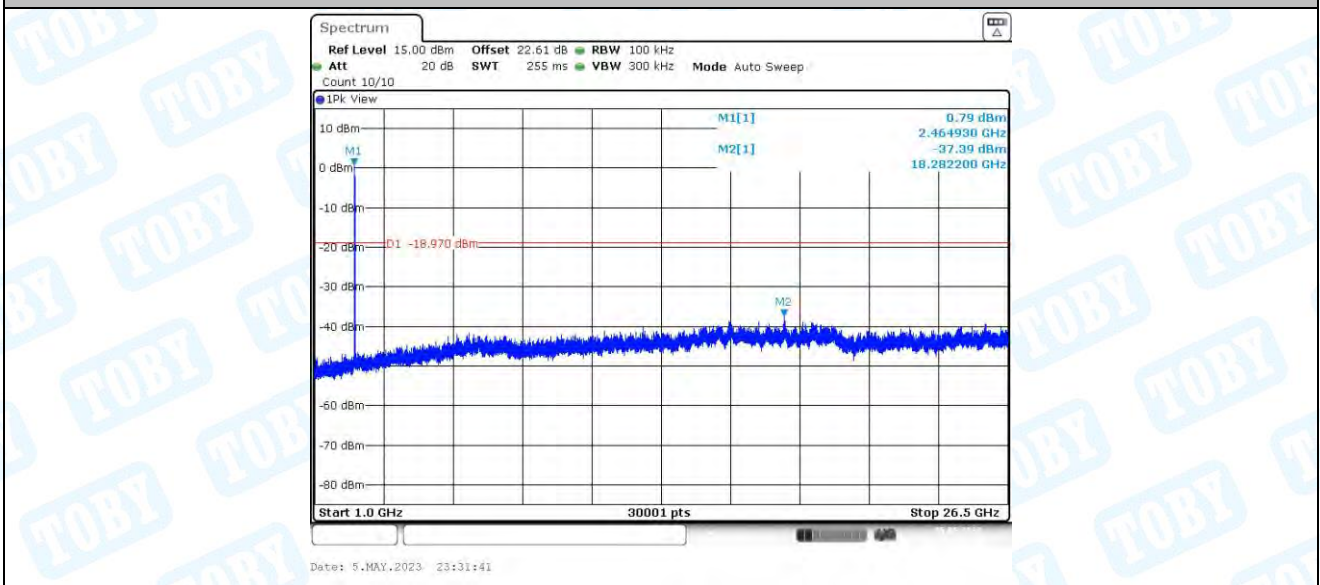
11AX20MIMO_Ant4_2462_0~Reference



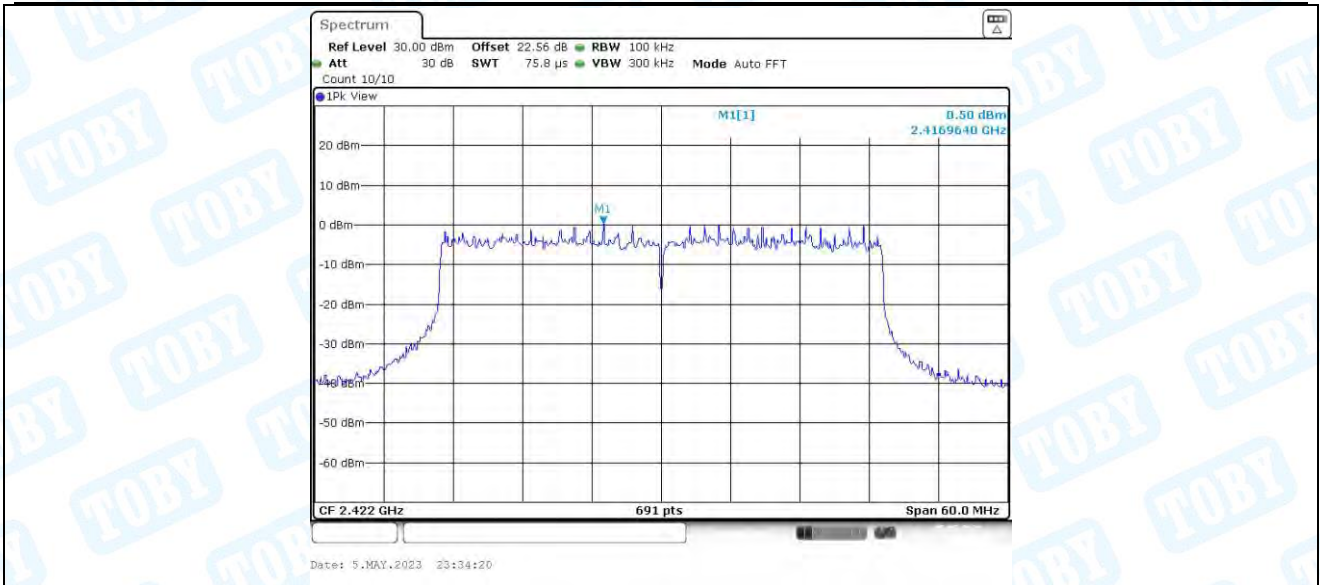
11AX20MIMO_Ant4_2462_30~1000



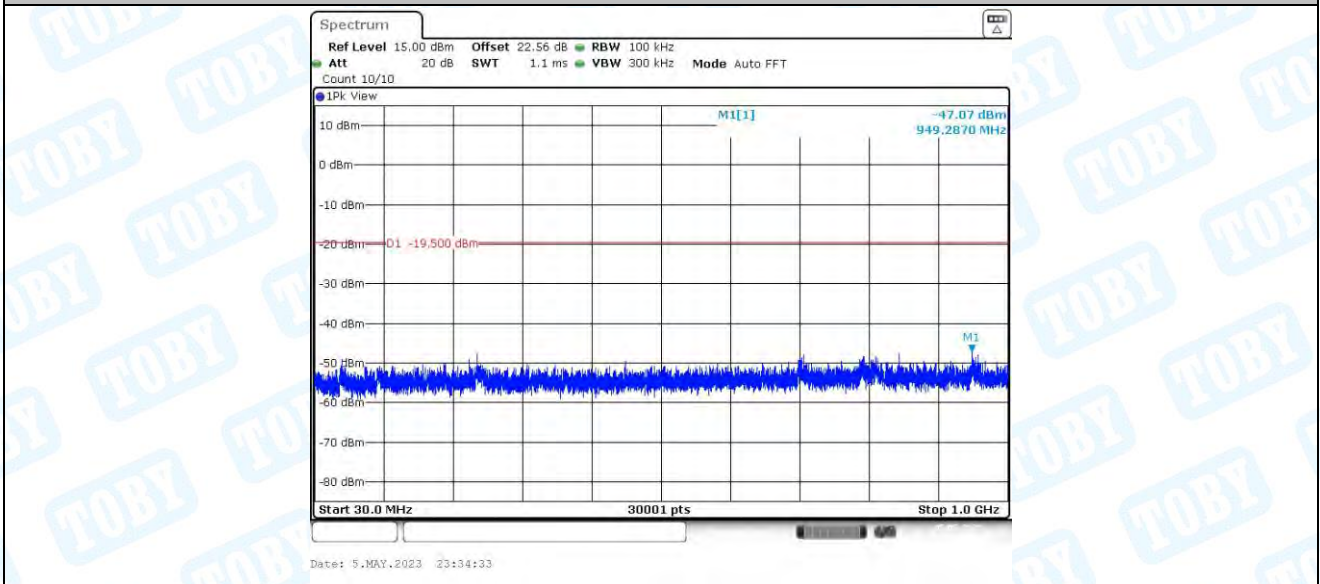
11AX20MIMO_Ant4_2462_1000~26500



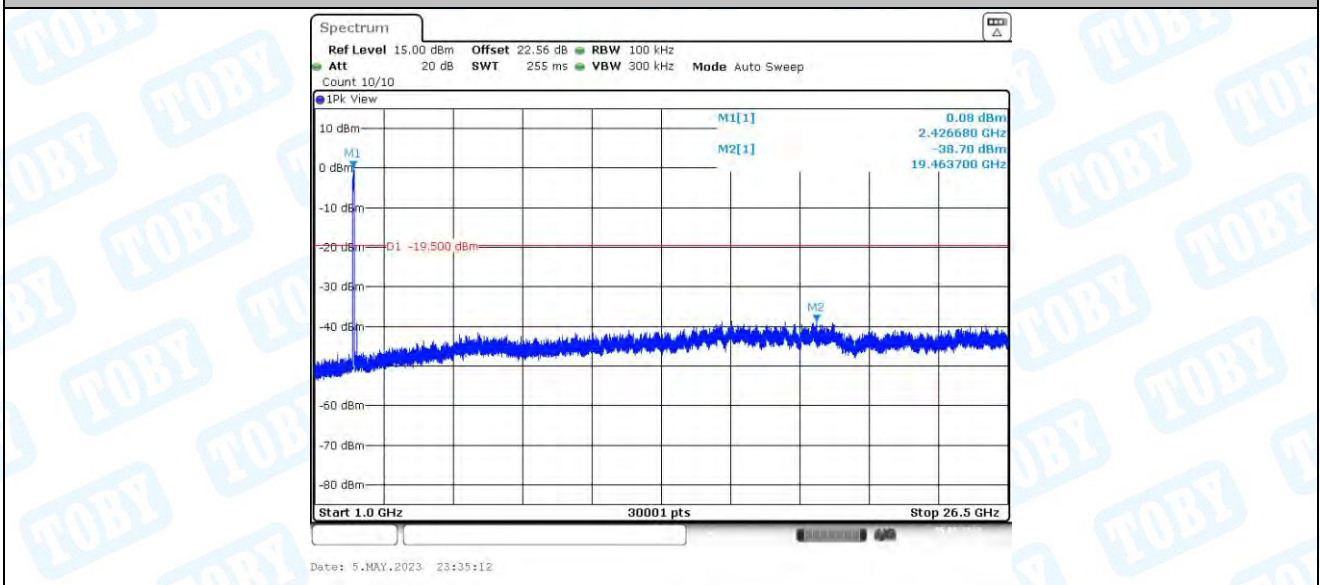
11AX40MIMO_Ant1_2422_0~Reference



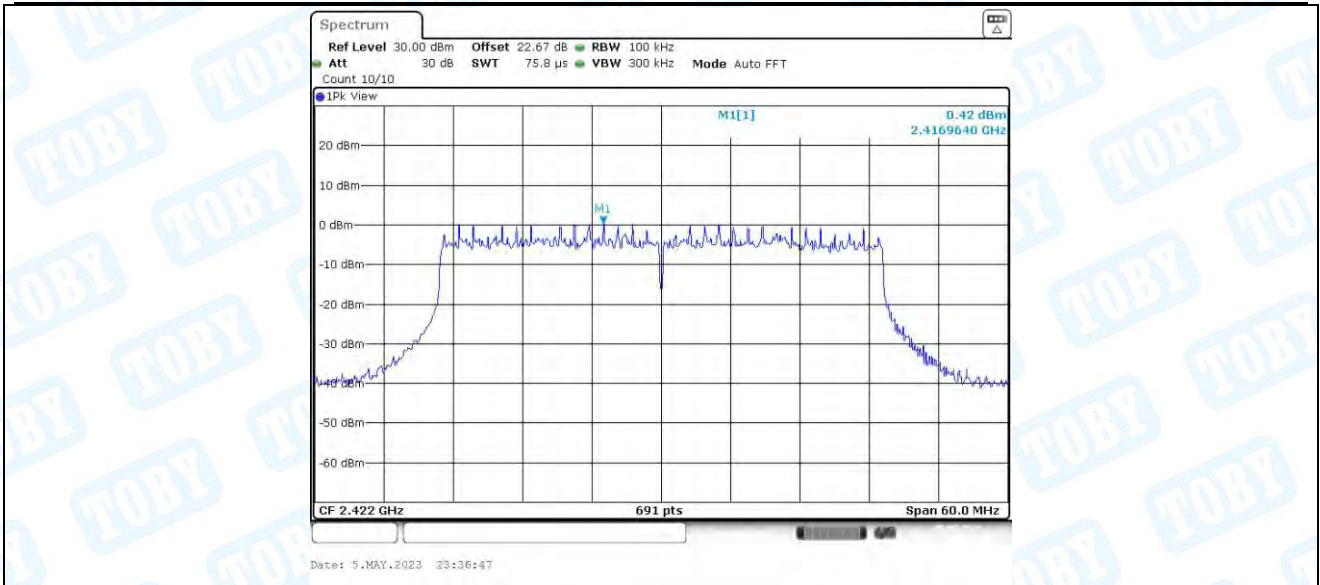
11AX40MIMO_Ant1_2422_30~1000



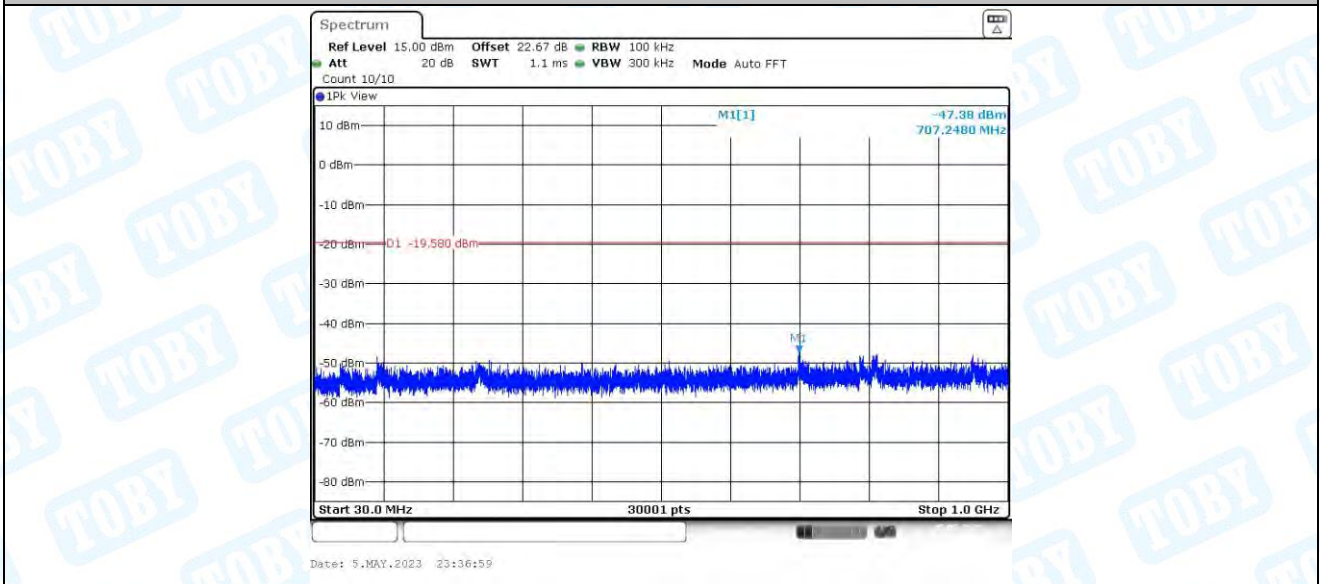
11AX40MIMO_Ant1_2422_1000~26500



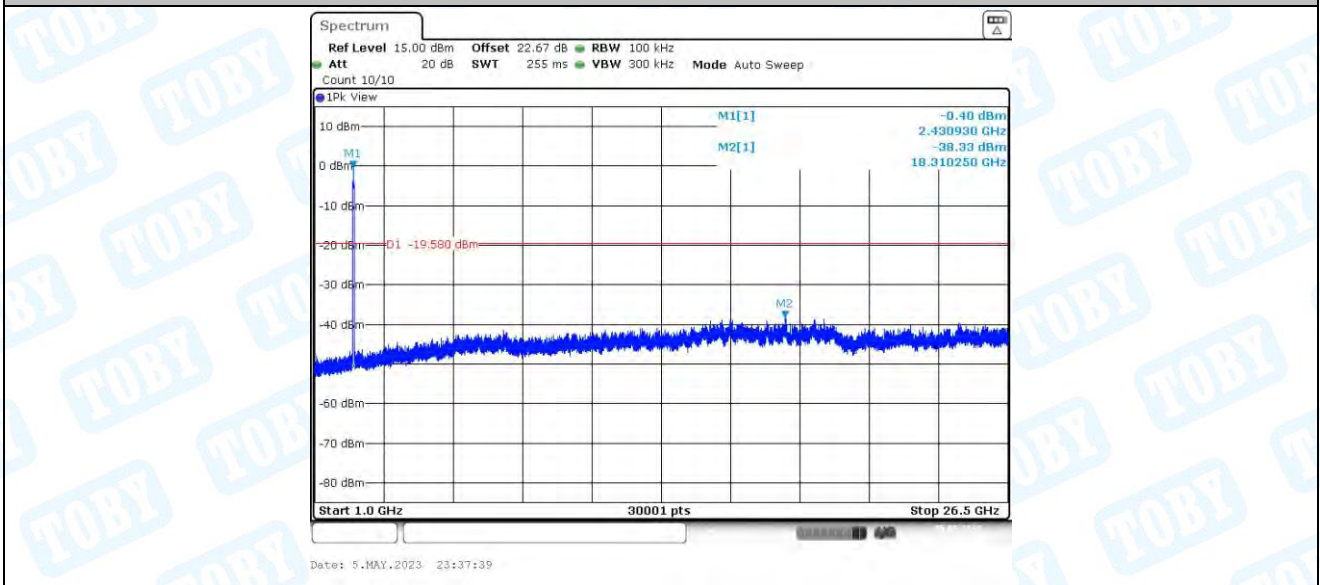
11AX40MIMO_Ant2_2422_0~Reference



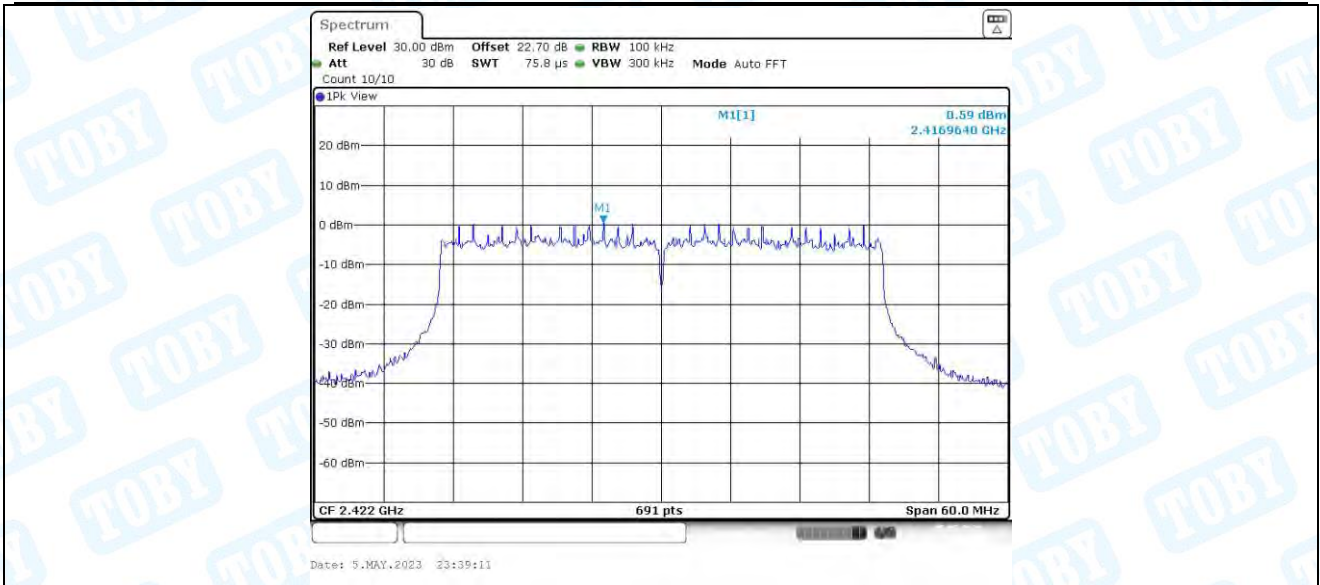
11AX40MIMO_Ant2_2422_30~1000



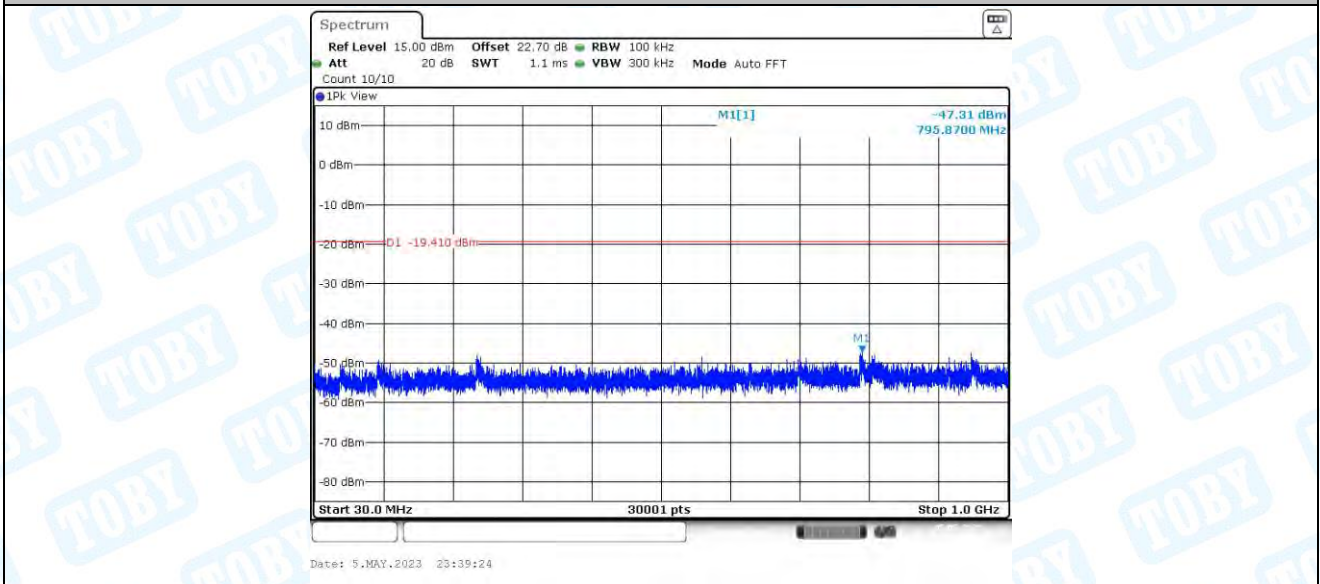
11AX40MIMO_Ant2_2422_1000~26500



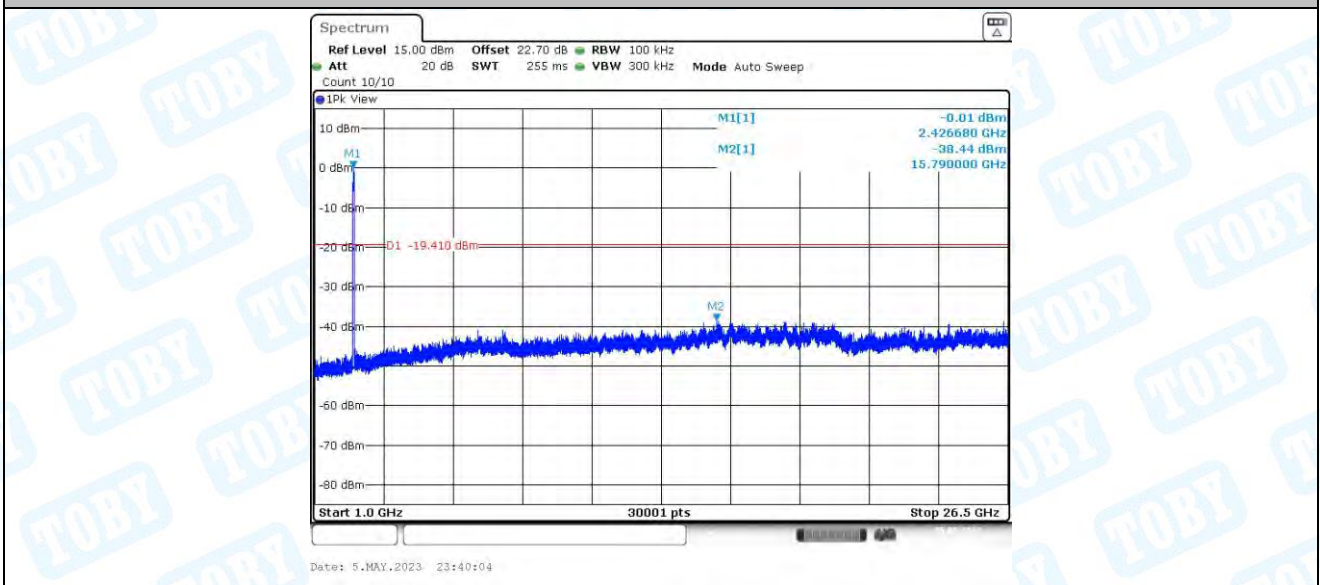
11AX40MIMO_Ant3_2422_0~Reference



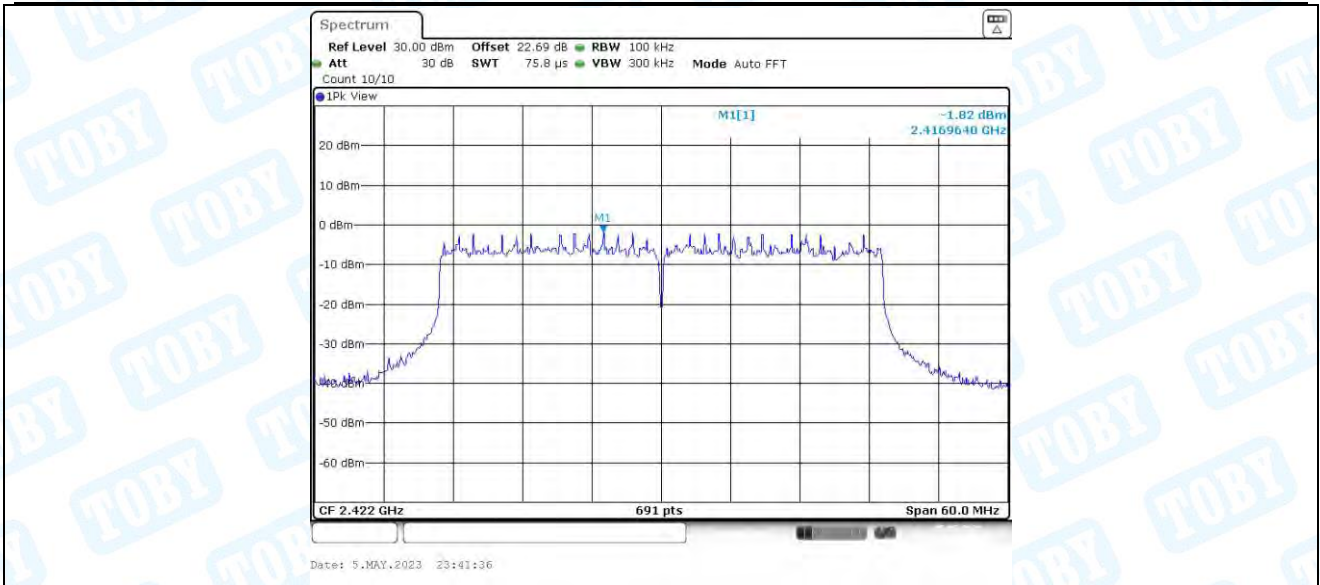
11AX40MIMO_Ant3_2422_30~1000



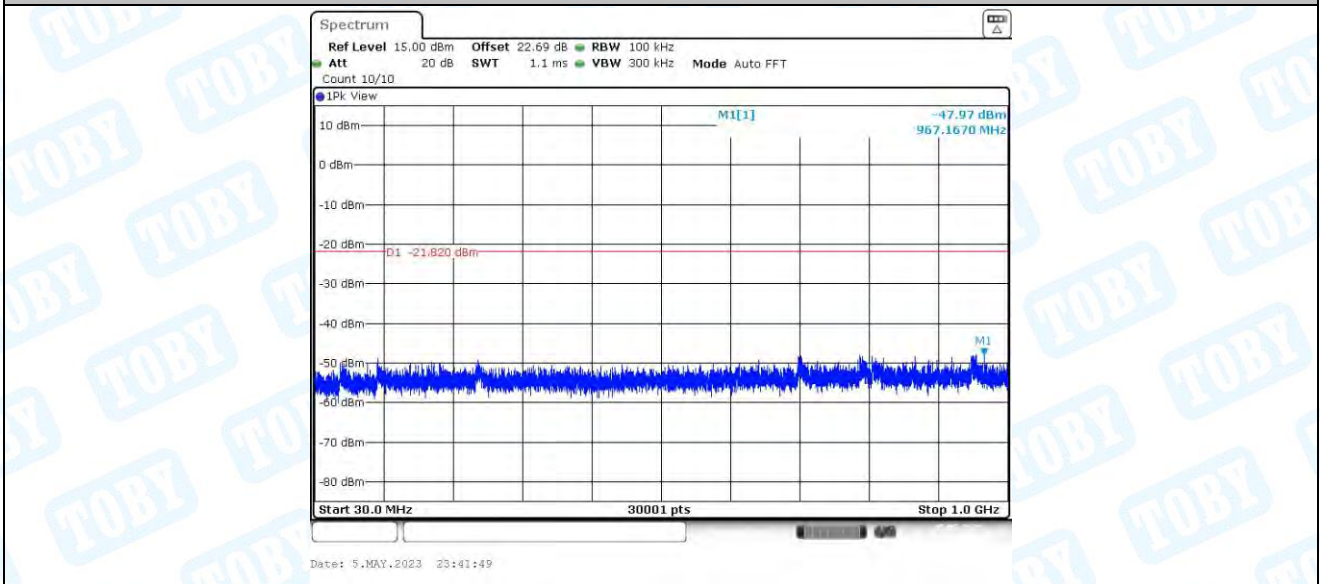
11AX40MIMO_Ant3_2422_1000~26500



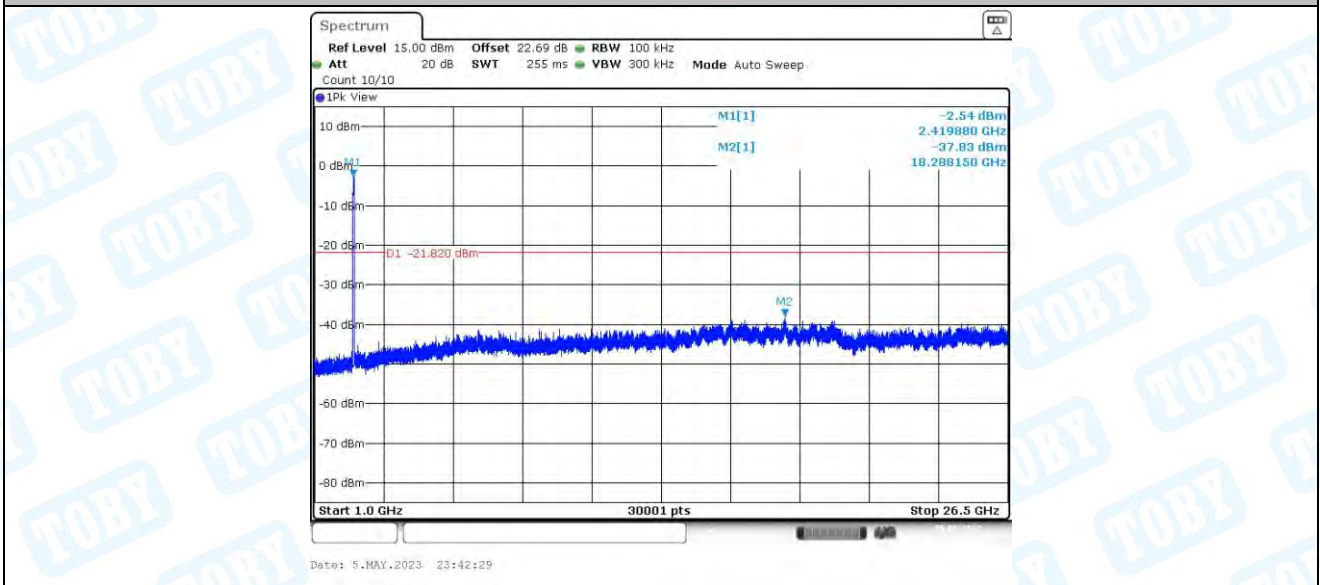
11AX40MIMO_Ant4_2422_0~Reference



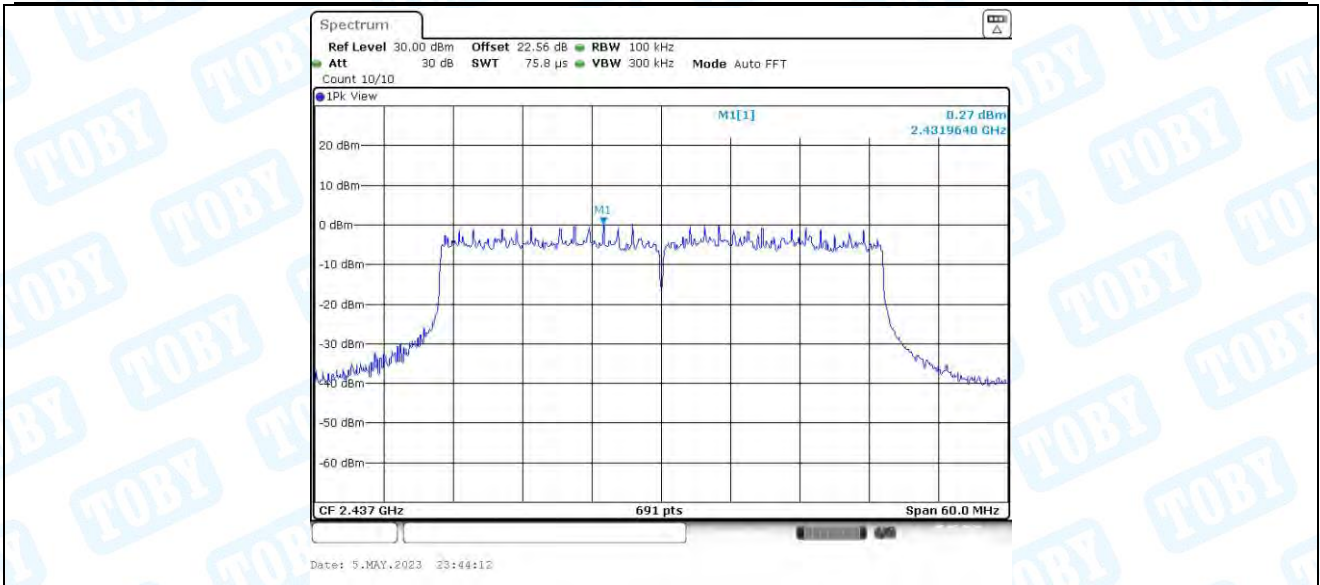
11AX40MIMO_Ant4_2422_30~1000



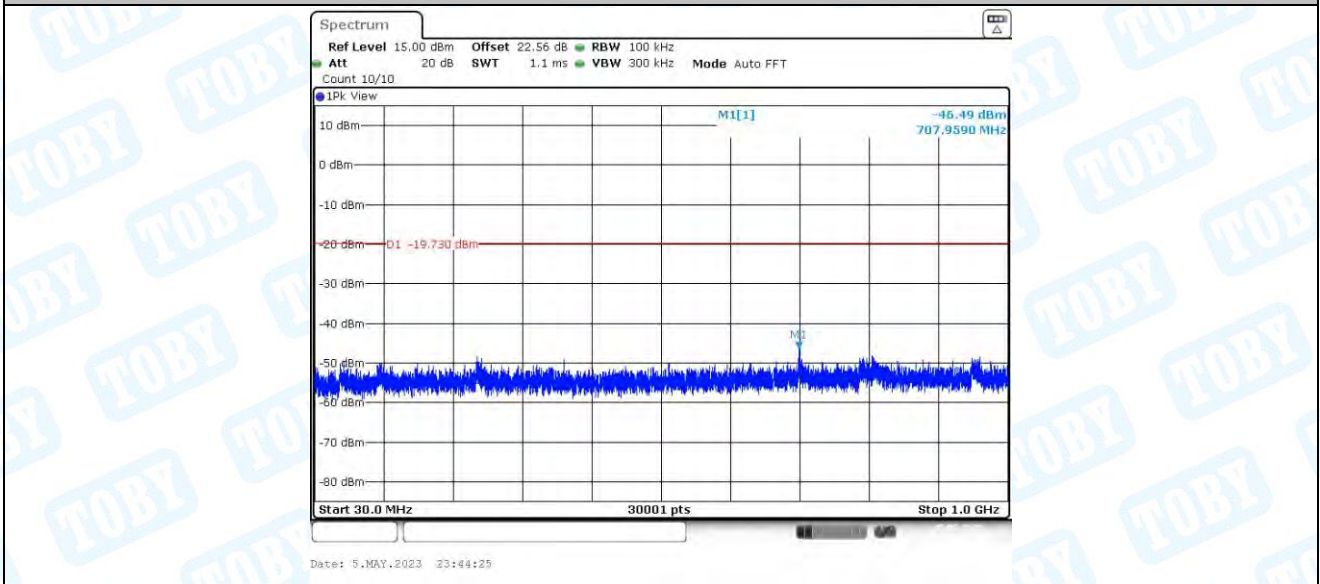
11AX40MIMO_Ant4_2422_1000~26500



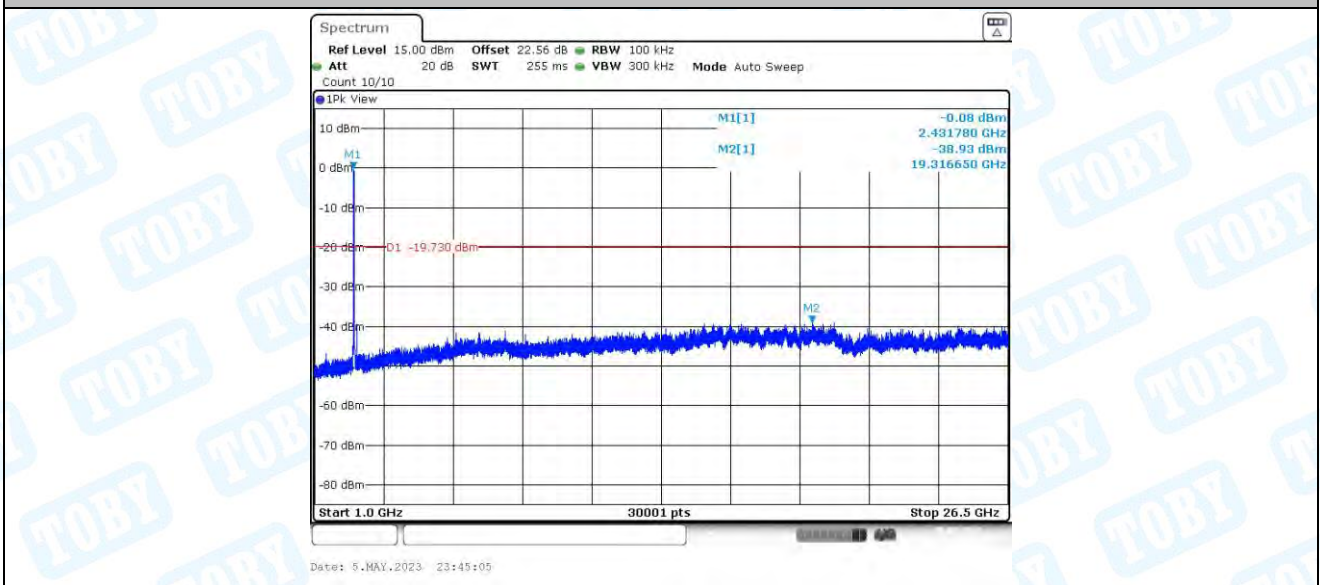
11AX40MIMO_Ant1_2437_0~Reference



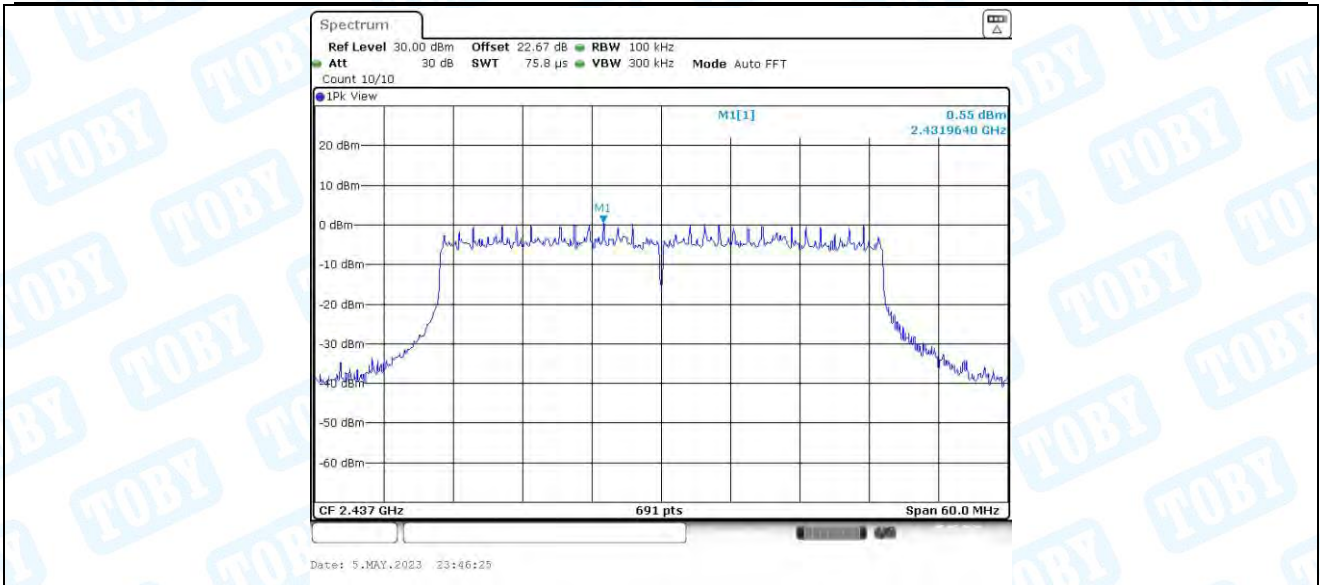
11AX40MIMO_Ant1_2437_30~1000



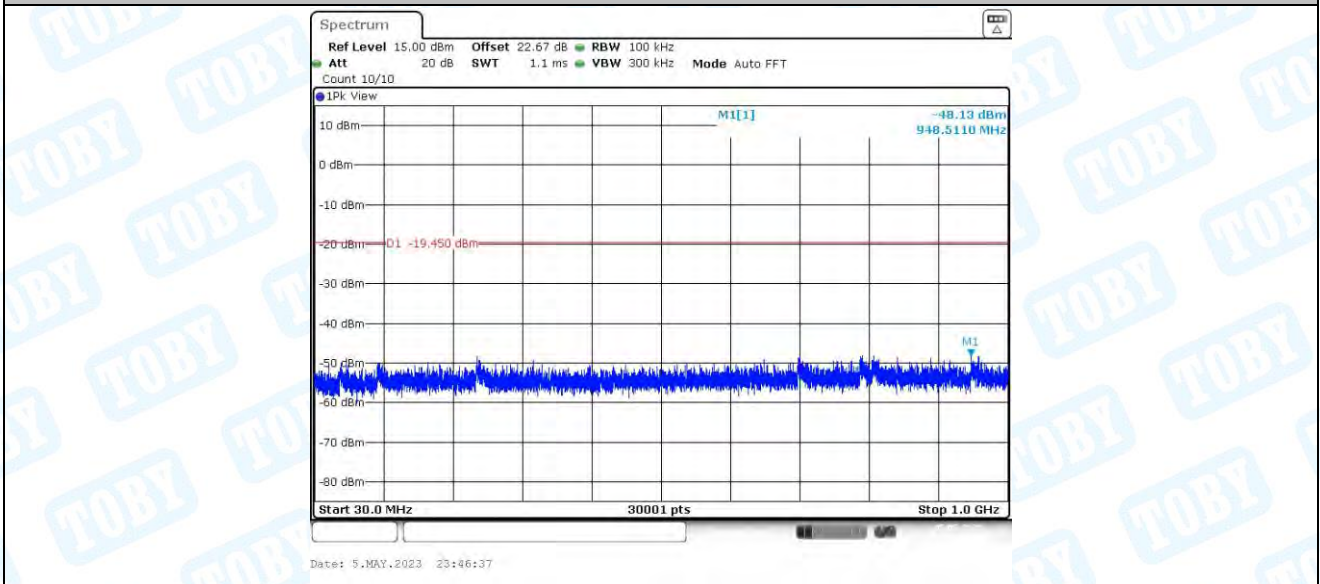
11AX40MIMO_Ant1_2437_1000~26500



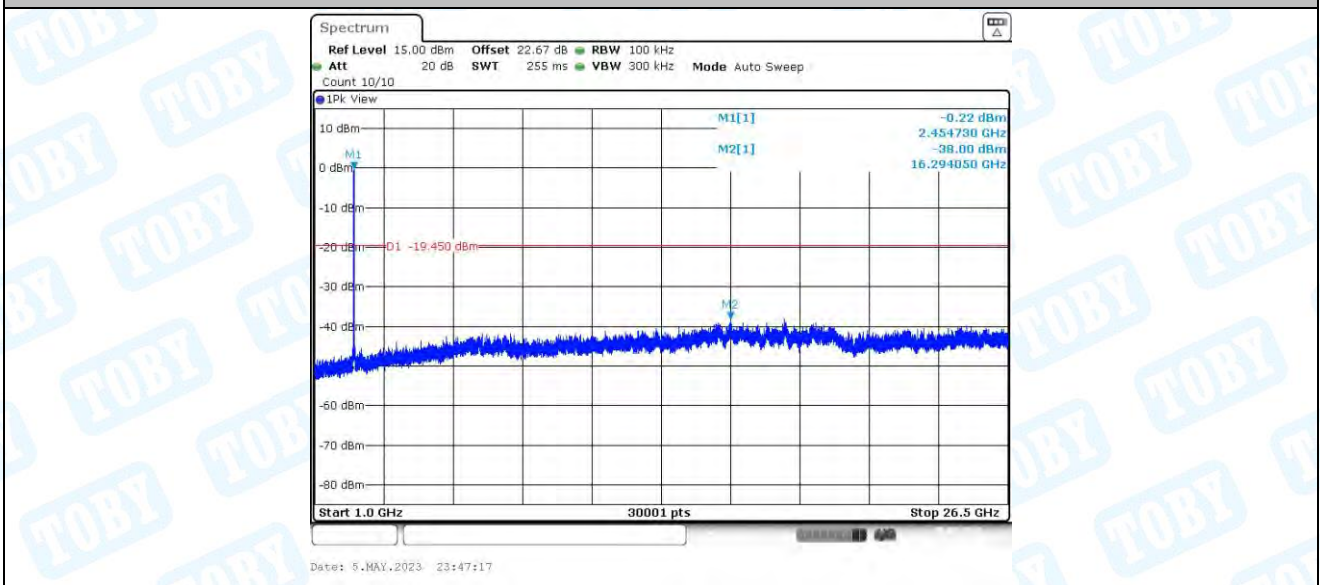
11AX40MIMO_Ant2_2437_0~Reference



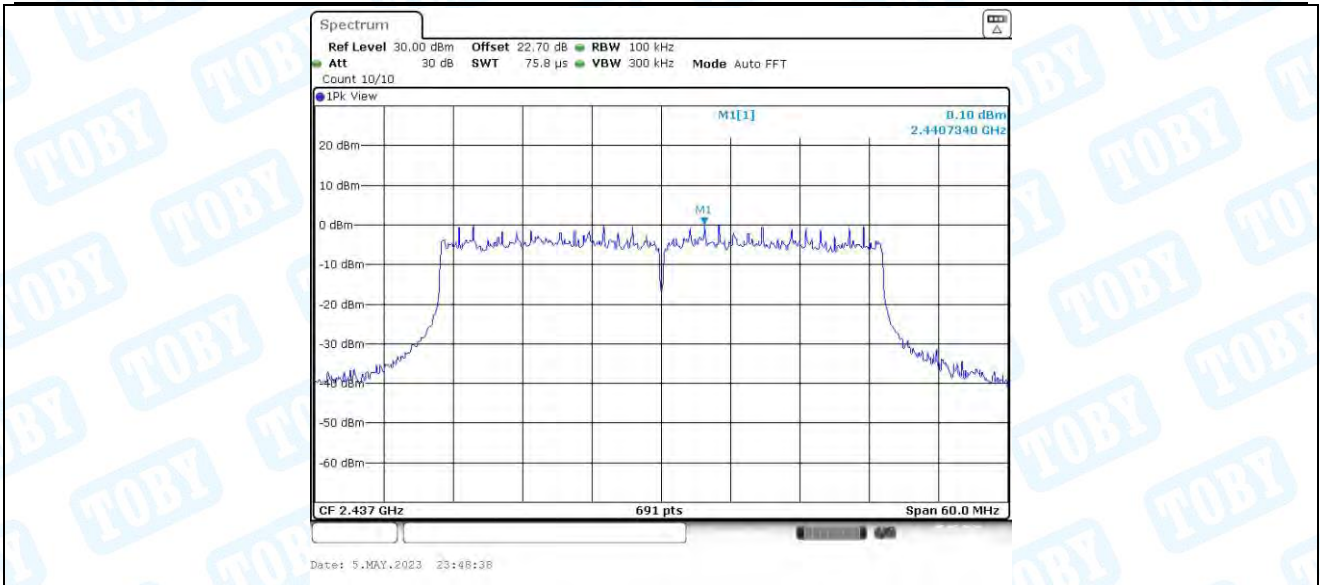
11AX40MIMO_Ant2_2437_30~1000



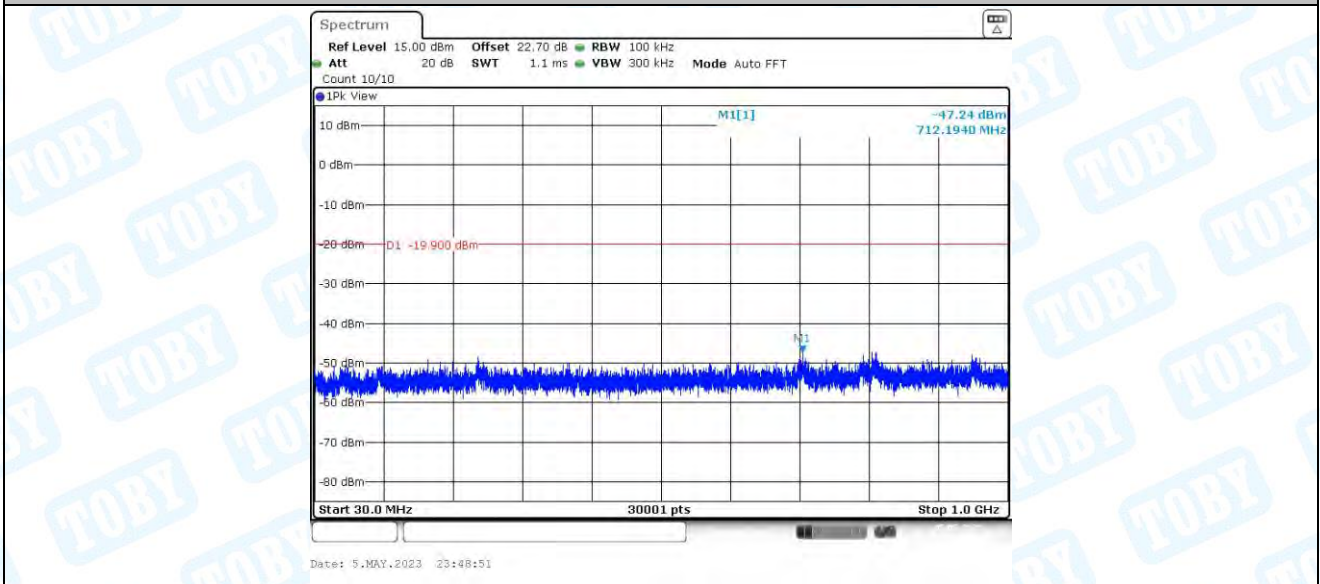
11AX40MIMO_Ant2_2437_1000~26500



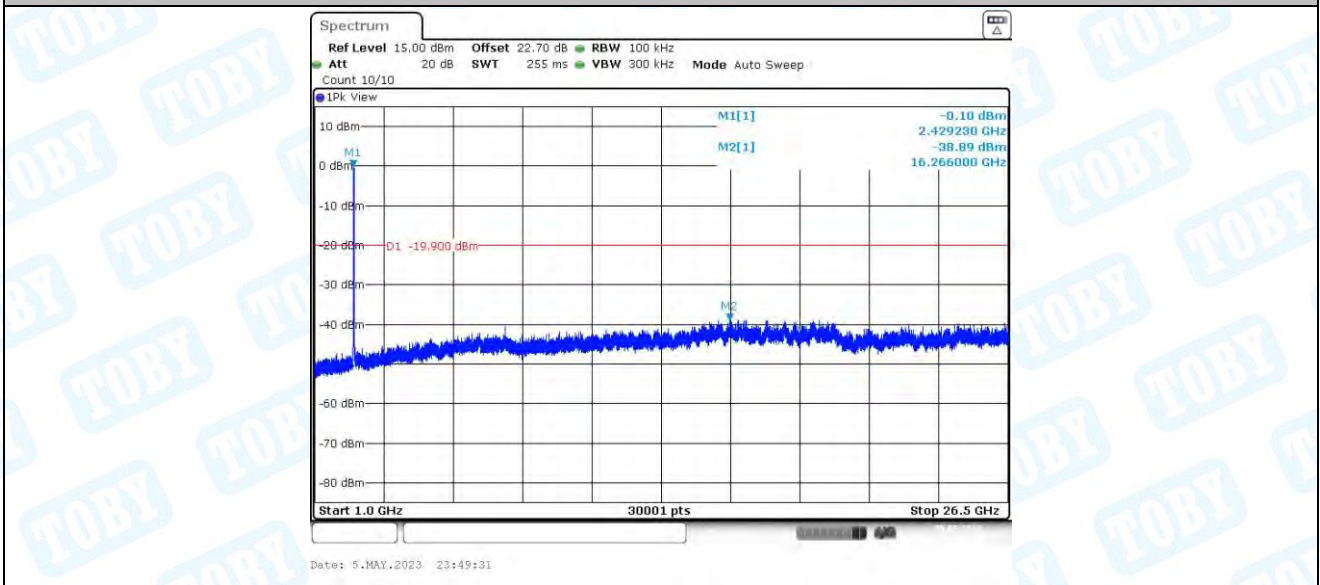
11AX40MIMO_Ant3_2437_0~Reference



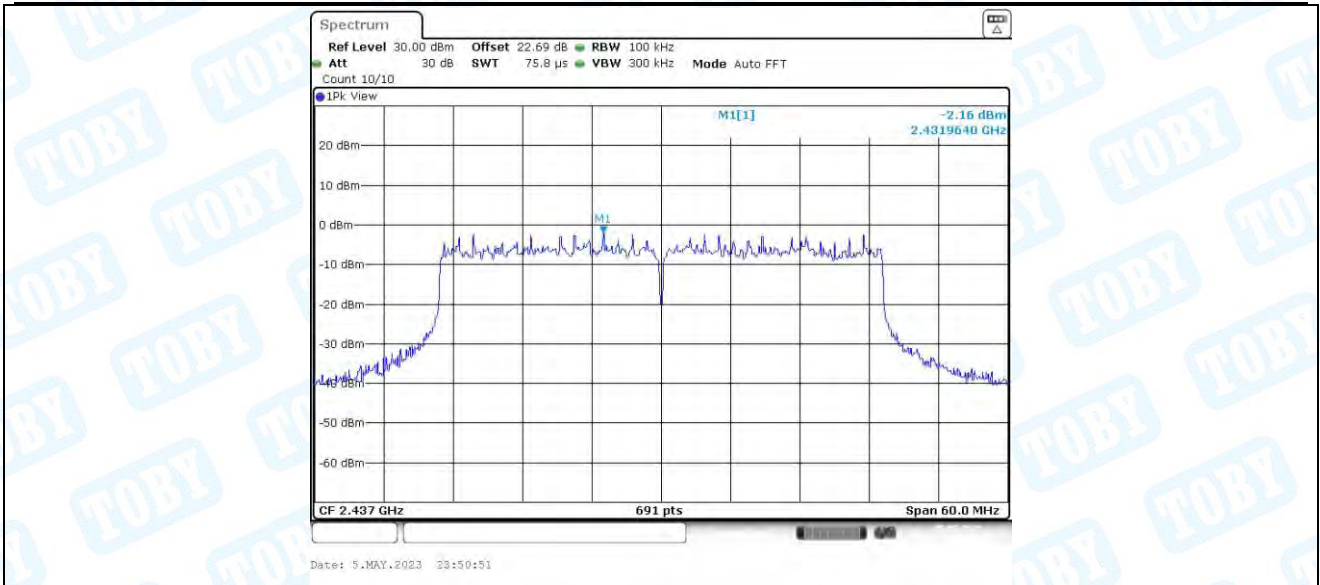
11AX40MIMO_Ant3_2437_30~1000



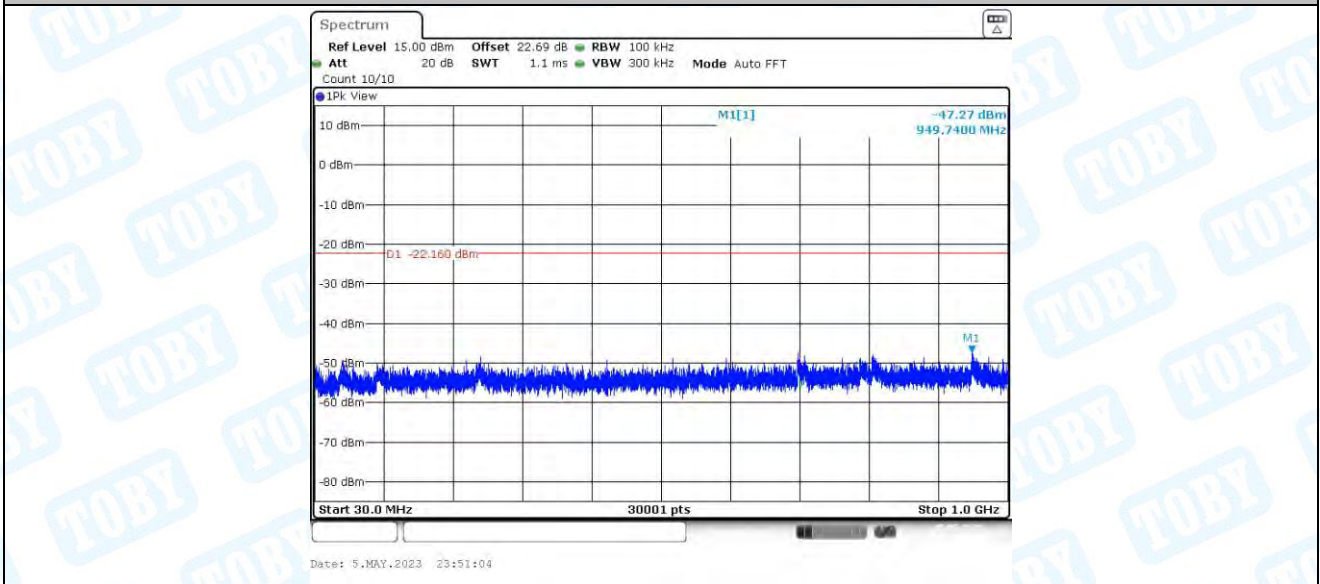
11AX40MIMO_Ant3_2437_1000~26500



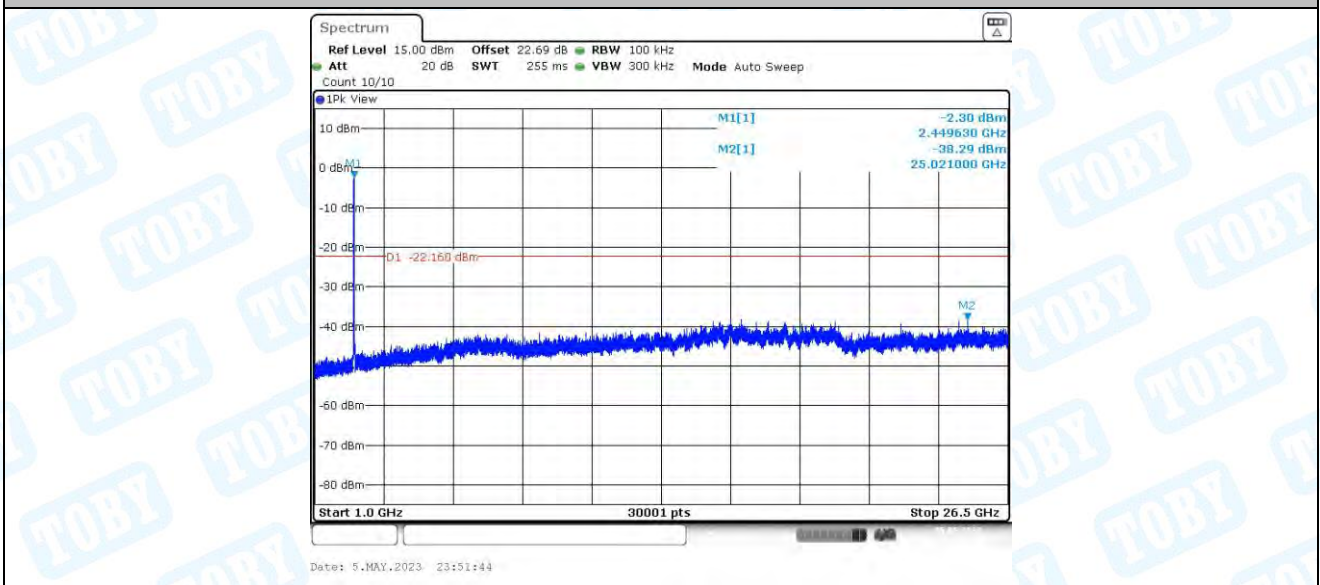
11AX40MIMO_Ant4_2437_0~Reference



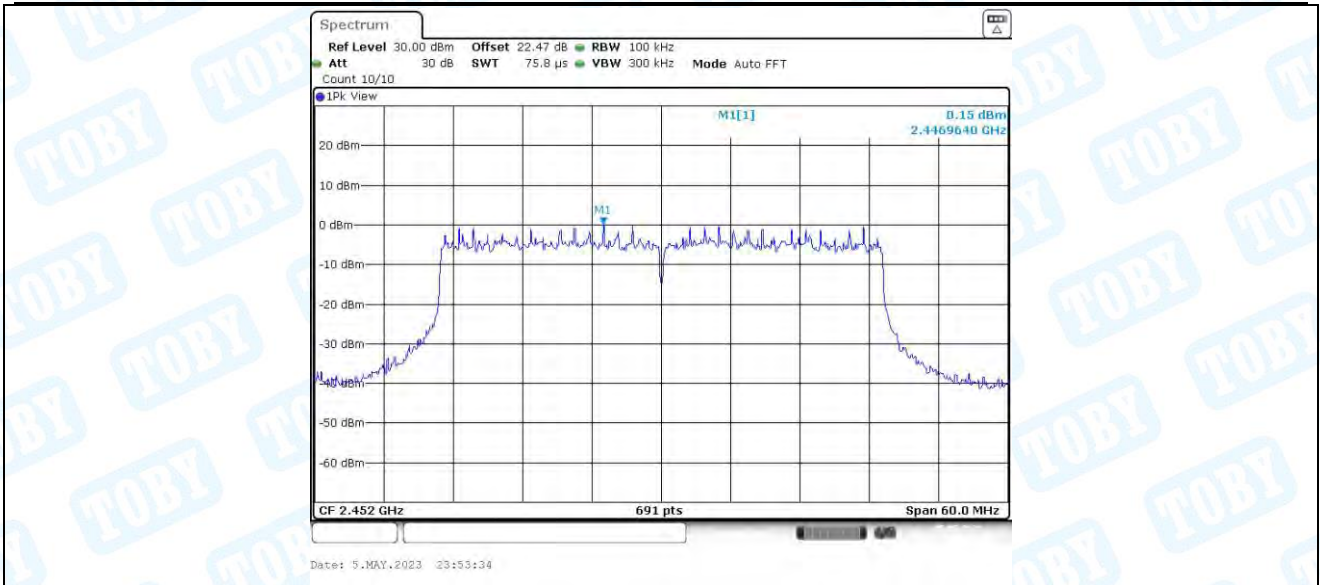
11AX40MIMO_Ant4_2437_30~1000



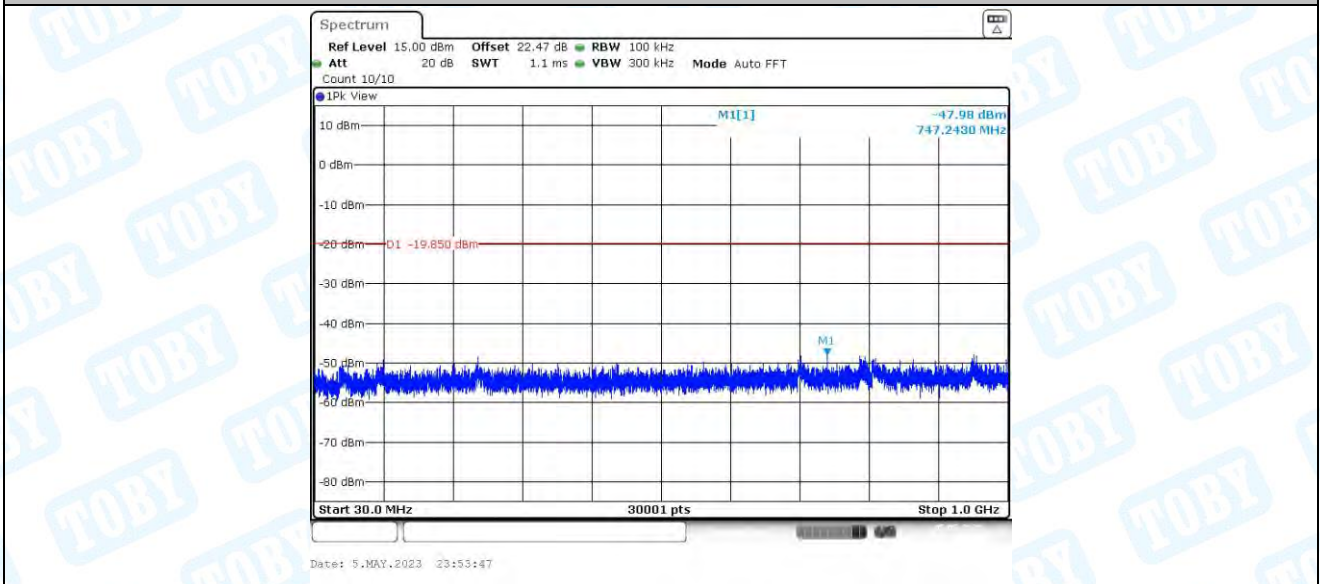
11AX40MIMO_Ant4_2437_1000~26500



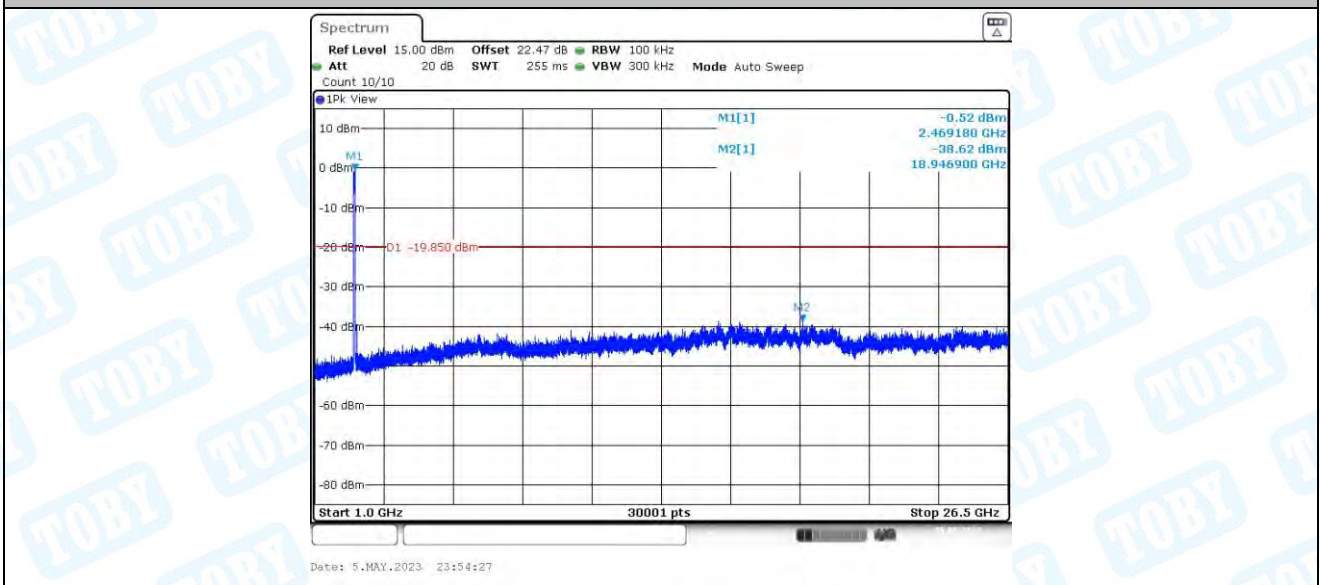
11AX40MIMO_Ant1_2452_0~Reference



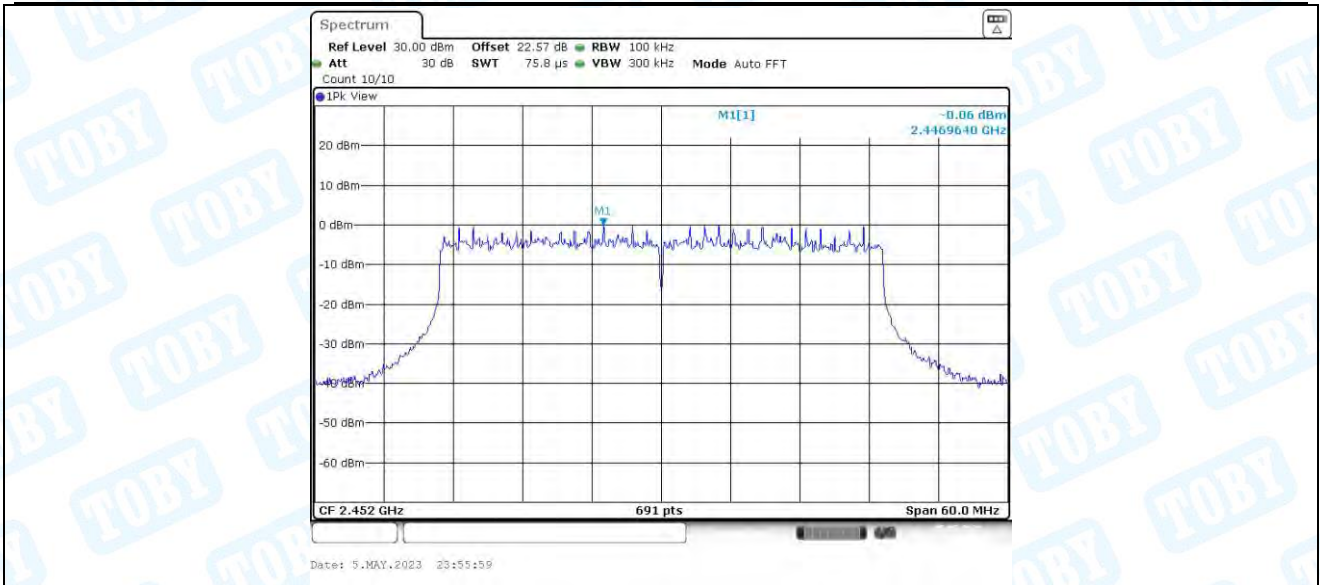
11AX40MIMO_Ant1_2452_30~1000



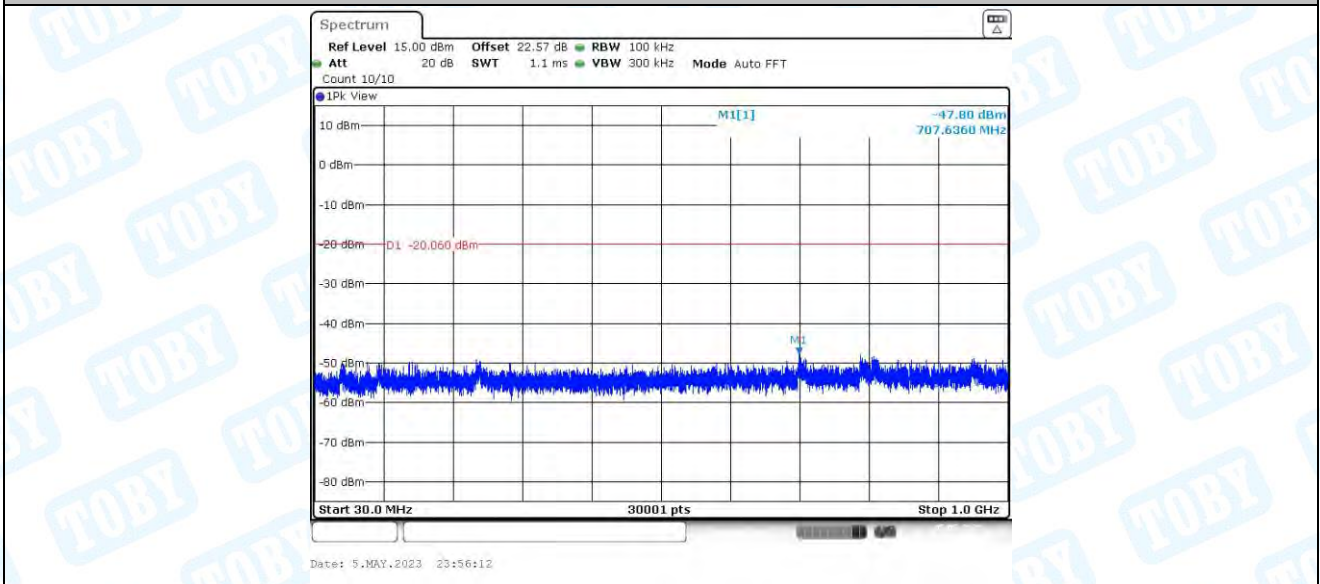
11AX40MIMO_Ant1_2452_1000~26500



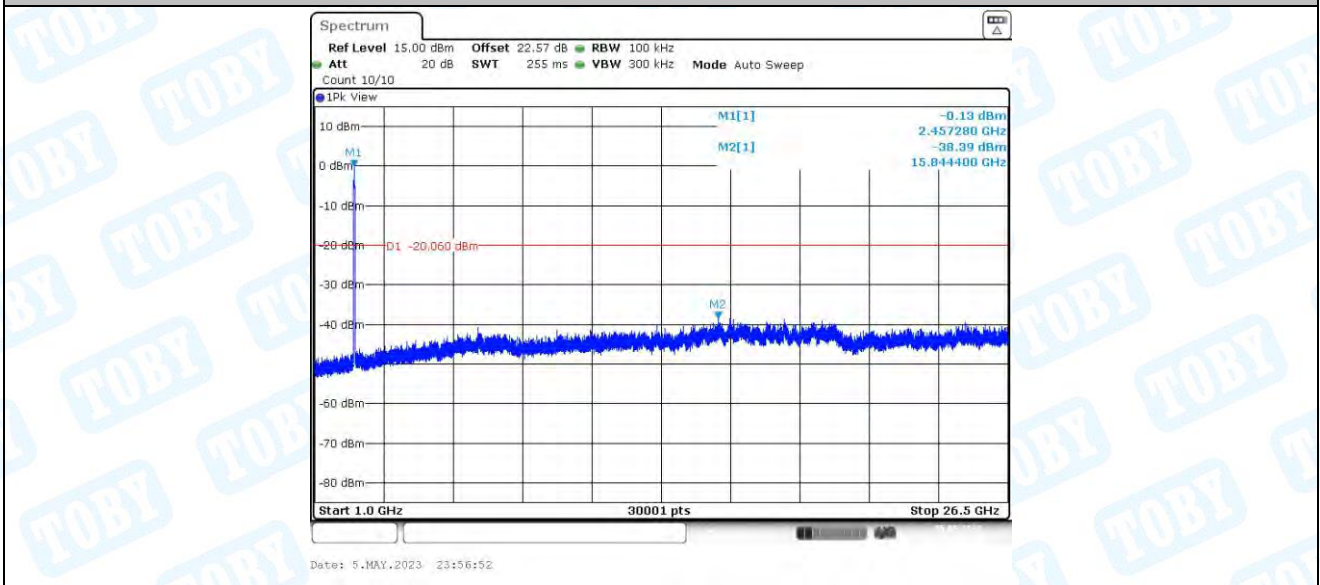
11AX40MIMO_Ant2_2452_0~Reference



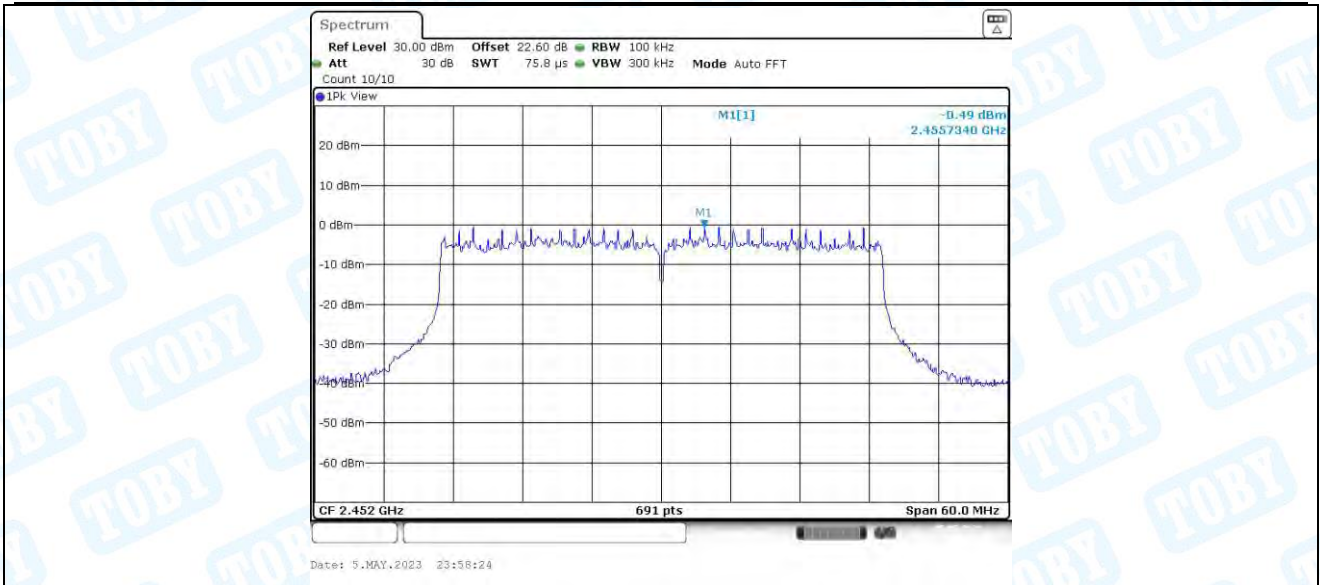
11AX40MIMO_Ant2_2452_30~1000



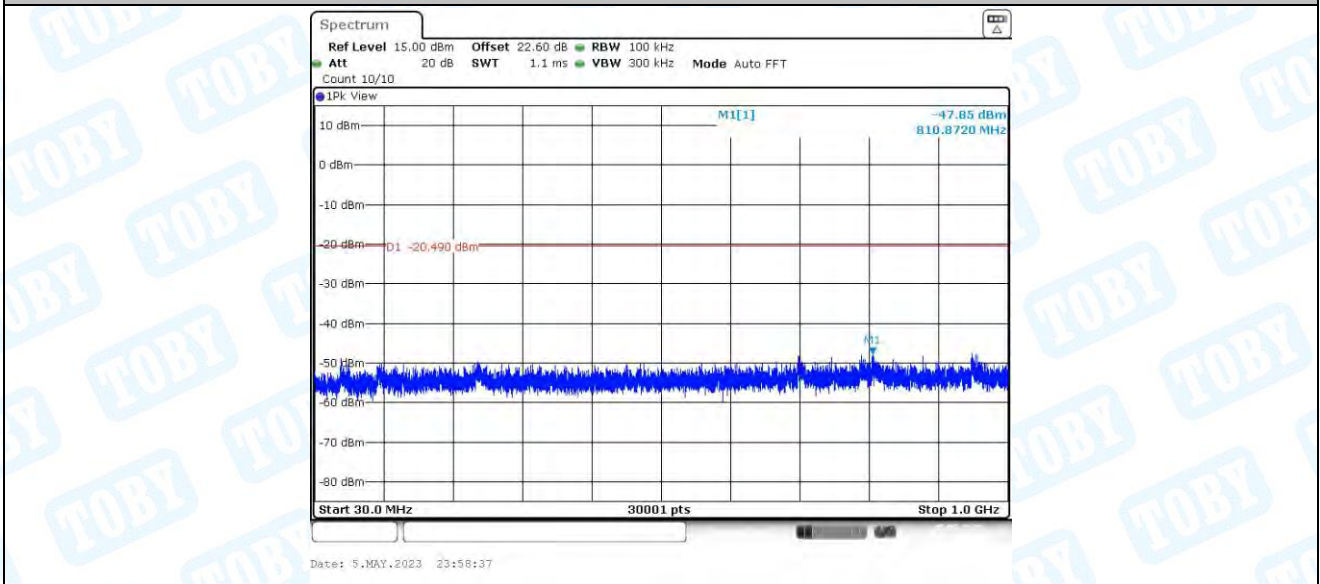
11AX40MIMO_Ant2_2452_1000~26500



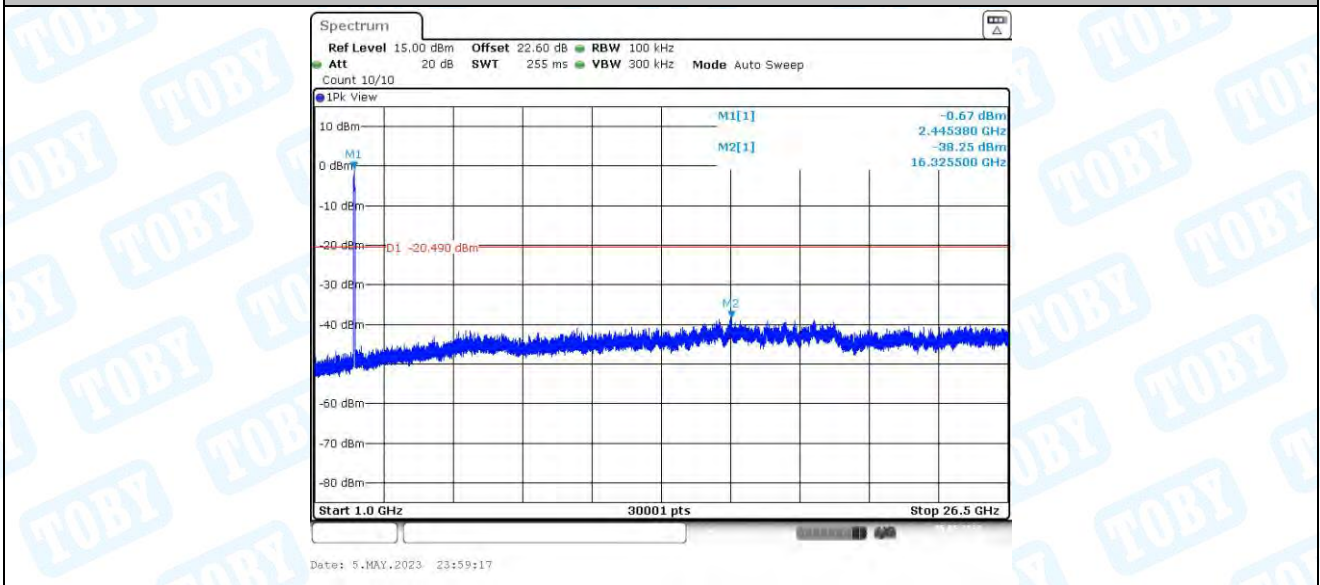
11AX40MIMO_Ant3_2452_0~Reference



11AX40MIMO_Ant3_2452_30~1000



11AX40MIMO_Ant3_2452_1000~26500



11AX40MIMO_Ant4_2452_0~Reference